

SEL 0449 - Processamento Digital de
Imagens Médicas

SEL 5895 – Introdução ao
Processamento Digital de Imagens

Aula 8 – Restauração de Imagens
Parte 1

Prof. Dr. Marcelo Andrade da Costa Vieira
mvieira@sc.usp.br

Realce X Restauração

- **Realce de imagens:**

- Processar a imagem para obter um resultado mais apropriado para uma determinada aplicação;
- Processo subjetivo.

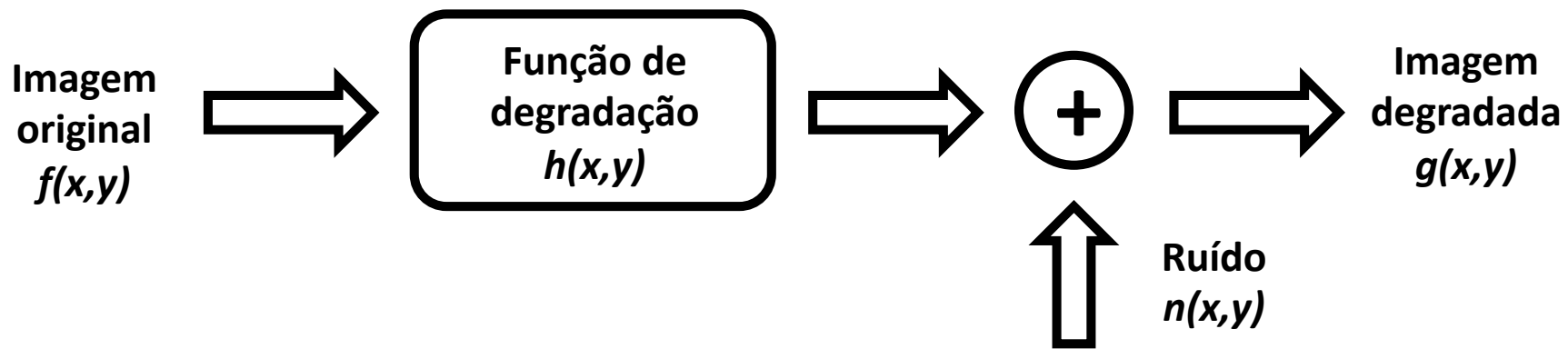
- **Restauração de imagens:**

- Recuperar a imagem corrompida com base em conhecimento *a priori* do fenômeno de degradação;
- Processo objetivo.

Restauração

- O sucesso da restauração depende de alguns fatores:
 - A acurácia do modelo de degradação adotado;
 - A precisão na estimativa dos parâmetros de degradação do sistema.

Modelo clássico de degradação



$$g(x, y) = h(x, y) * f(x, y) + n(x, y) \quad \leftarrow \text{Domínio do espaço}$$

$$G(u, v) = H(u, v) \cdot F(u, v) + N(u, v) \quad \leftarrow \text{Domínio da frequência}$$

Restauração



$$G(u, v) = H(u, v) \cdot F(u, v) + N(u, v)$$

$$\hat{F}(u, v) = \frac{G(u, v) - N(u, v)}{H(u, v)}$$

Domínio da frequência

Tipos de restauração

- Imagens corrompidas apenas pelo ruído;
- Imagens corrompidas apenas pela função de degradação;
- Imagens corrompidas pelo ruído e pela função de degradação.

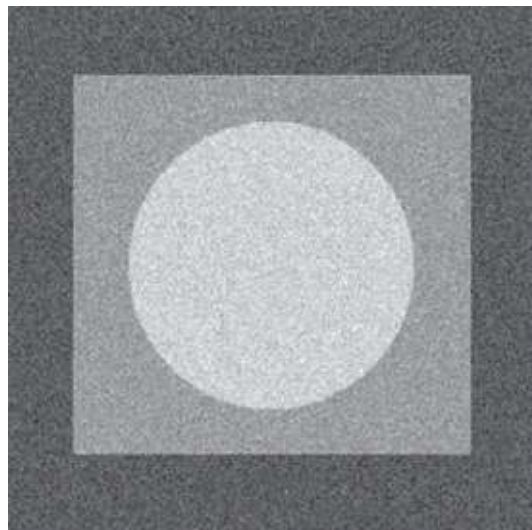
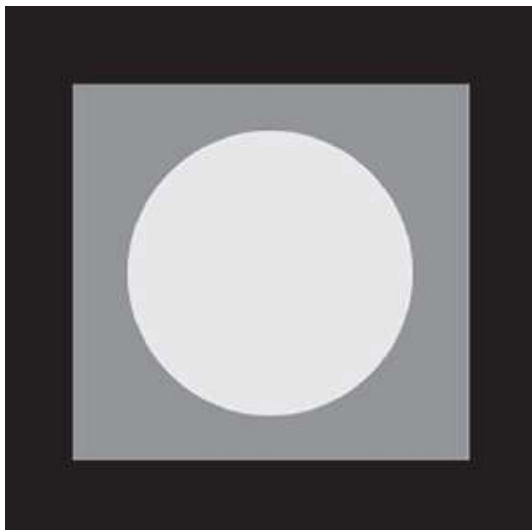
**Restauração de imagens
corrompidas apenas pelo ruído**

O que é ruído em uma imagem?



O que é ruído em uma imagem?

- Ruído é uma variação aleatória ou sistemática das informações de brilho ou cor presentes em uma imagem;
- Geralmente é gerado no processo de captura da imagem e é originário dos sensores e componentes eletrônicos do sistema de aquisição.



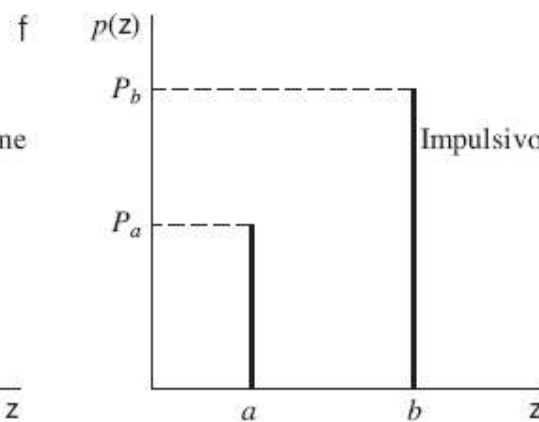
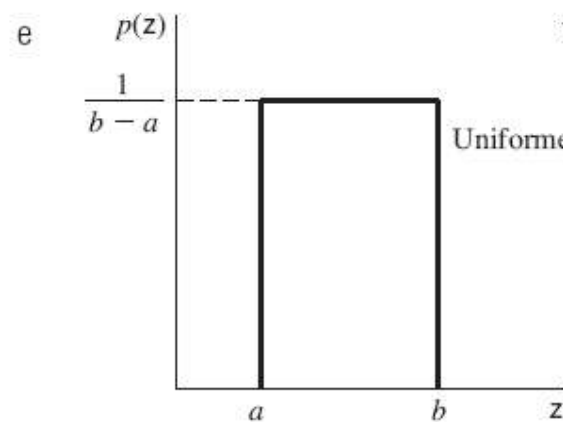
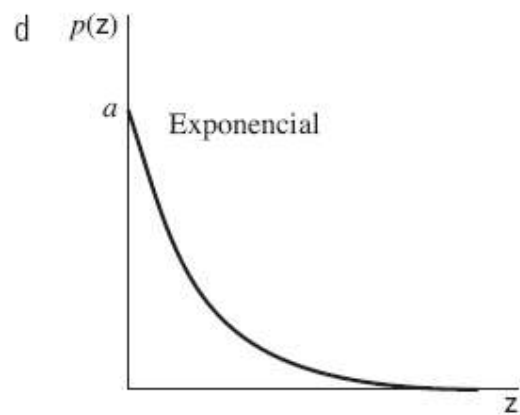
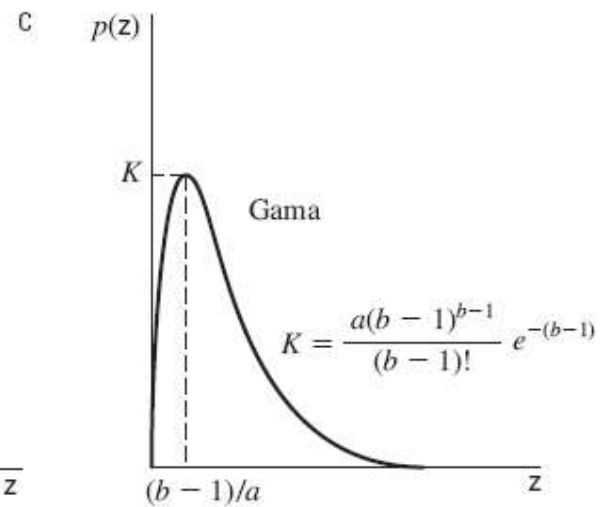
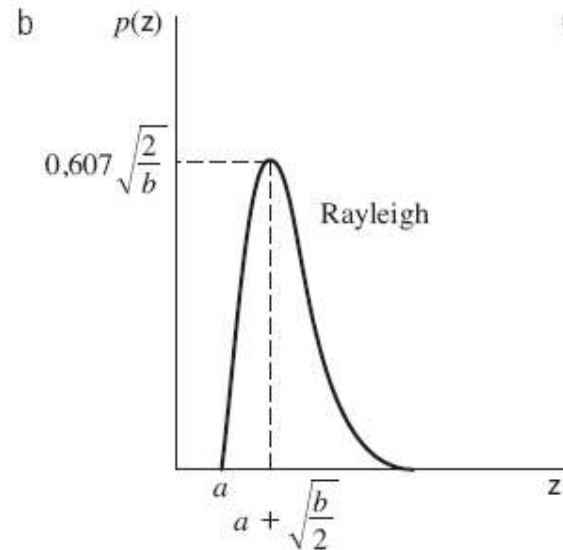
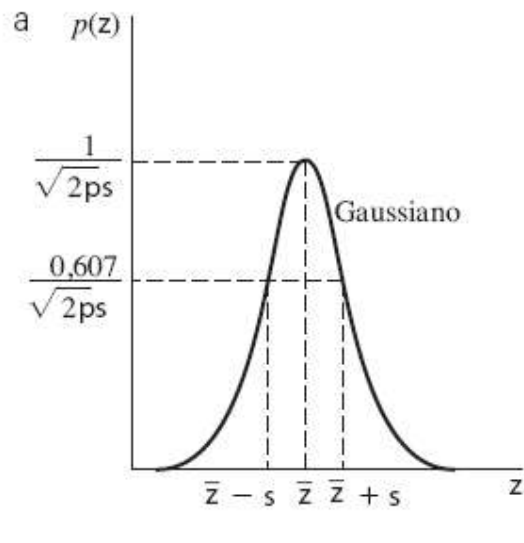
Tipos de Ruído

- Ruído Eletrônico ou Térmico
- Ruído Impulsivo
- Ruído Periódico
- Ruído Estrutural
- Ruído Quântico
- Ruído *speckle*

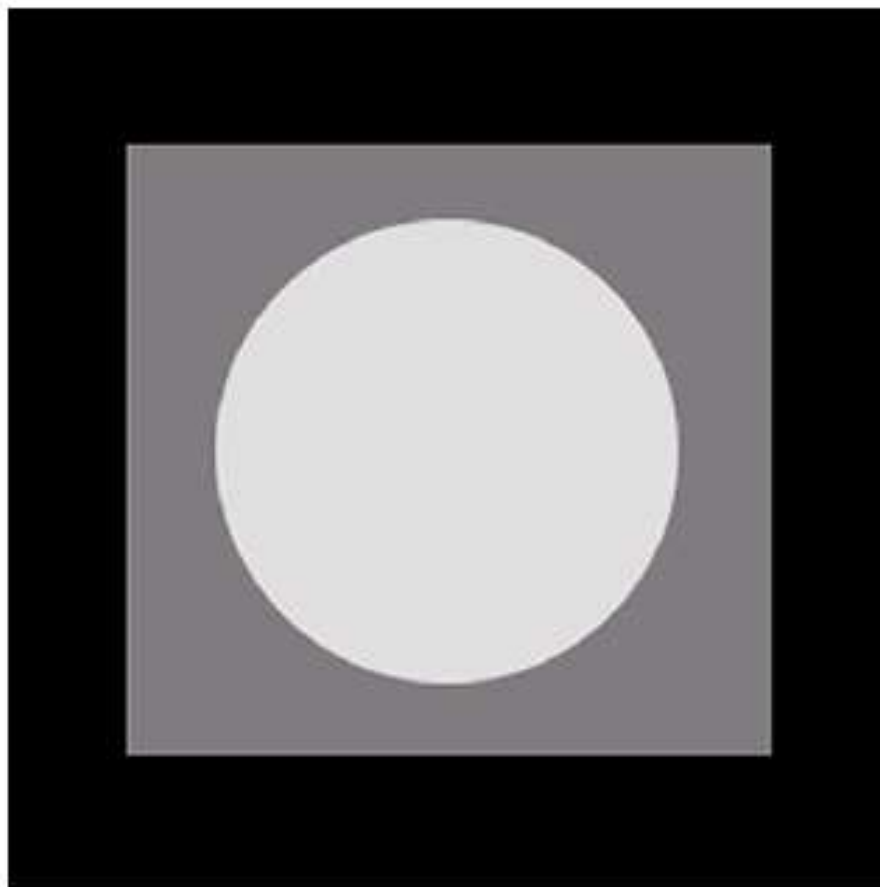
Classificação dos Ruídos

- Distribuição Estatística
- Aleatório ou Sistemático
- Se há Correlação Espacial
- I.I.D. (Independente e igualmente distribuído)
- Estacionário ou não-estacionário
- Homoscedástico ou Heteroscedástico
- Dependência ou não do Sinal
- Dependência ou não do Espaço

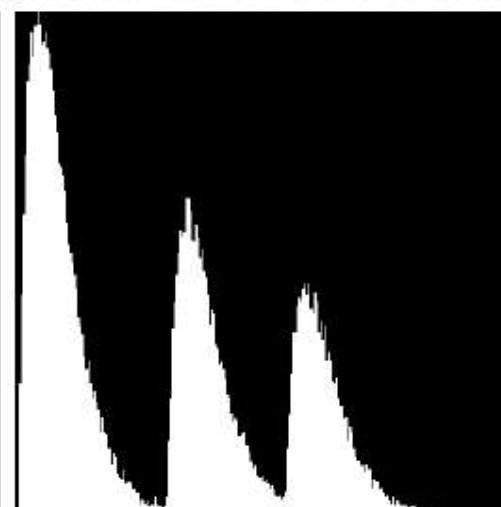
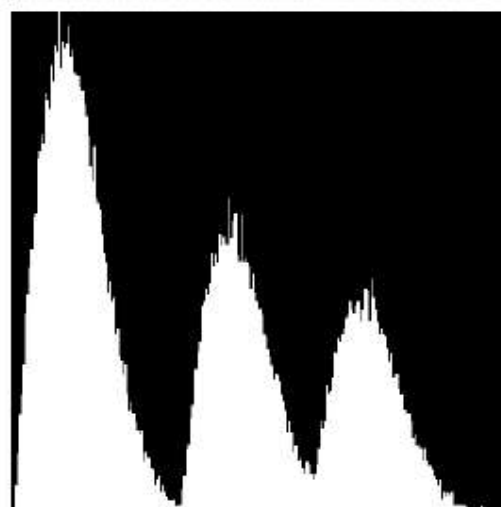
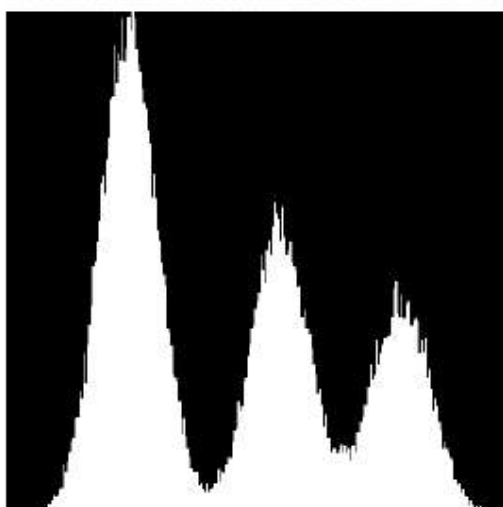
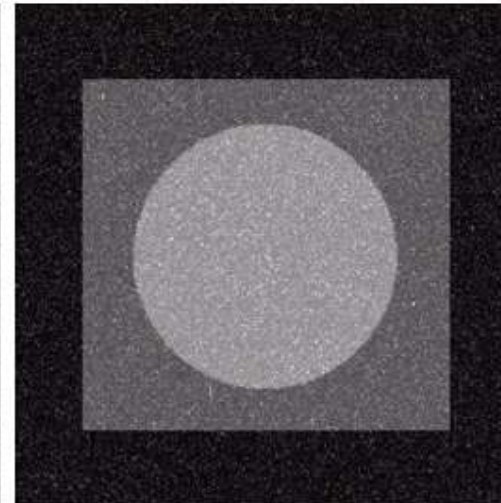
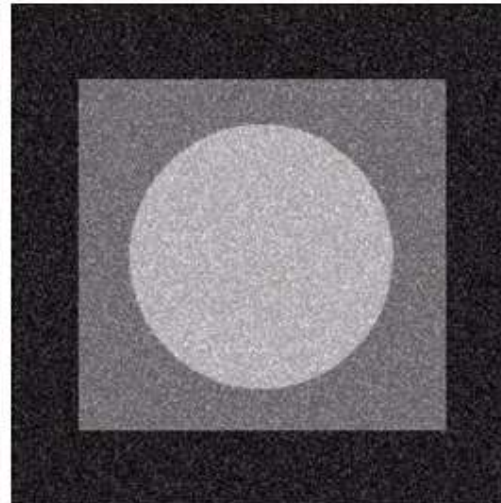
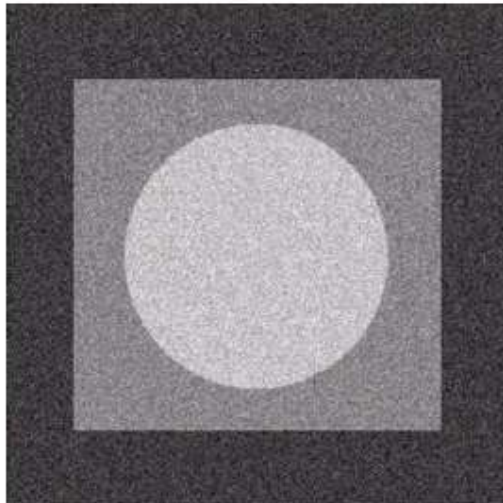
Distribuições Estatísticas do Ruído



Distribuições Estatísticas do Ruído



Distribuições Estatísticas do Ruído

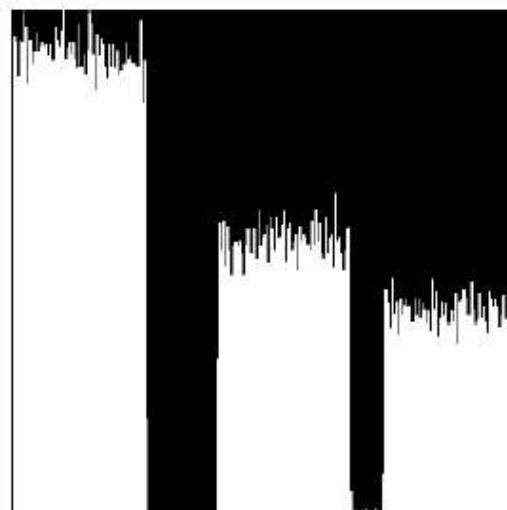
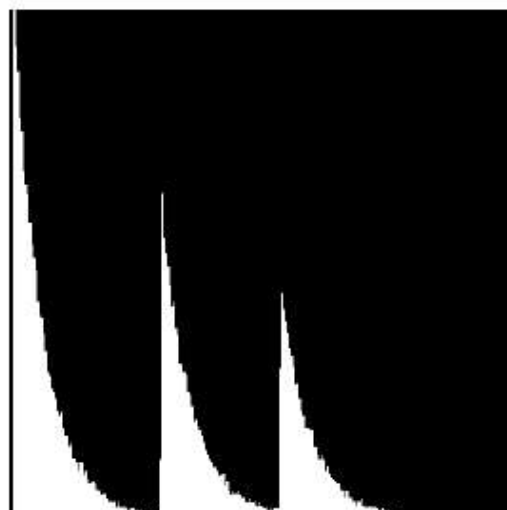
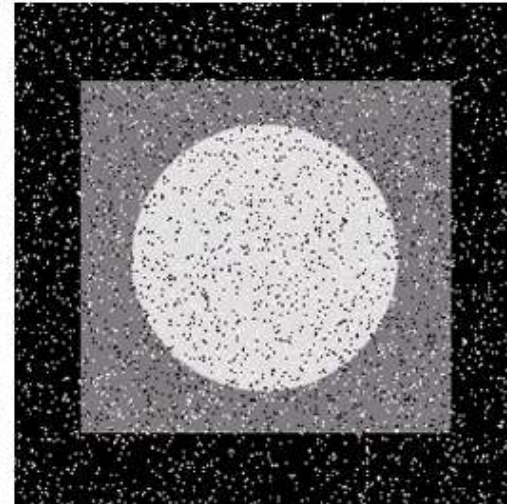
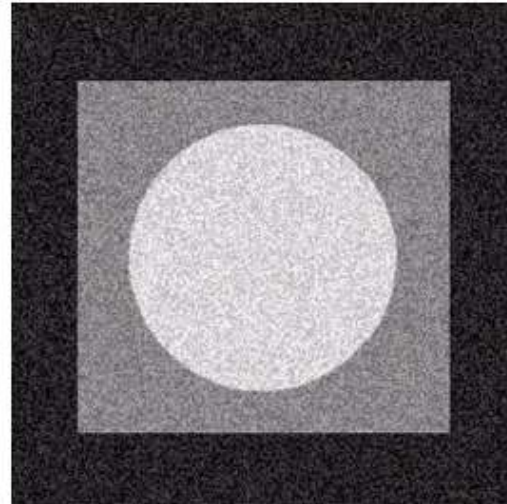
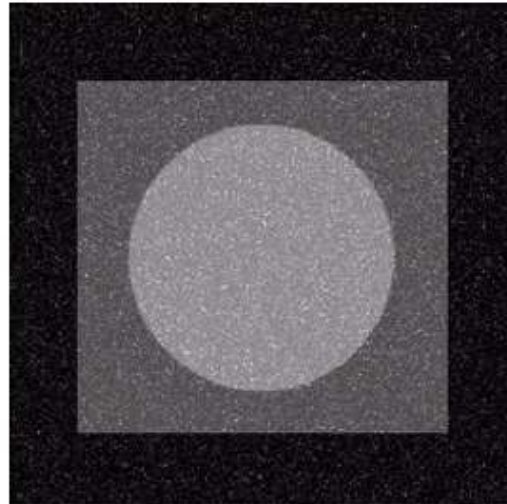


Gaussian

Rayleigh

Gamma

Distribuições Estatísticas do Ruído



Exponential

Uniform

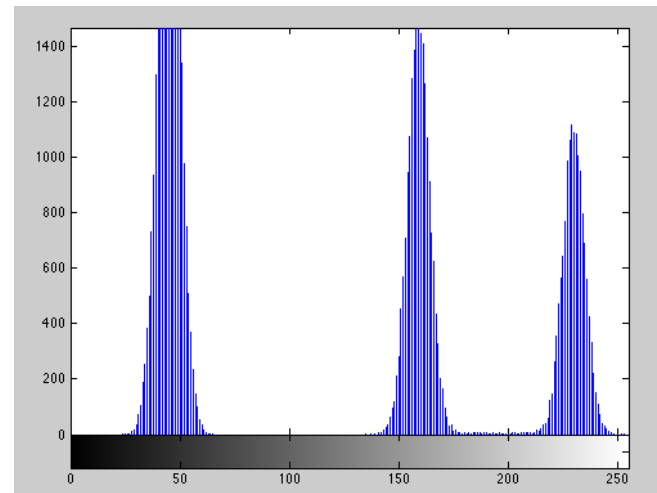
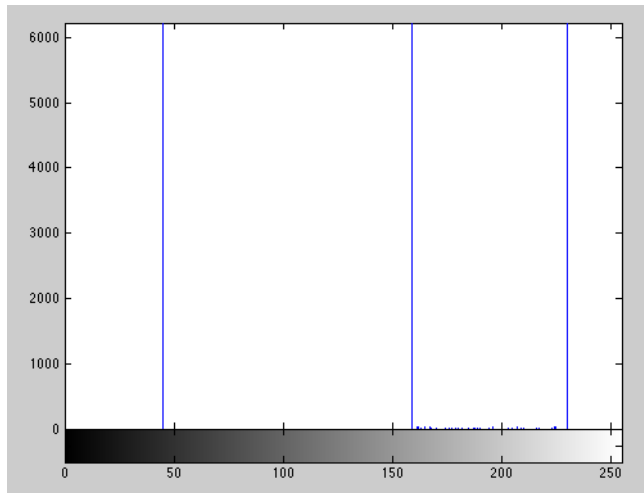
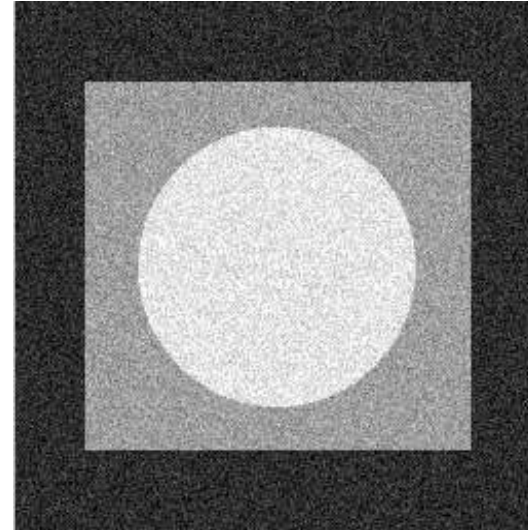
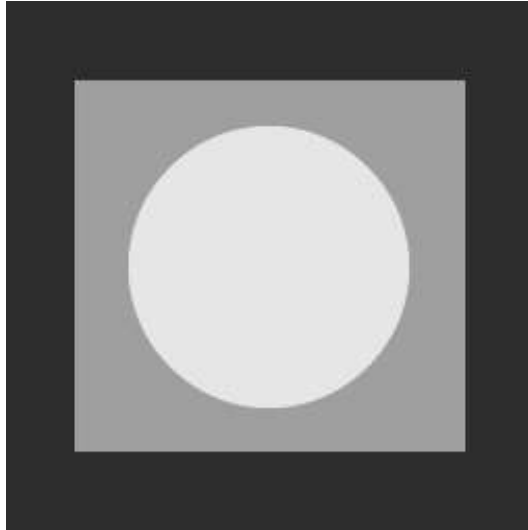
Salt & Pepper

Ruído AWGN

Ruído AWGN

- Gerado na aquisição da imagem
- Usado para modelar o ruído eletrônico (térmico)
- Aleatório
- Aditivo, estacionário, homoscedástico, I.I.D.
- Independente do sinal e do espaço
- Sem correlação espacial: possui espectro de Fourier constante (ruído branco)
- **AWGN – Additive White Gaussian Noise**

Ruído AWGN

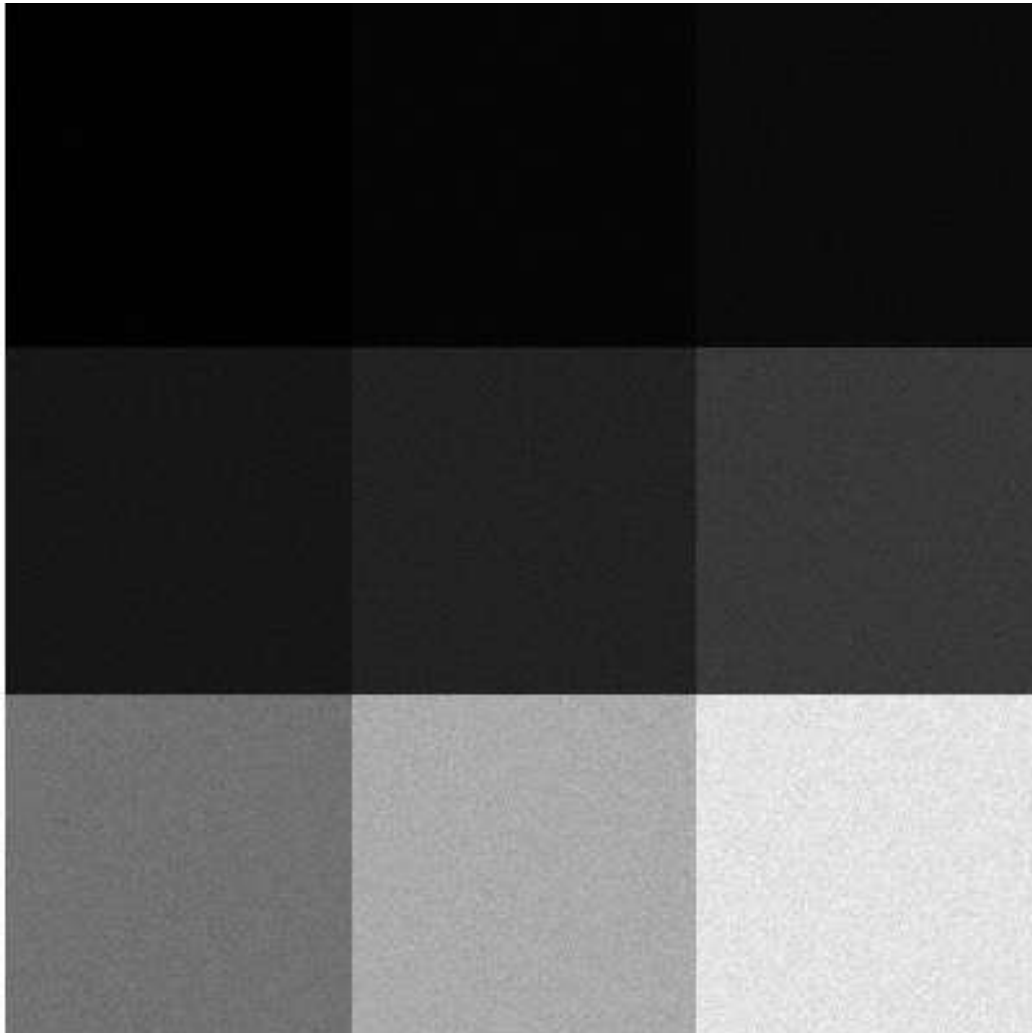


Dependência do sinal

Imagen sem ruído



Imagen com ruído AWGN



Ruído AWGN

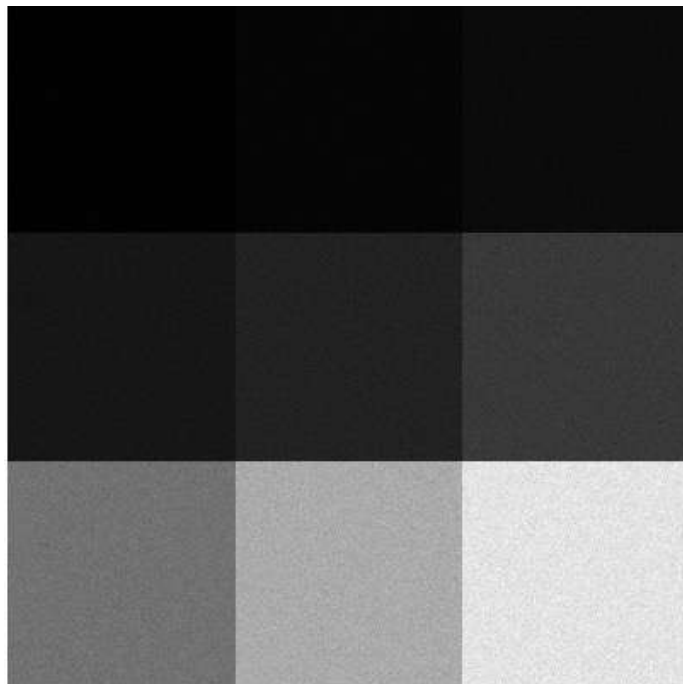


Imagen ruidosa

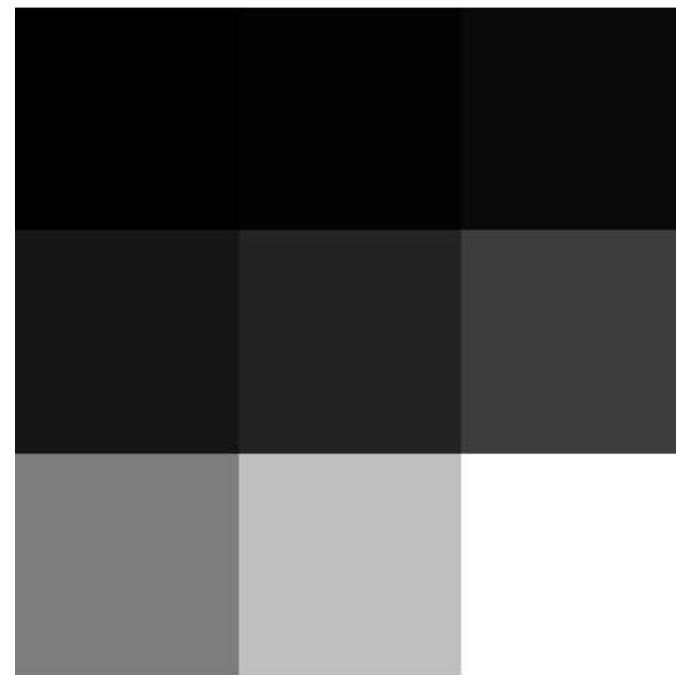
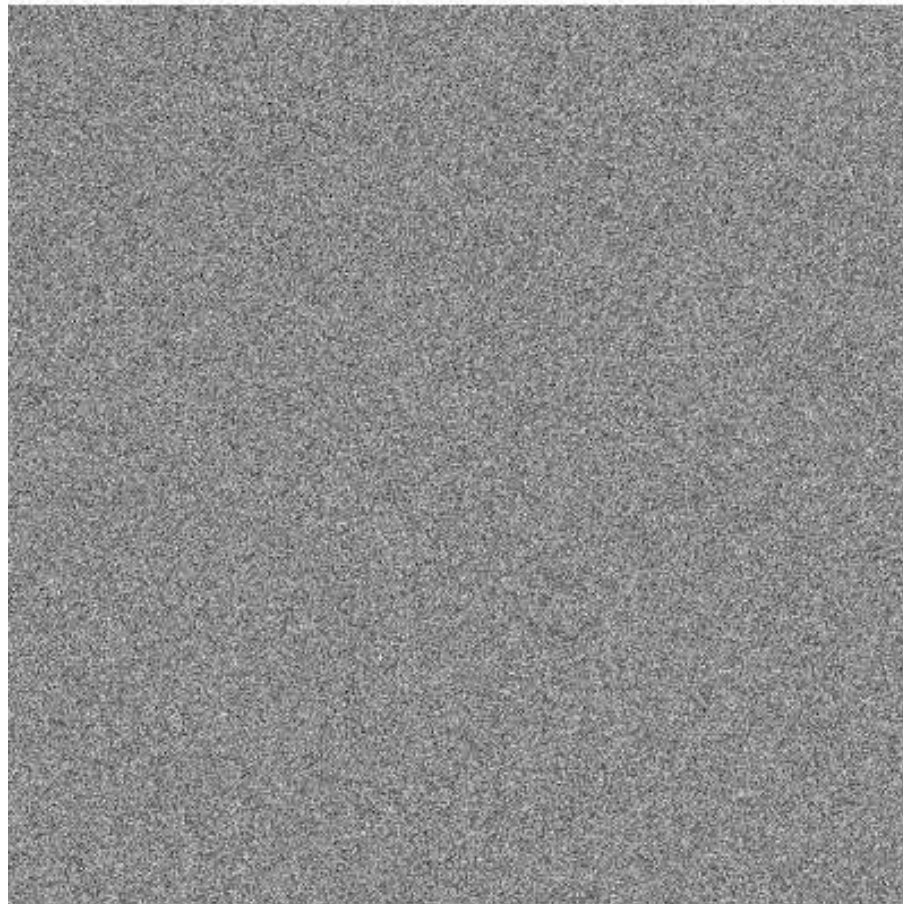


Imagen sin ruido

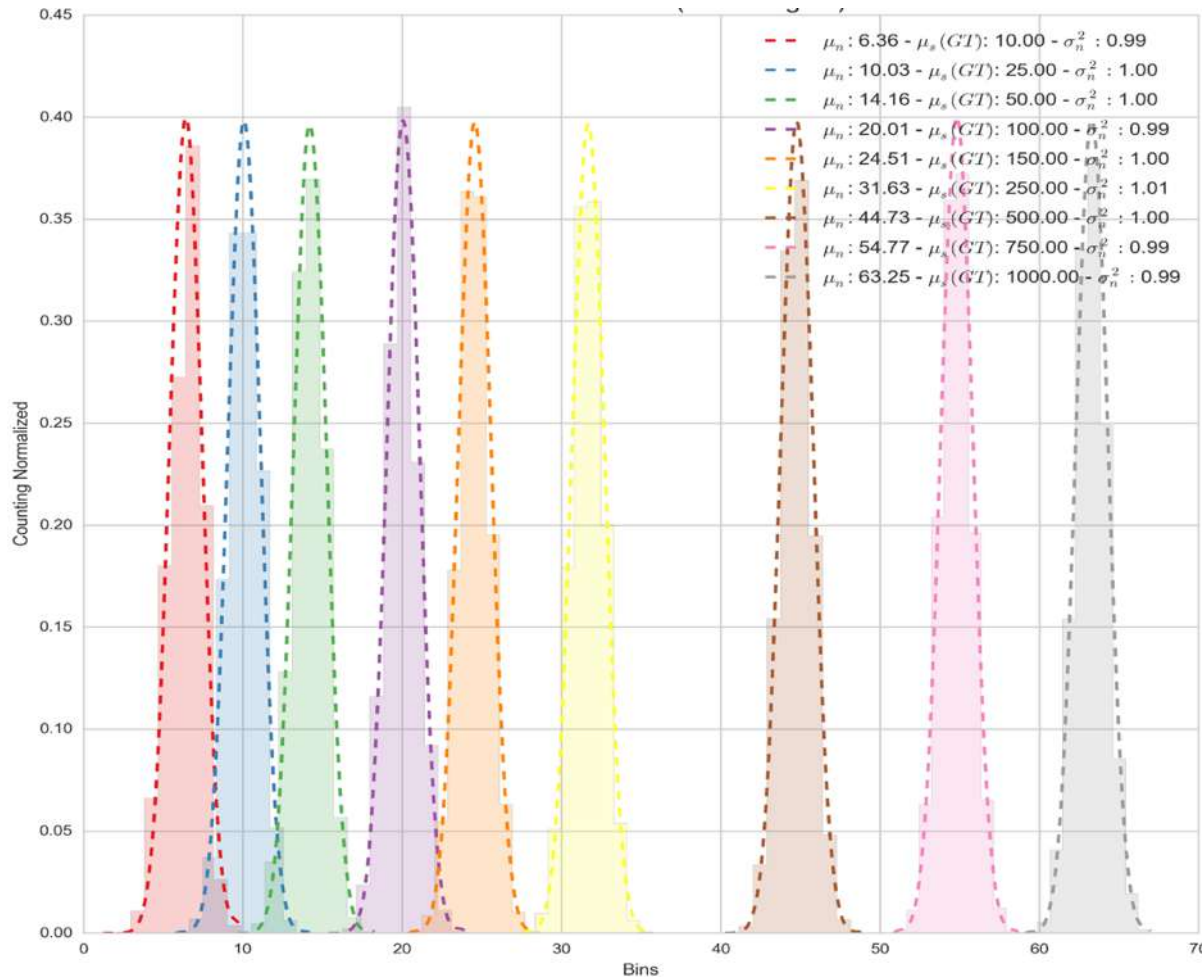
-

=

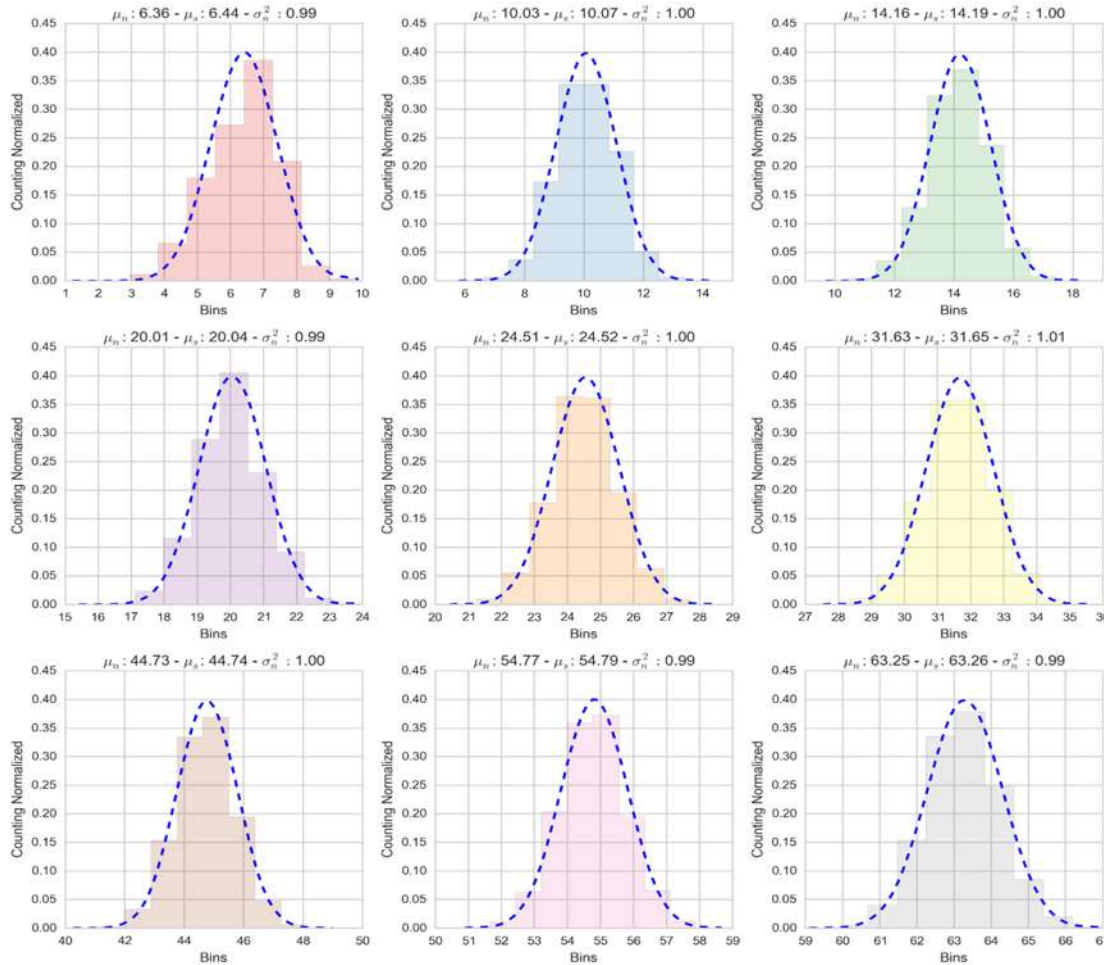
Ruído AWGN



Histogramma

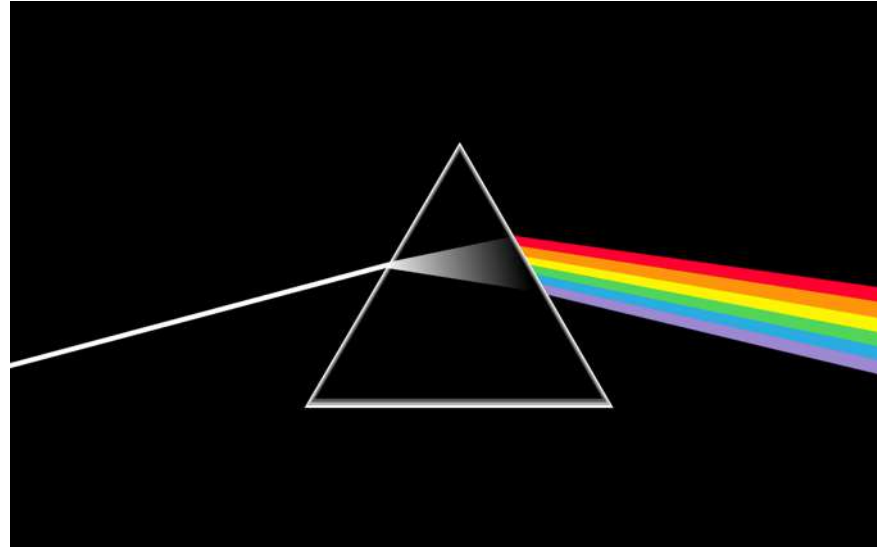


Histogramma



Ruído branco

Ruído branco



- É um sinal aleatório com igual intensidade em diferentes frequências;
- Densidade espectral de potência do ruído (NPS) é constante;
- Termo deriva das propriedades da luz branca.

Ruído AWGN



Imagen uniforme
Sem ruído

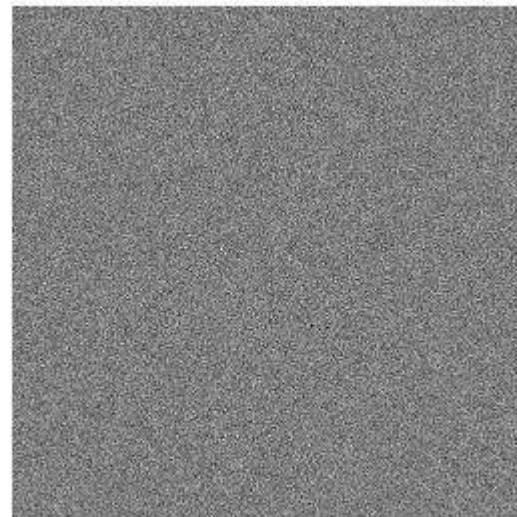


Imagen uniforme
Com ruído AWGN

Histogramas

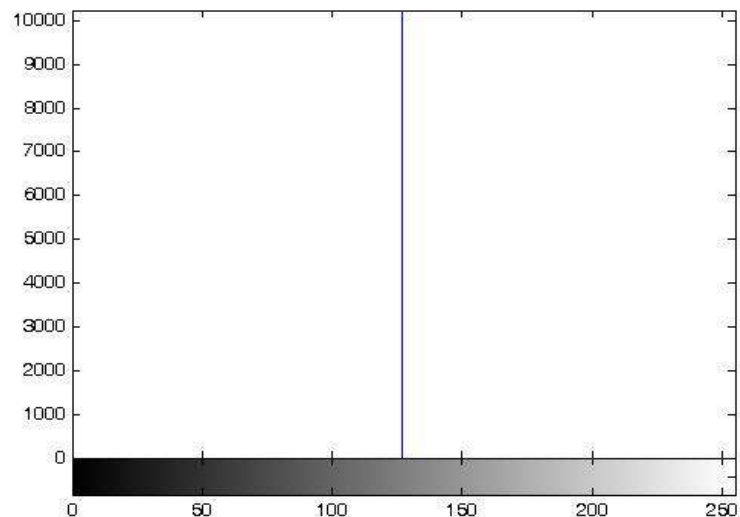


Imagen uniforme
Sem ruído

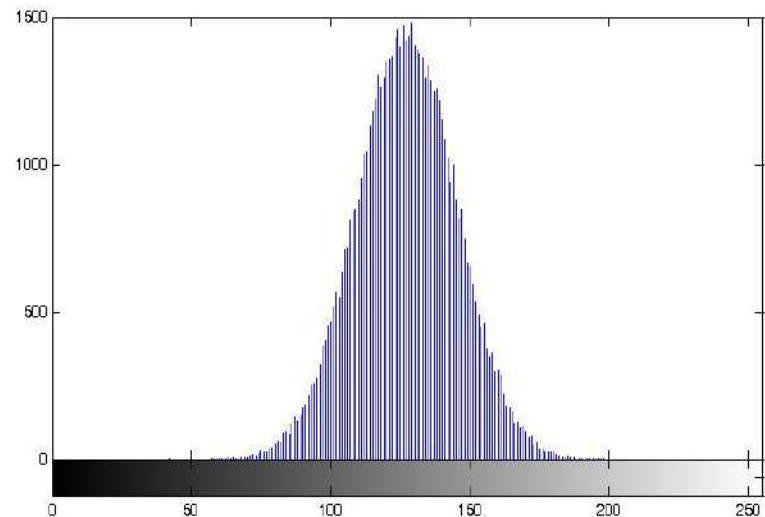


Imagen uniforme
Com ruído AWGN

Espectro de Fourier

No domínio da frequência

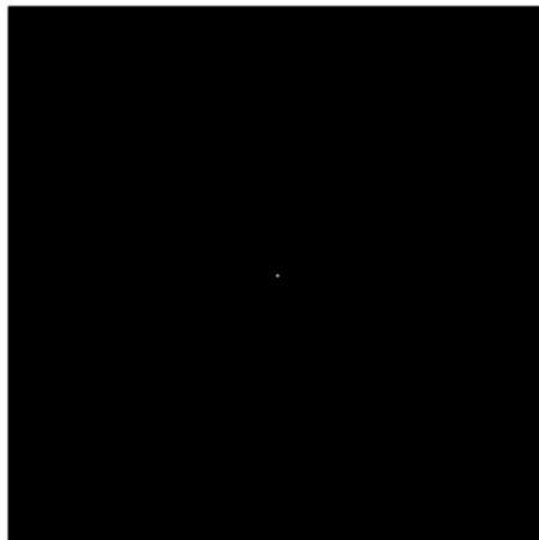


Imagen uniforme
Sem ruído

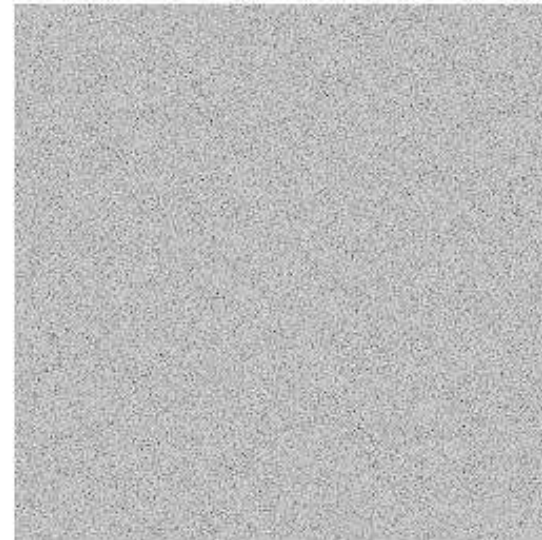
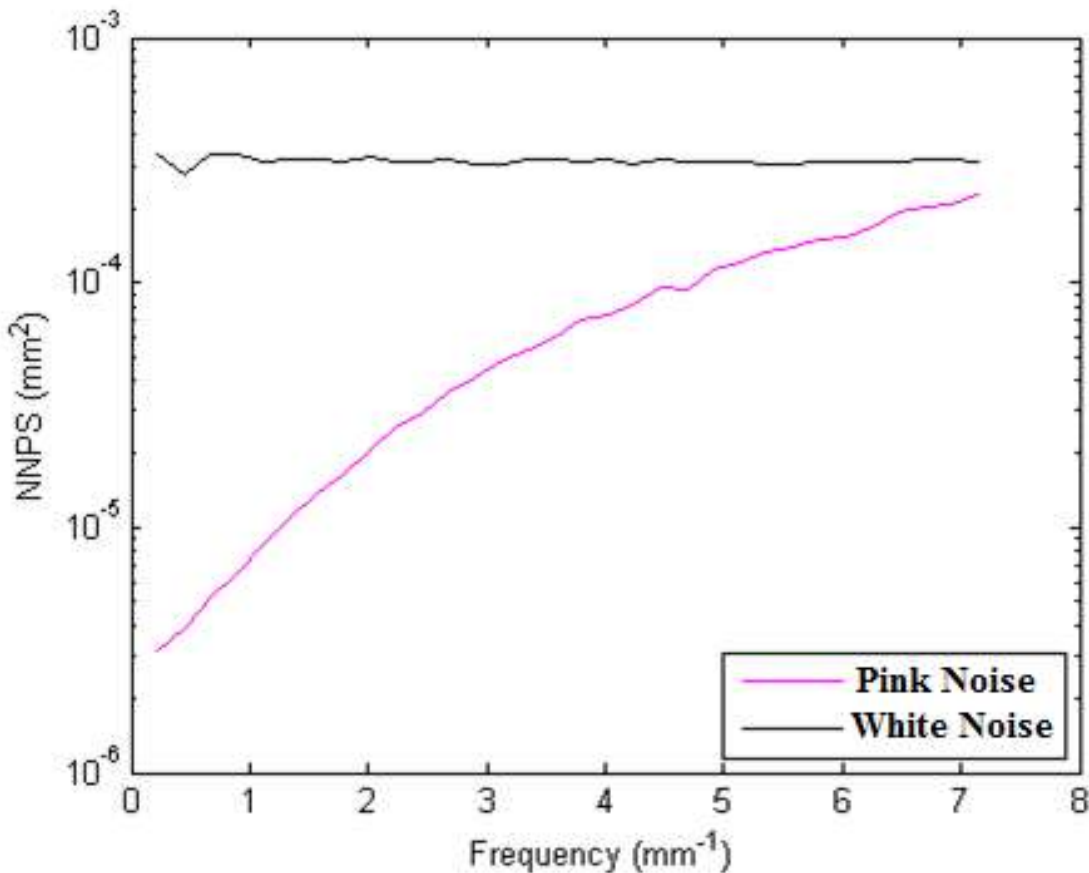


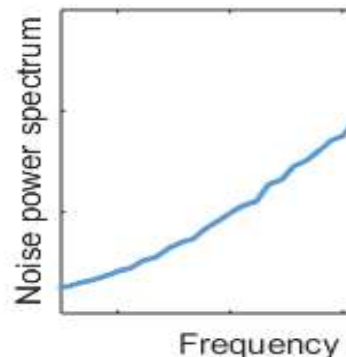
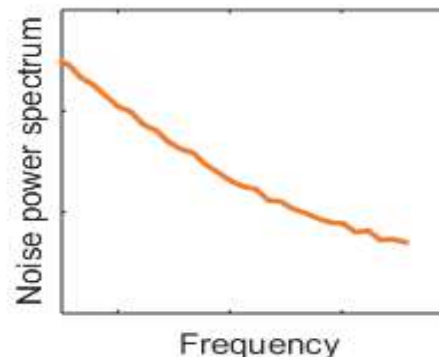
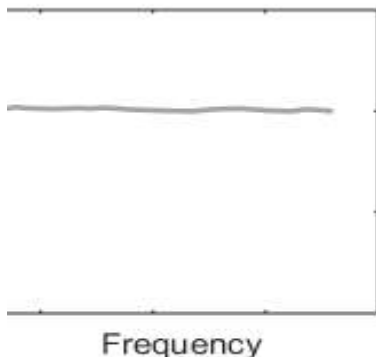
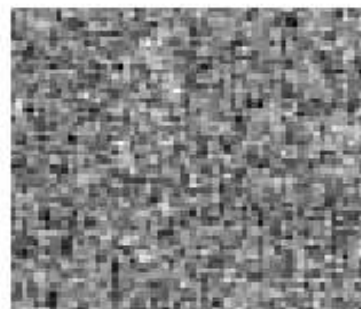
Imagen uniforme
Com ruído AWGN

Densidade espectral de potência

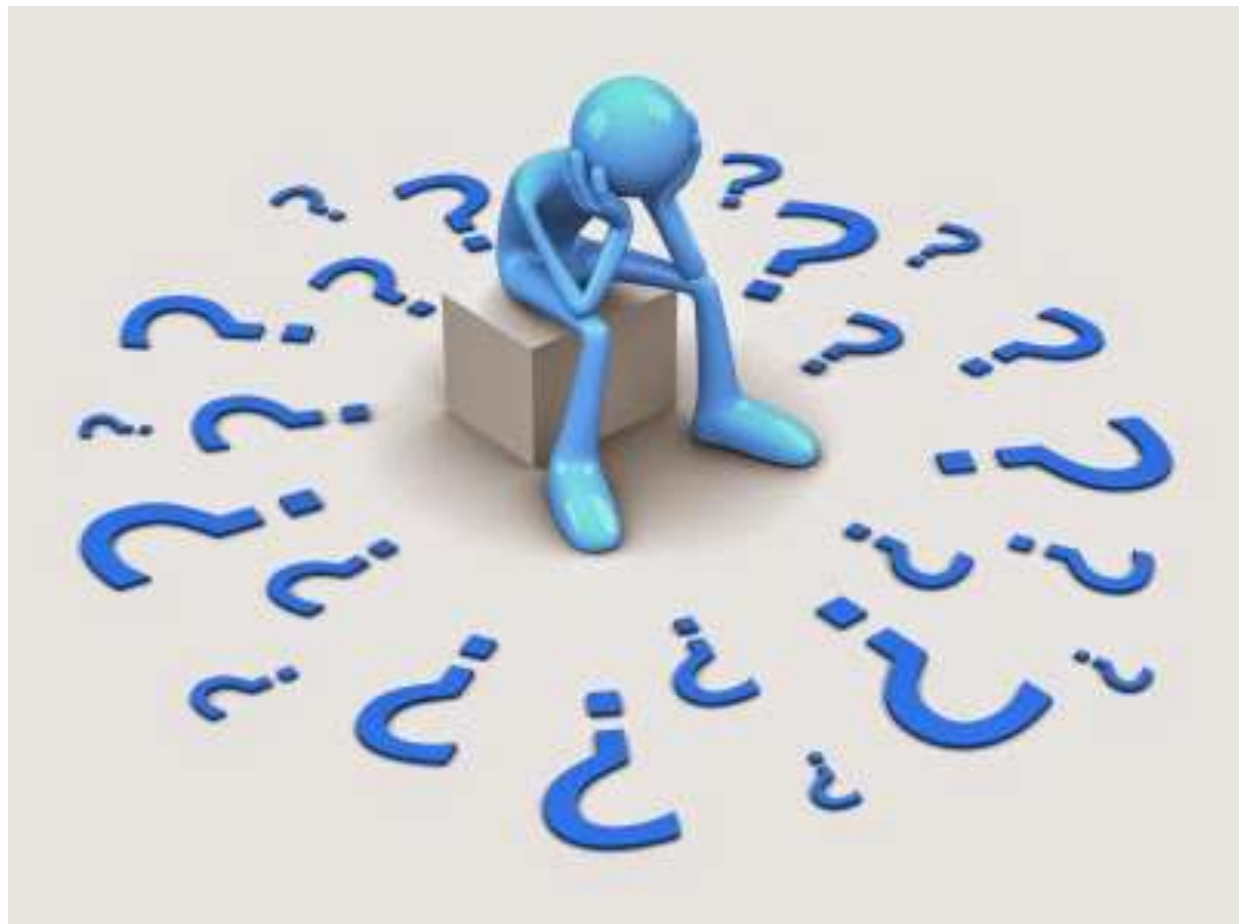


Ruído branco x Ruído colorido

Todas as imagens foram contaminadas por ruído gaussiano aditivo com média zero e variância unitária



Como remover o ruído AWGN?



Restauração apenas do ruído

$$g(x, y) = h(x, y) * f(x, y) + n(x, y)$$

$$g(x, y) = f(x, y) + n(x, y) \rightarrow \hat{f}(x, y) = g(x, y) - n(x, y)$$

$$G(u, v) = F(u, v) + N(u, v) \rightarrow \hat{F}(u, v) = G(u, v) - N(u, v)$$

Ruído AWGN



Imagen uniforme
Sem ruído

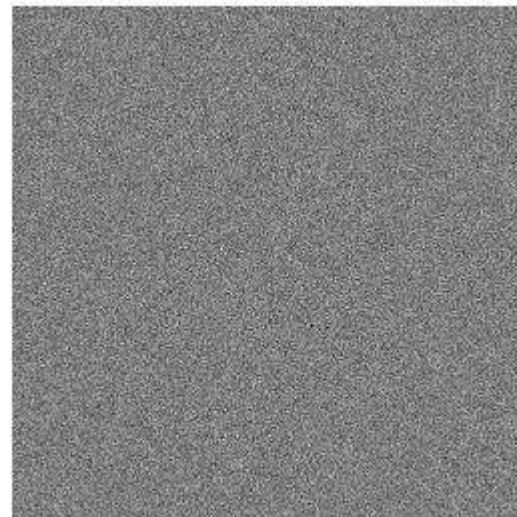


Imagen uniforme
Com ruído AWGN

Histogramas

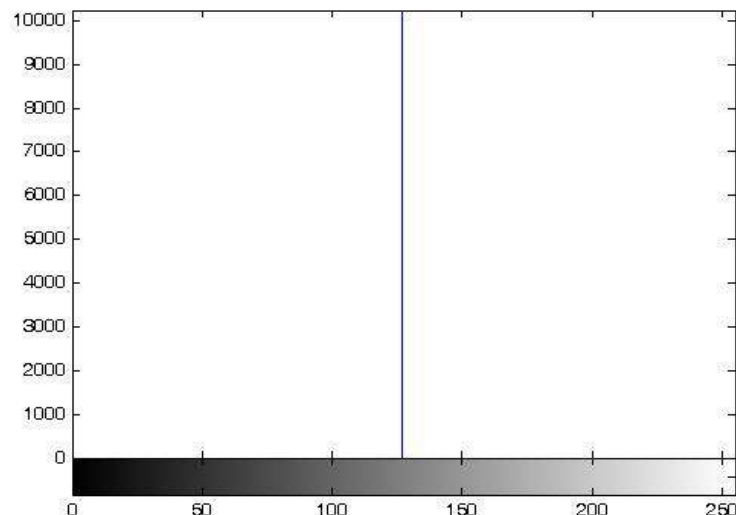


Imagen uniforme
Sem ruído

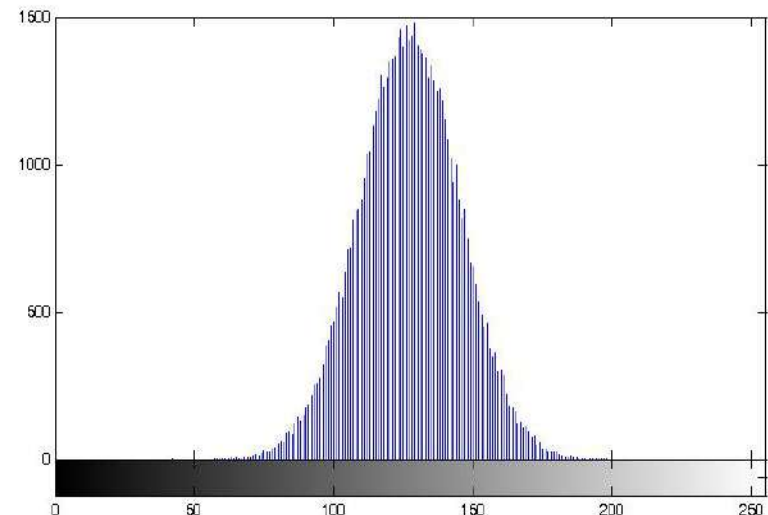


Imagen uniforme
Com ruído AWGN

Realizar a MÉDIA do sinal ruidoso!

Filtro da média (aritmética)

$$\hat{f}(x, y) = \frac{\sum_{s,t \in S_{xy}} g(s, t)}{MN}$$

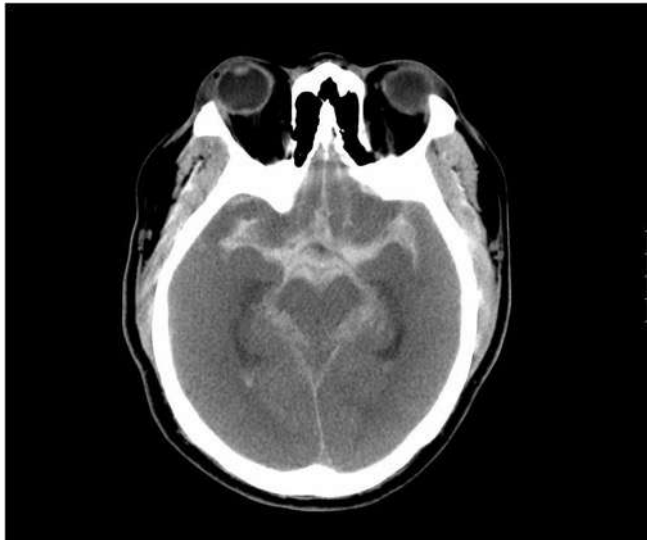
Exemplo:

10	20	20
20	13	20
20	25	100

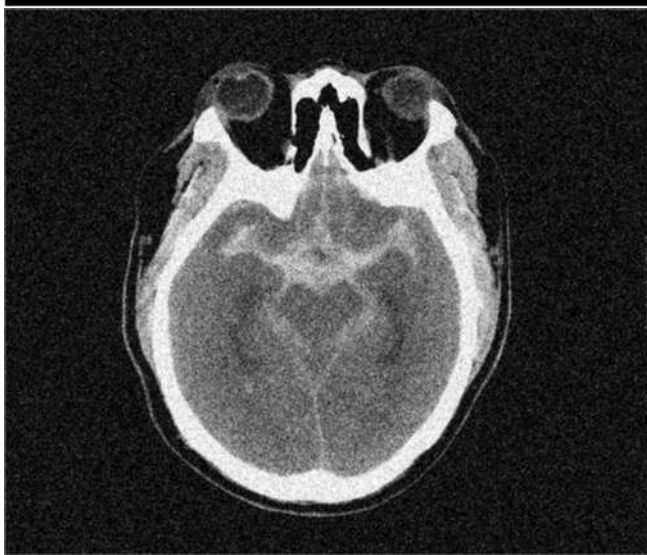
$$\begin{aligned}\hat{f}(x, y) &= \frac{10 + 20 + 20 + 20 + 13 + 20 + 20 + 25 + 100}{9} \\ &= 27,55 \sim \mathbf{28}\end{aligned}$$

Filtro da média (aritmética)

Original



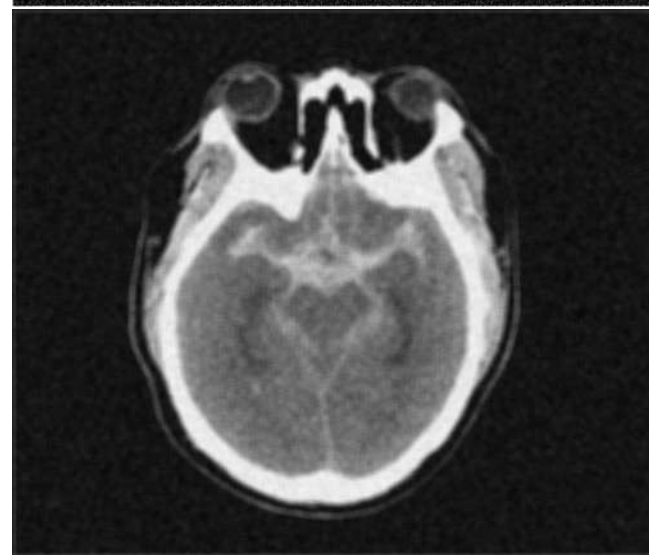
Média 3x3



Ruidosa



Média 9x9



Filtro da média (aritmética)

- Processamento no domínio do espaço
- Filtragem espacial por vizinhança (convolução)
- Filtro espacial passa-baixa é implementado através de uma máscara (*kernel*) que realiza a média da vizinhança:

$$\frac{1}{5} \begin{bmatrix} 0 & 1 & 0 \\ 1 & 1 & 1 \\ 0 & 1 & 0 \end{bmatrix}$$

$$\frac{1}{9} \begin{bmatrix} 1 & 1 & 1 \\ 1 & 1 & 1 \\ 1 & 1 & 1 \end{bmatrix}$$

$$\frac{1}{32} \begin{bmatrix} 1 & 3 & 1 \\ 3 & 16 & 3 \\ 1 & 3 & 1 \end{bmatrix}$$

$$\frac{1}{8} \begin{bmatrix} 0 & 1 & 0 \\ 1 & 4 & 1 \\ 0 & 1 & 0 \end{bmatrix}$$



Média Aritmética

Filtros de Média Geométrica

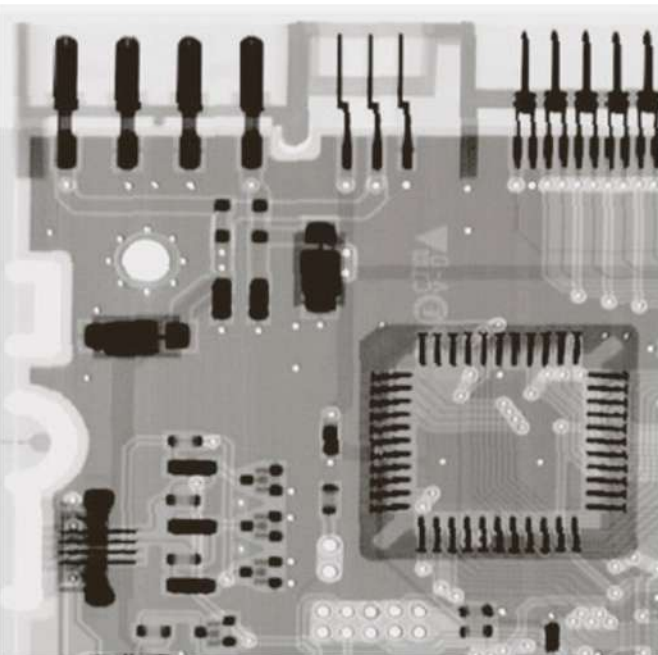
$$\hat{f}(x, y) = \left[\prod_{s, t \in S_{xy}} g(s, t) \right]^{\frac{1}{MN}}$$

Exemplo:

10	20	20
20	13	20
20	25	100

$$\begin{aligned}\hat{f}(x, y) &= [10 \cdot 20 \cdot 20 \cdot 20 \cdot 13 \cdot 20 \cdot 20 \cdot 25 \cdot 100]^{\frac{1}{9}} \\ &= 21,64 \sim \mathbf{22}\end{aligned}$$

Imagen
Original



Filtragem
pela **Média**
Aritmética
com janela
3x3

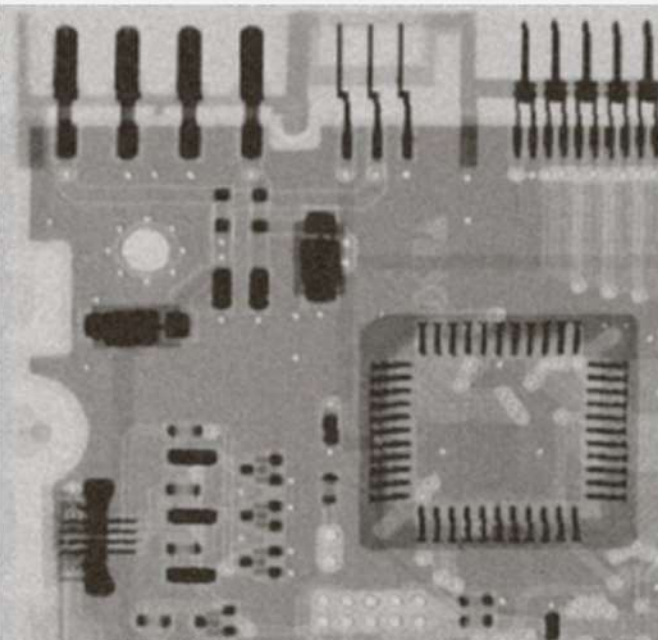
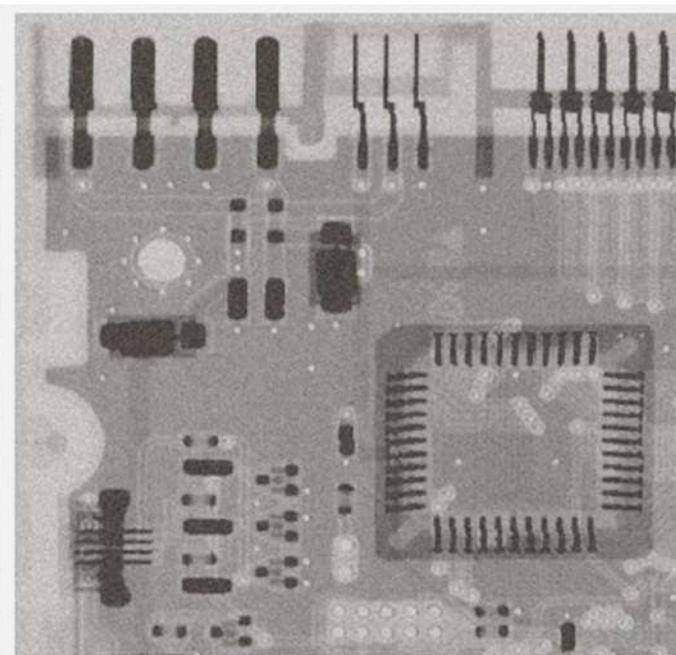
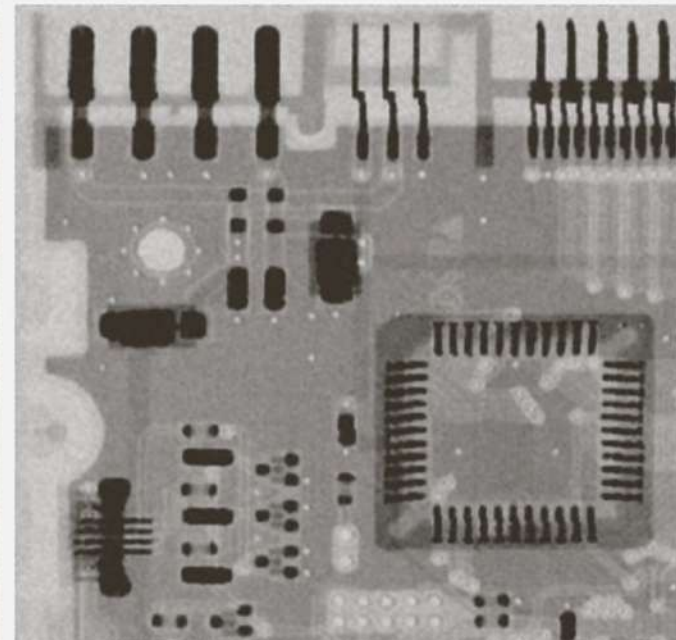


Imagen
Corrompida
por ruído
Gaussiano
Aditivo



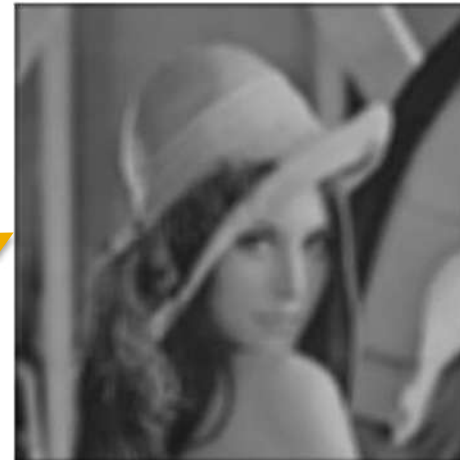
Filtragem
pela **Média**
Geométrica
com janela
3x3



O ruído é componente de alta freqüência?



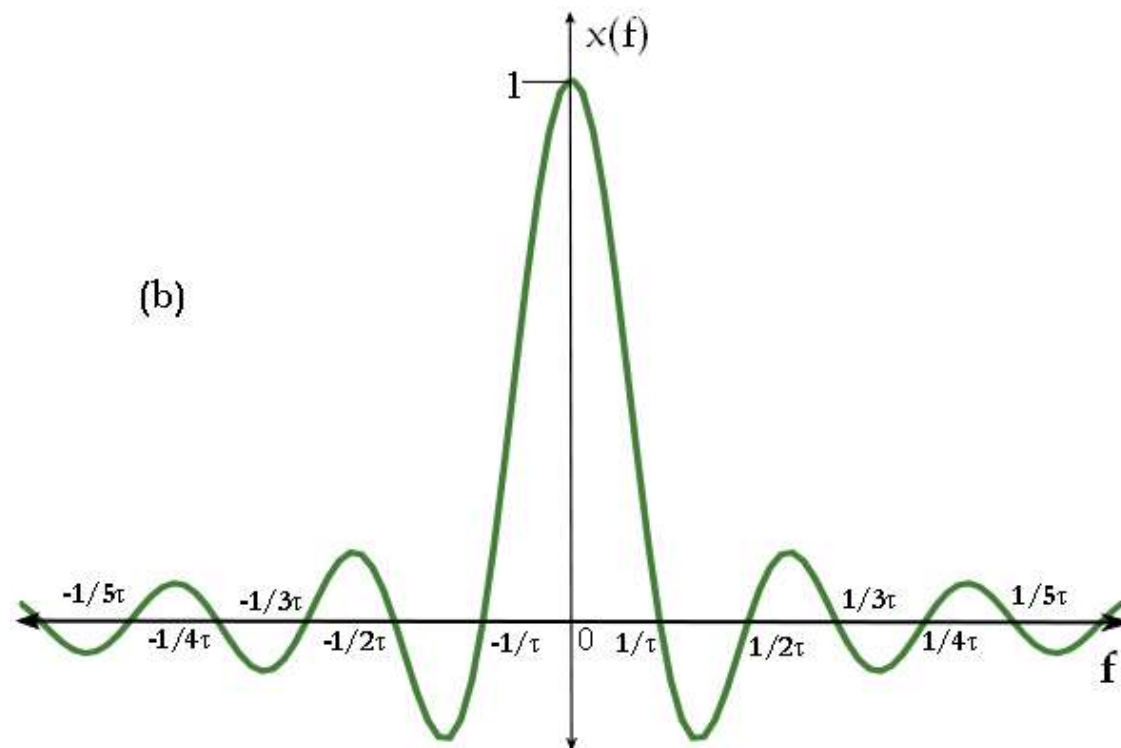
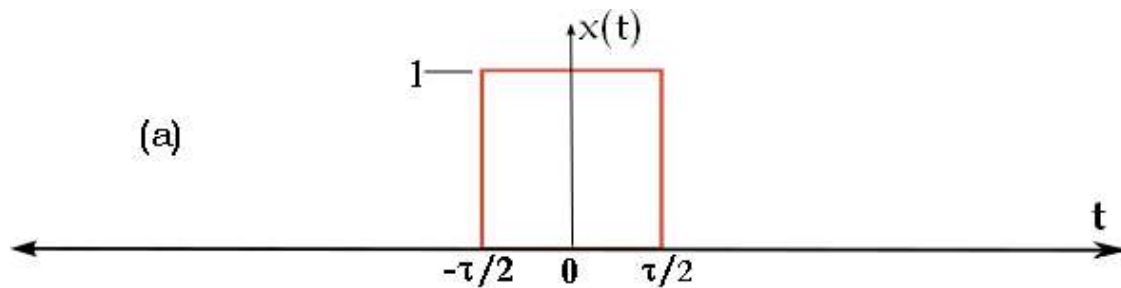
Passa-Baixa



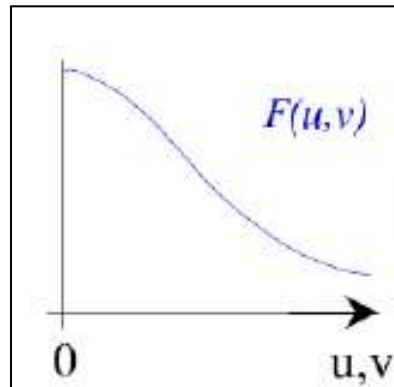
Realce nas altas
frequências



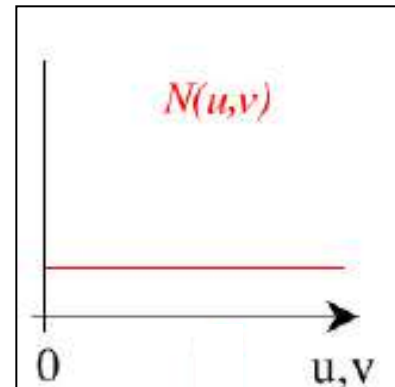
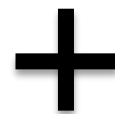
Processo de aquisição – passa-baixas



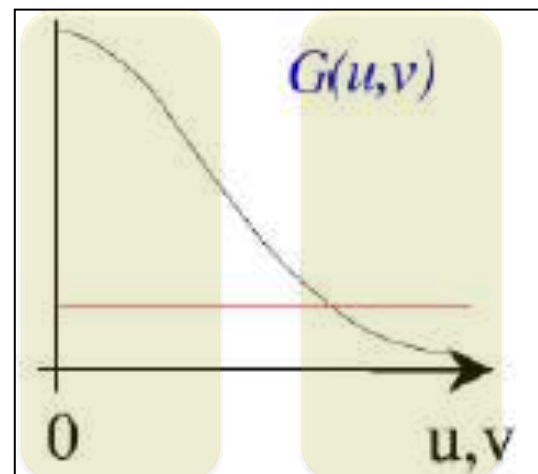
Sinal x Ruído



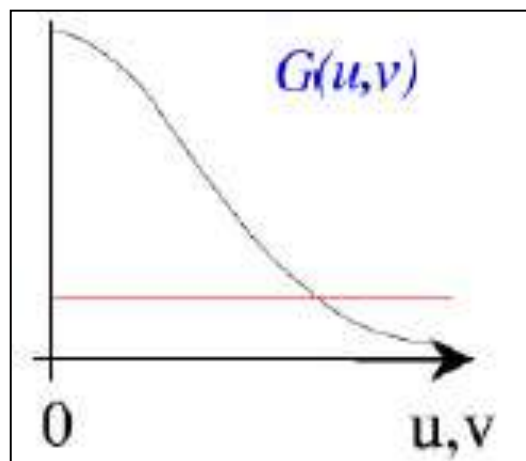
Sinal



Ruído branco

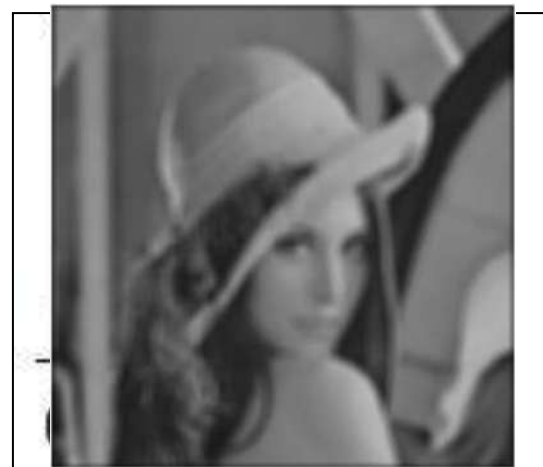


Sinal x Ruído



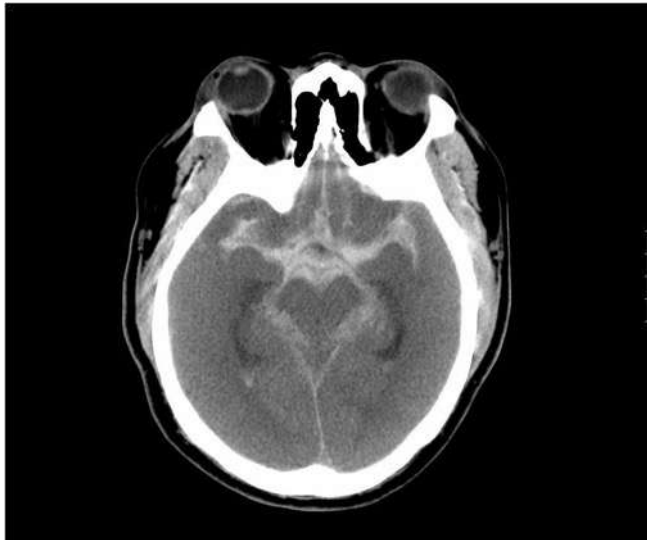
Passa-Baixa

Realce nas altas frequências

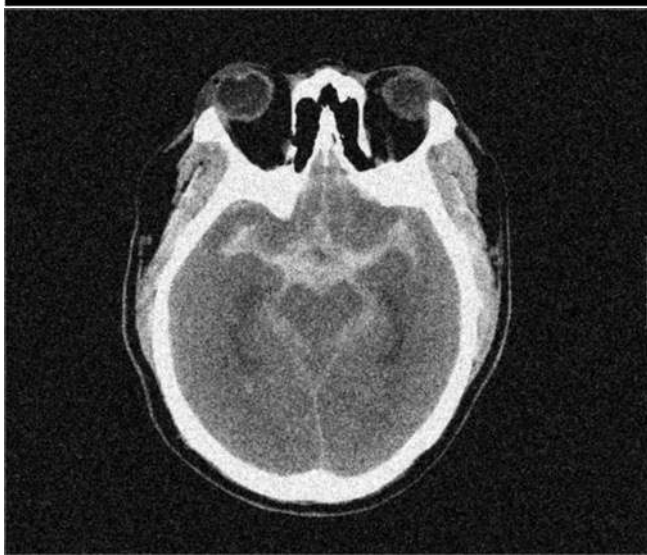


Filtro da média (aritmética)

Original



Média 3x3



Ruidosa



Média 9x9

Por que não funciona tão bem?



Ruído AWGN



Imagen sem ruído

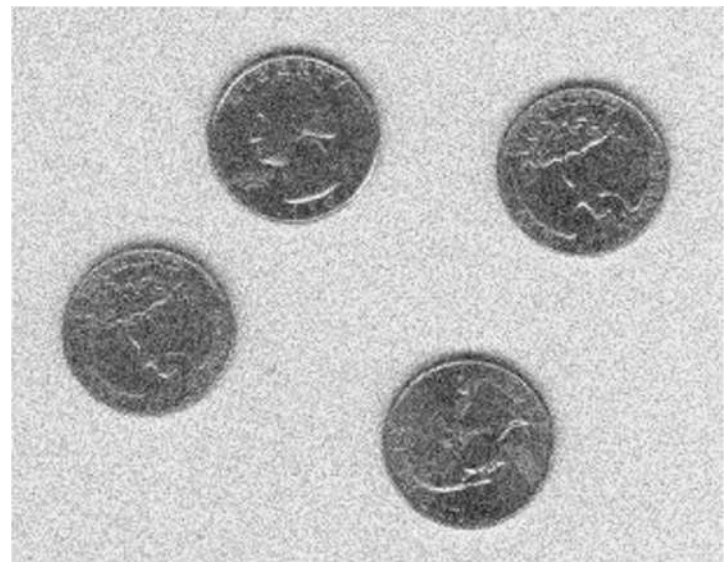


Imagen com ruído
AWGN

Histogramas

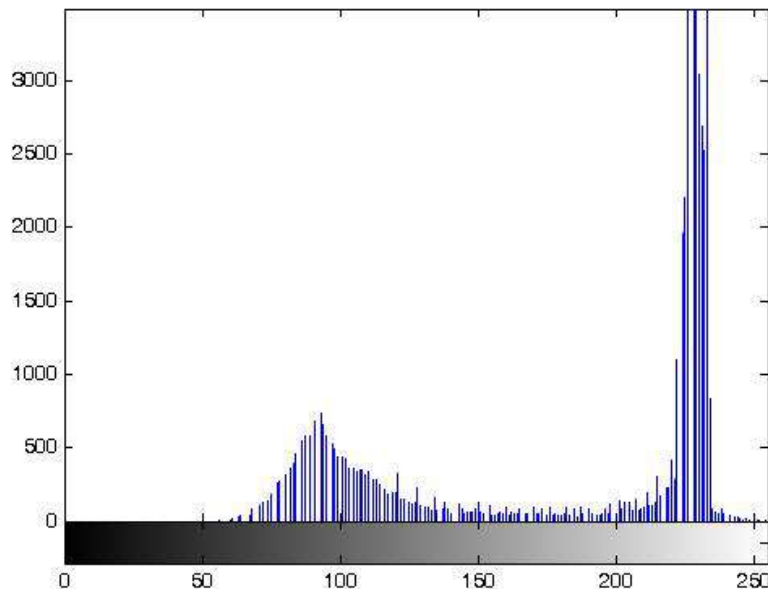


Imagen sem ruído

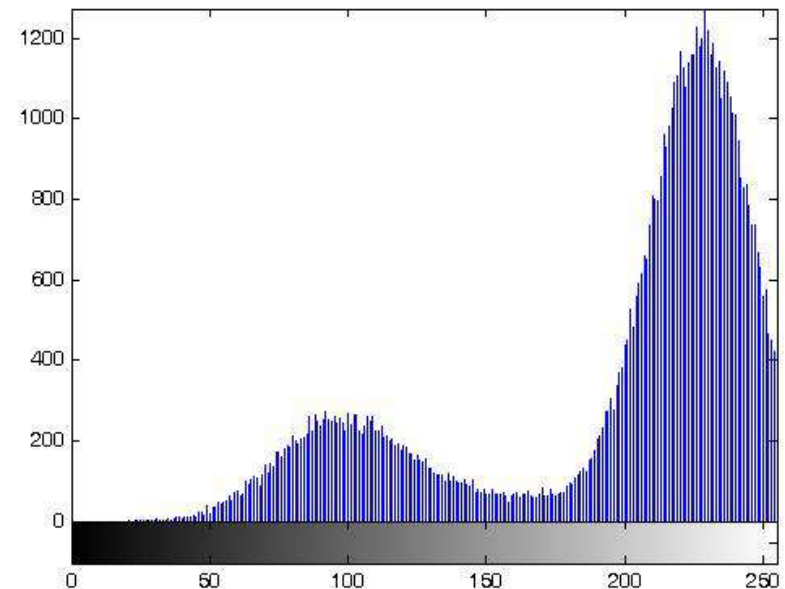


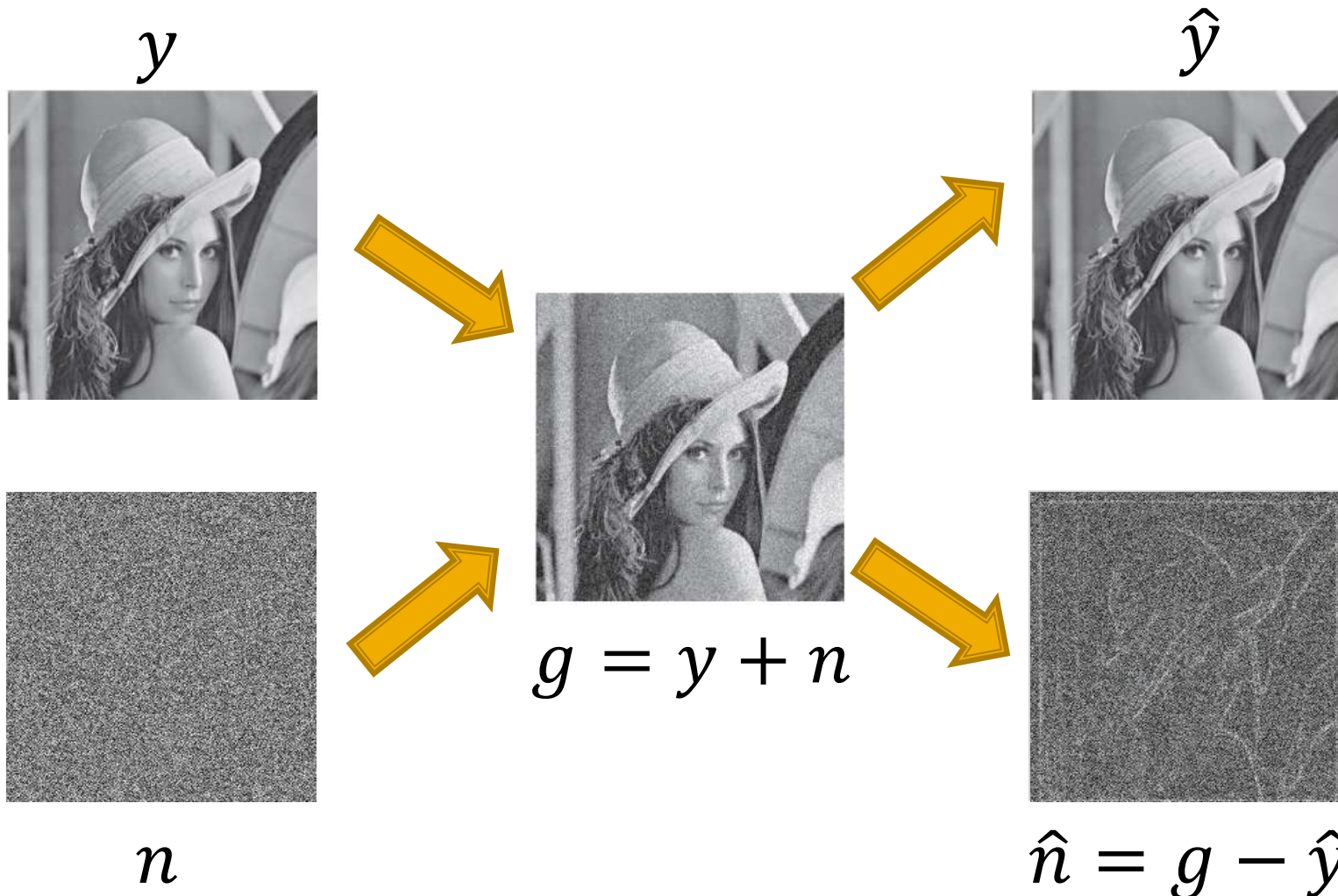
Imagen com ruído
AWGN

O sinal e o ruído são misturados!

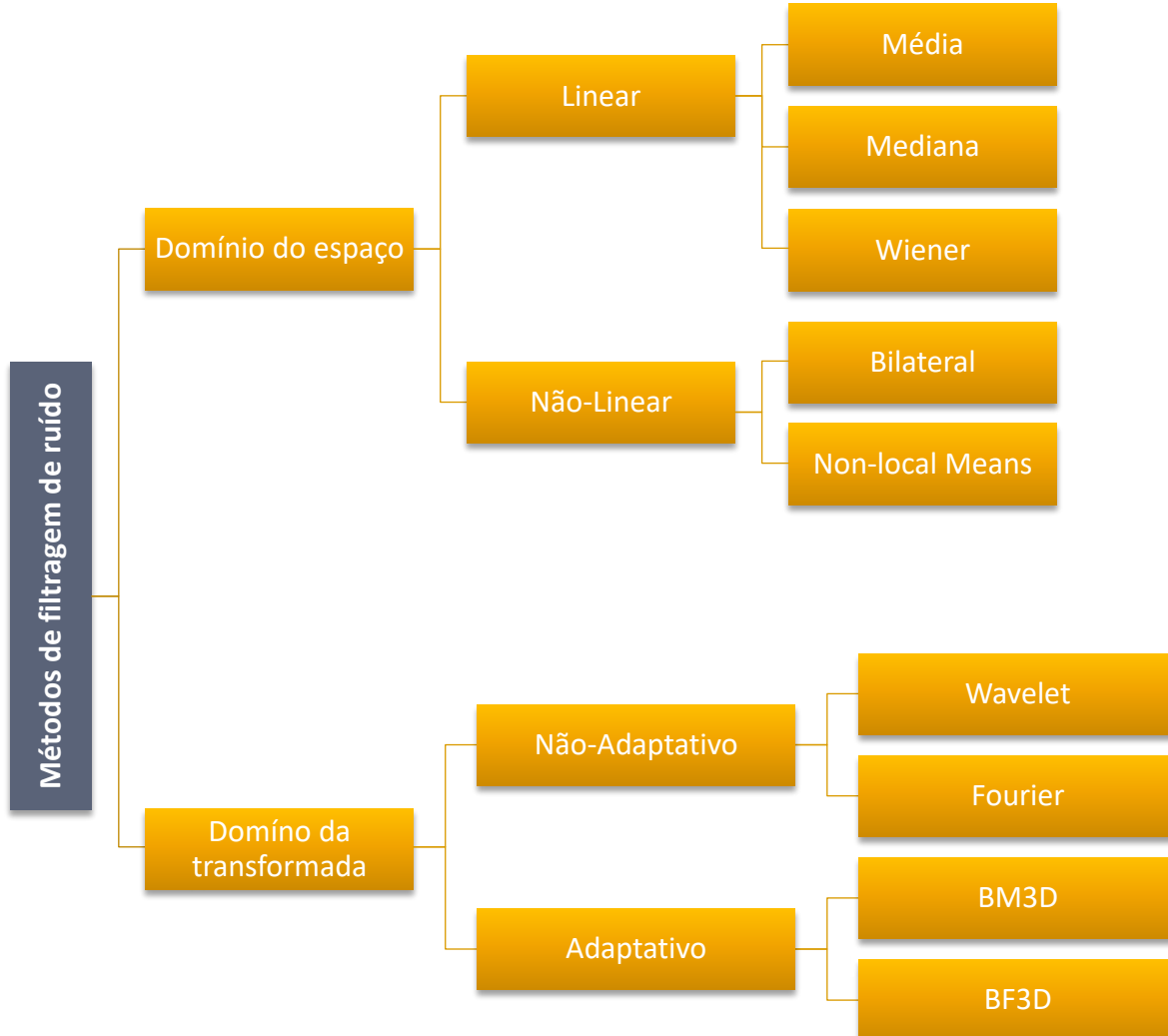
Filtros de média local

- Quando calculamos a média do ruído, fazemos também a média do sinal;
- Em regiões uniformes funciona bem;
- Em regiões com detalhes não funciona;
- Causa borramento (perda de detalhes).

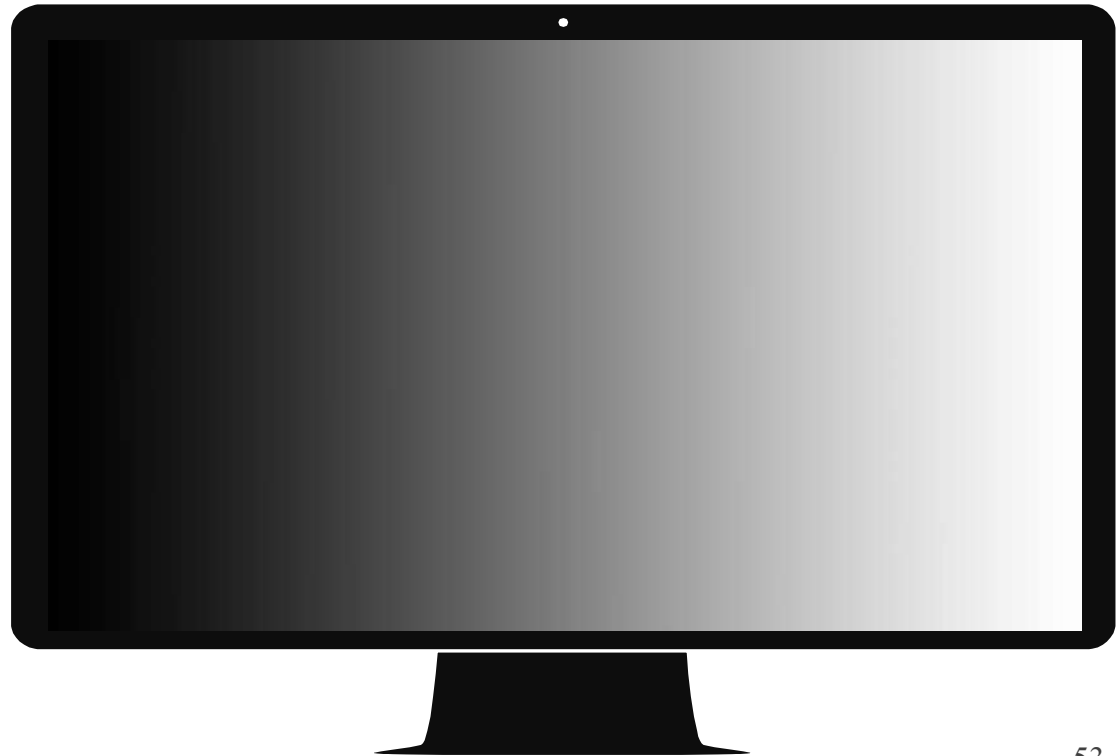
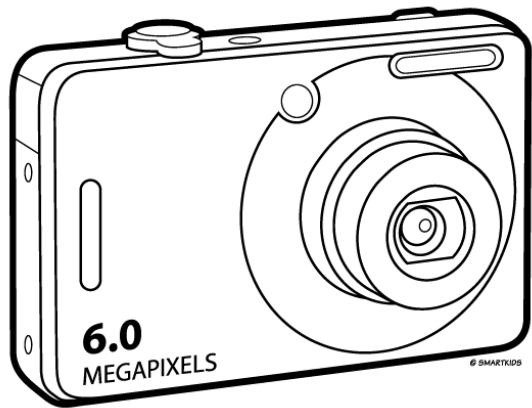
Problema da filtragem de ruído



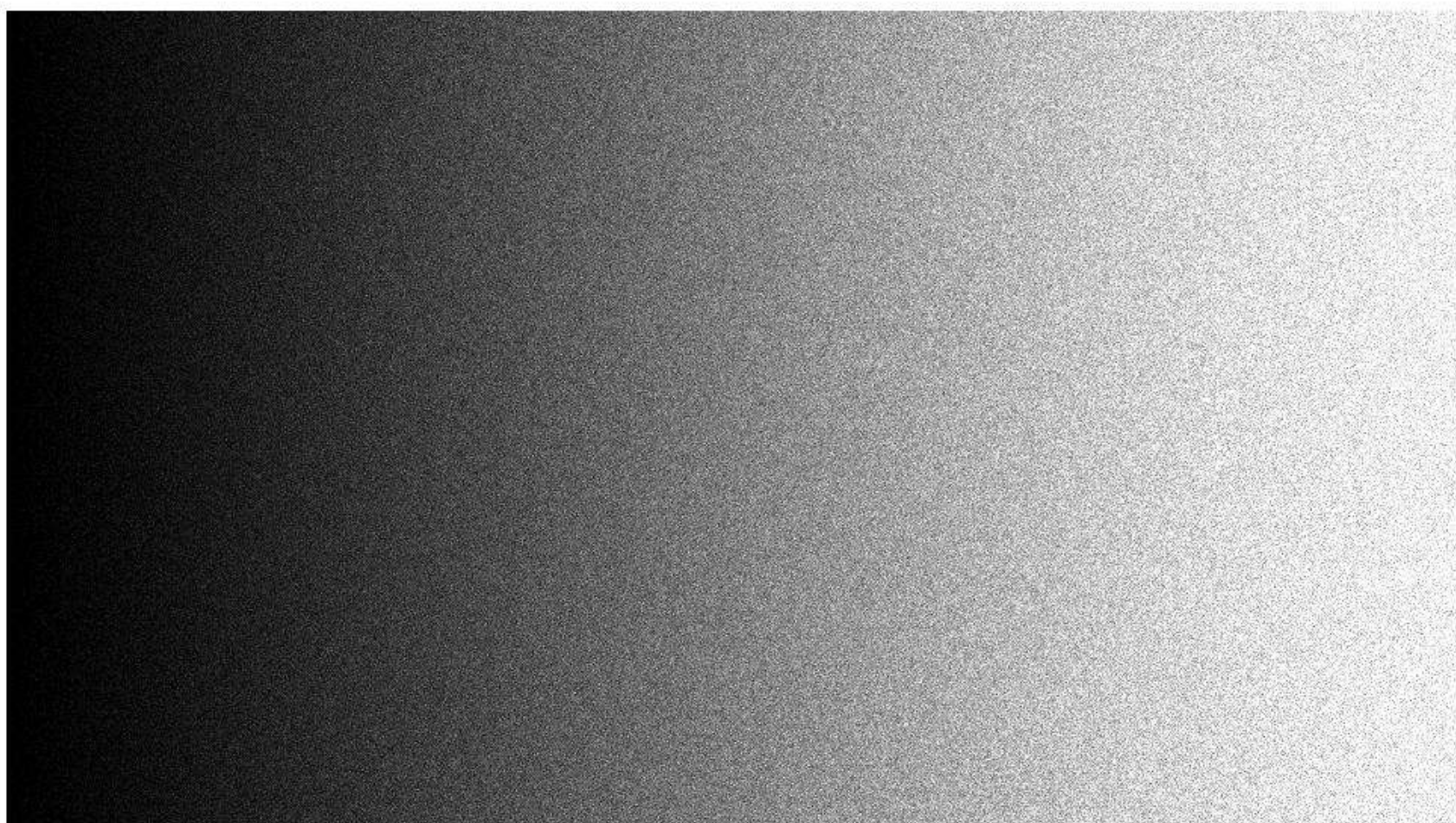
Métodos para filtragem de ruído



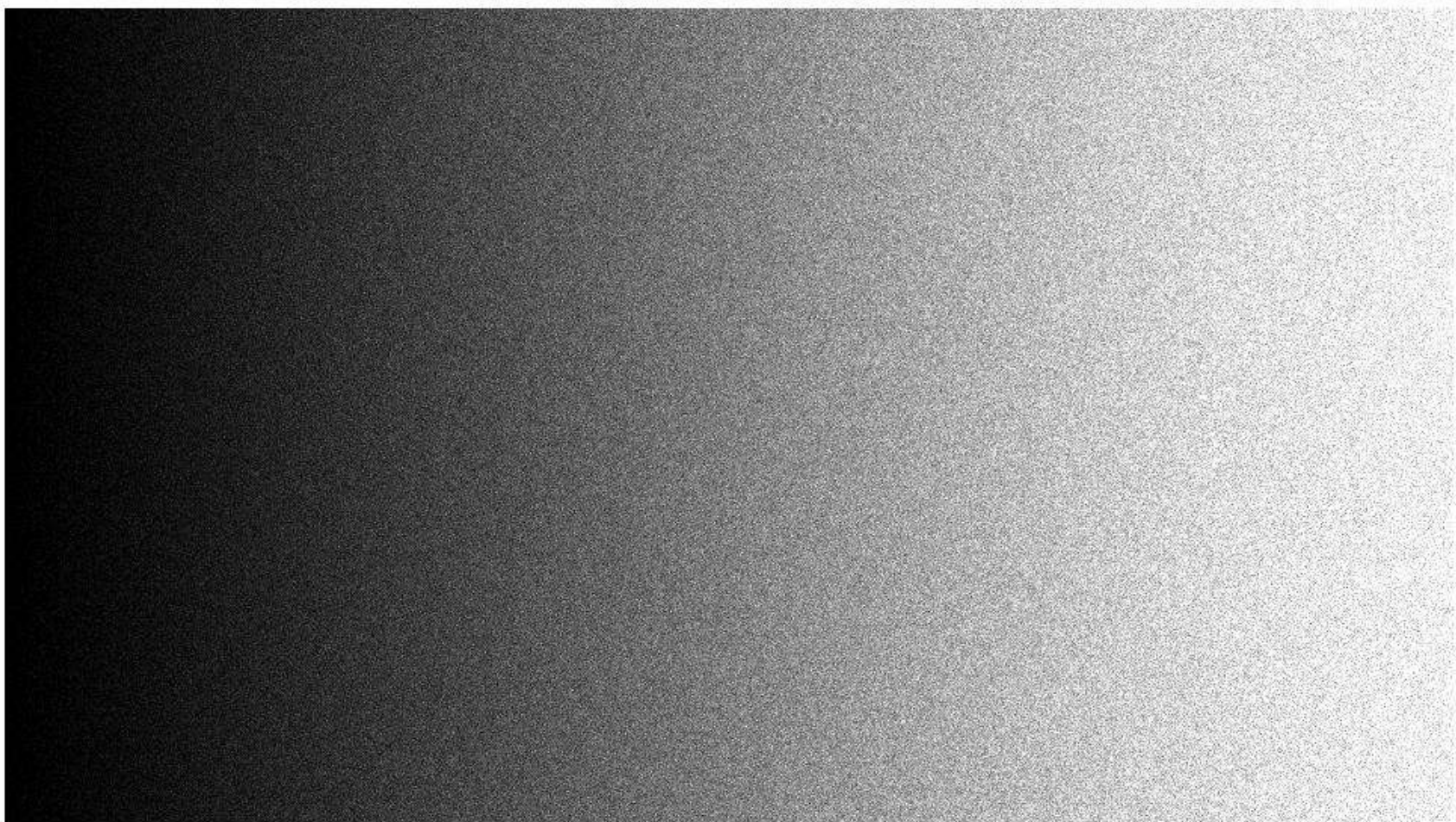
Método ideal filtragem de ruído



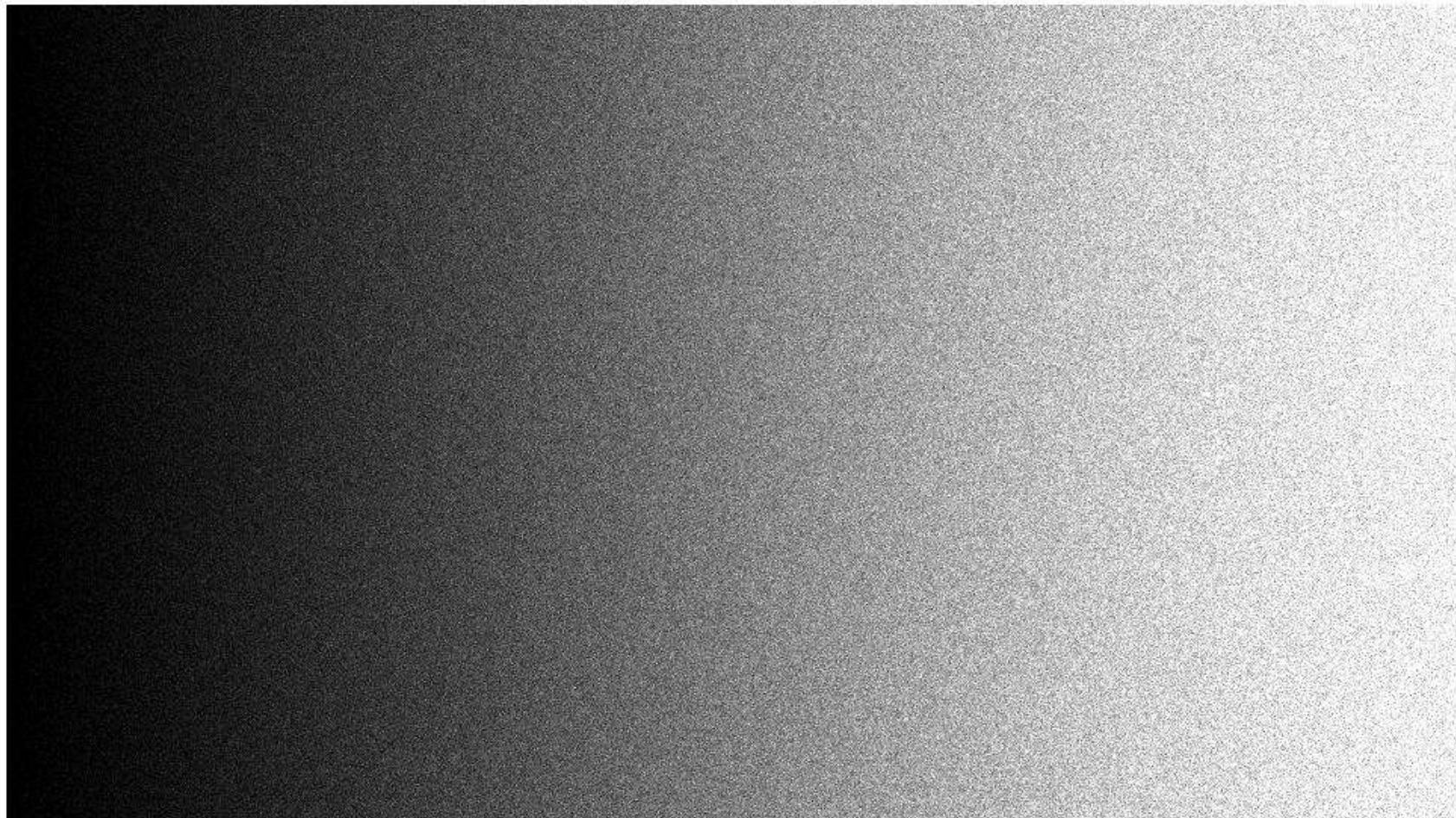
Fotografia #1



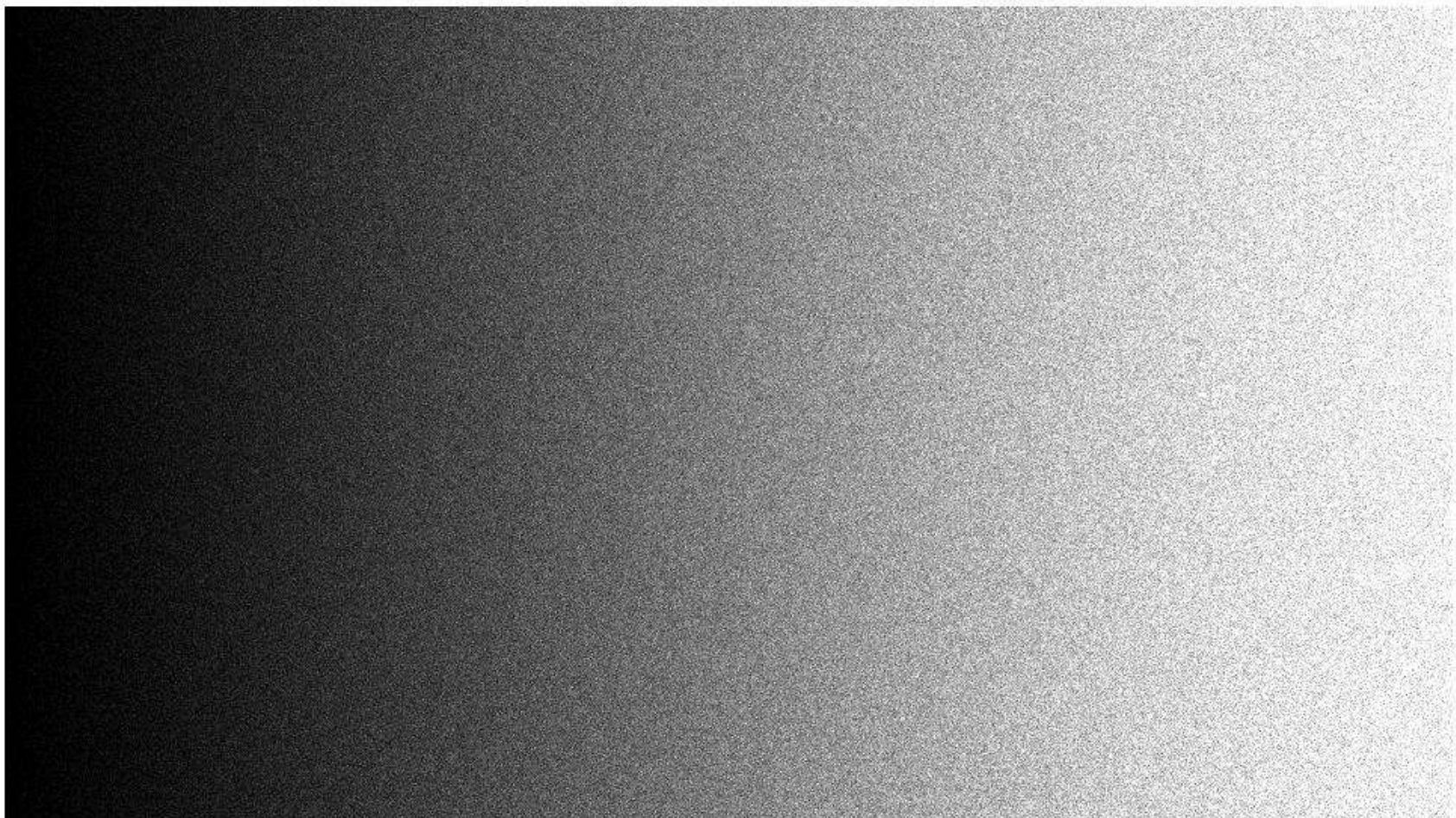
Fotografia #2



Fotografia #3



Fotografia #4



Média de todas as exposições

$$\frac{1}{N} \sum \quad \boxed{\text{Imagem 1}} \quad + \quad \boxed{\text{Imagem 2}} \quad + \dots + \quad \boxed{\text{Imagem N}}$$

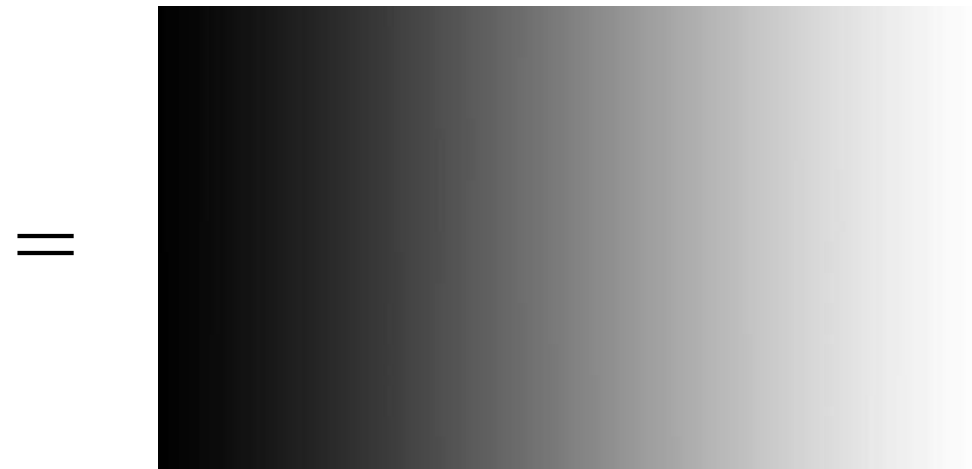


Imagen filtrada

Problemas?

- Só é útil para ruído de média zero;
- Nem sempre é possível obter várias exposições da mesma cena;
- Movimento – causa “borramento”;
- Imagens médicas – exposição à radiação;

Desafio:

- Filtrar o ruído a partir de uma única imagem com o mínimo borramento

Filtro de média não-local

Filtro de média não-local

≡ Google Scholar



A. Buades

Afiliação desconhecida

E-mail confirmado em uib.es - Página inicial

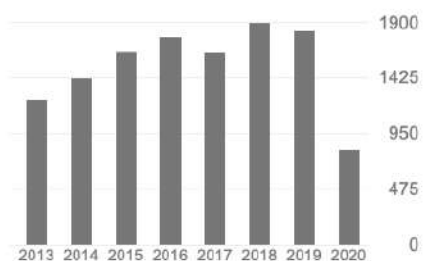
SEGUIR

Citado por

VISUALIZAR TODOS

Todos Desde 2015

Citações	15767	9555
Índice h	29	28
Índice i10	47	41



TÍTULO

CITADO POR

ANO

[A non-local algorithm for image denoising](#)

A Buades, B Coll, JM Morel

2005 IEEE Computer Society Conference on Computer Vision and Pattern ...

5973

2005

[A review of image denoising algorithms, with a new one](#)

A Buades, B Coll, JM Morel

Multiscale Modeling & Simulation 4 (2), 490-530

4690

2005

[Nonlocal image and movie denoising](#)

A Buades, B Coll, JM Morel

International journal of computer vision 76 (2), 123-139

804

2008

[Image denoising methods. A new nonlocal principle](#)

A Buades, B Coll, JM Morel

SIAM review 52 (1), 113-147

387

2010

[Non-local means denoising](#)

A Buades, B Coll, JM Morel

Image Processing On Line 1, 208-212

323

2011

[The staircasing effect in neighborhood filters and its solution](#)

A Buades, B Coll, JM Morel

IEEE transactions on Image Processing 15 (6), 1499-1505

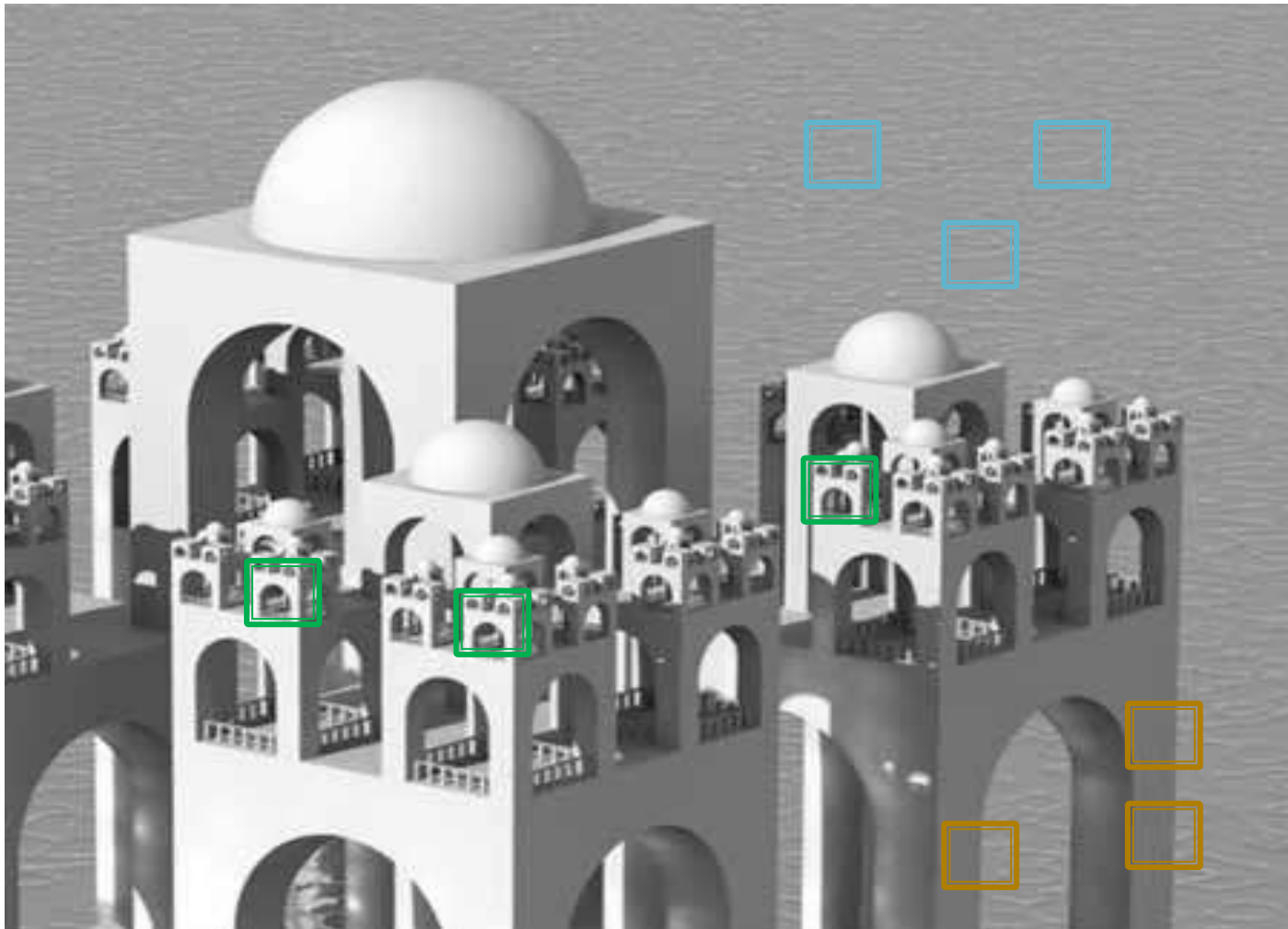
278

2006

Algoritmo Non-Local Means

- **Premissa principal:** Imagem é redundante.
 - Pequenas regiões tendem a se repetir ao longo da imagem, não necessariamente próximas umas das outras.
- **Portanto:** Buscar por amostras em toda a imagem.
 - Não apenas na vizinhança do pixel sendo processado.

Algoritmo Non-Local Means



Algoritmo Non-Local Means

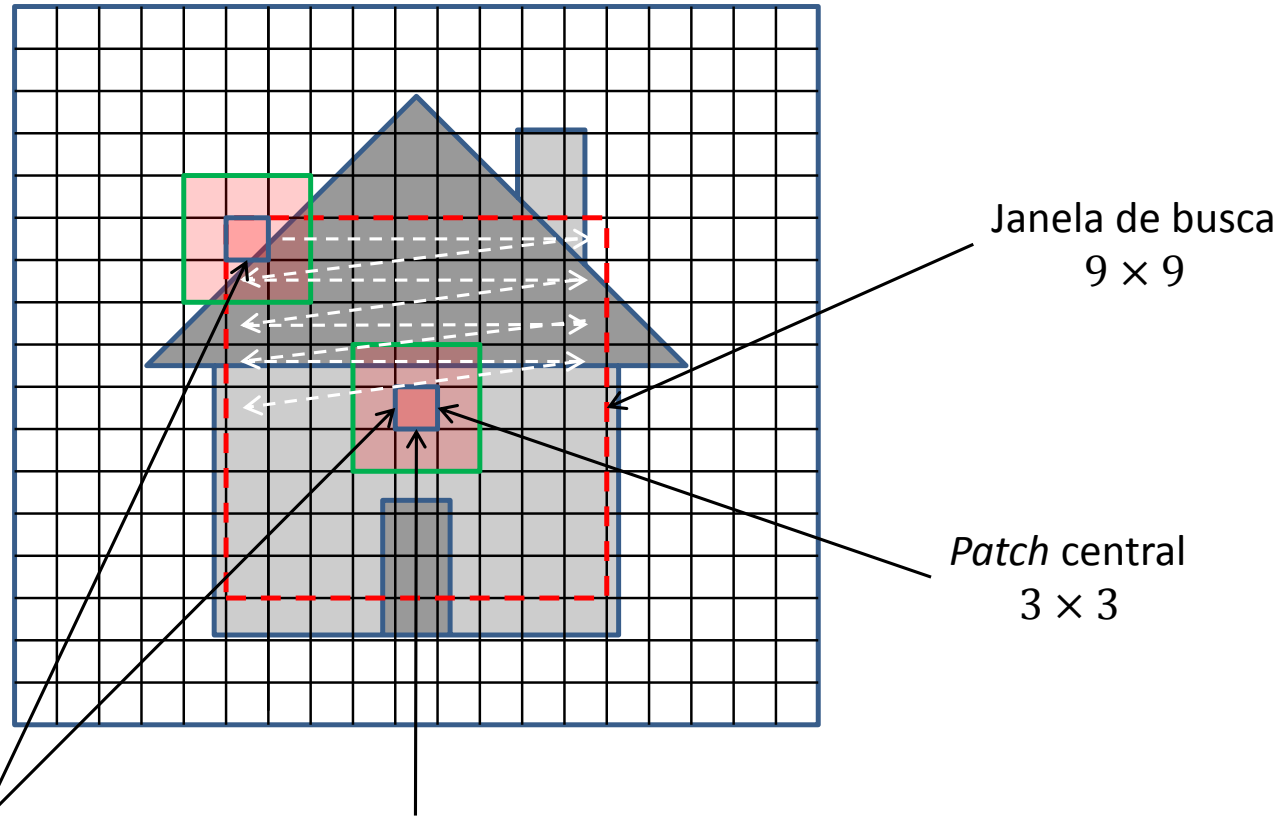
- Estima o valor de um pixel como a média ponderada de todos os outros pixels.

$$\hat{x}_i = \sum_{j \in I} w_{ij} y_j$$

- Os coeficientes do filtro se adaptam aos dados (filtro variante no espaço).

$$w_{ij} = \frac{1}{W_i} e^{\frac{-\|\mathbf{y}_i - \mathbf{y}_j\|_{\mathcal{G}a}^2}{h^2}}$$

Algoritmo Non-Local Means



$$w_{ij} = \frac{1}{W_i} e^{\frac{-\|y_i - y_j\|_{\mathcal{G}a}^2}{h^2}} \quad \hat{x}_i = \sum_{j \in I} w_{ij} y_j$$

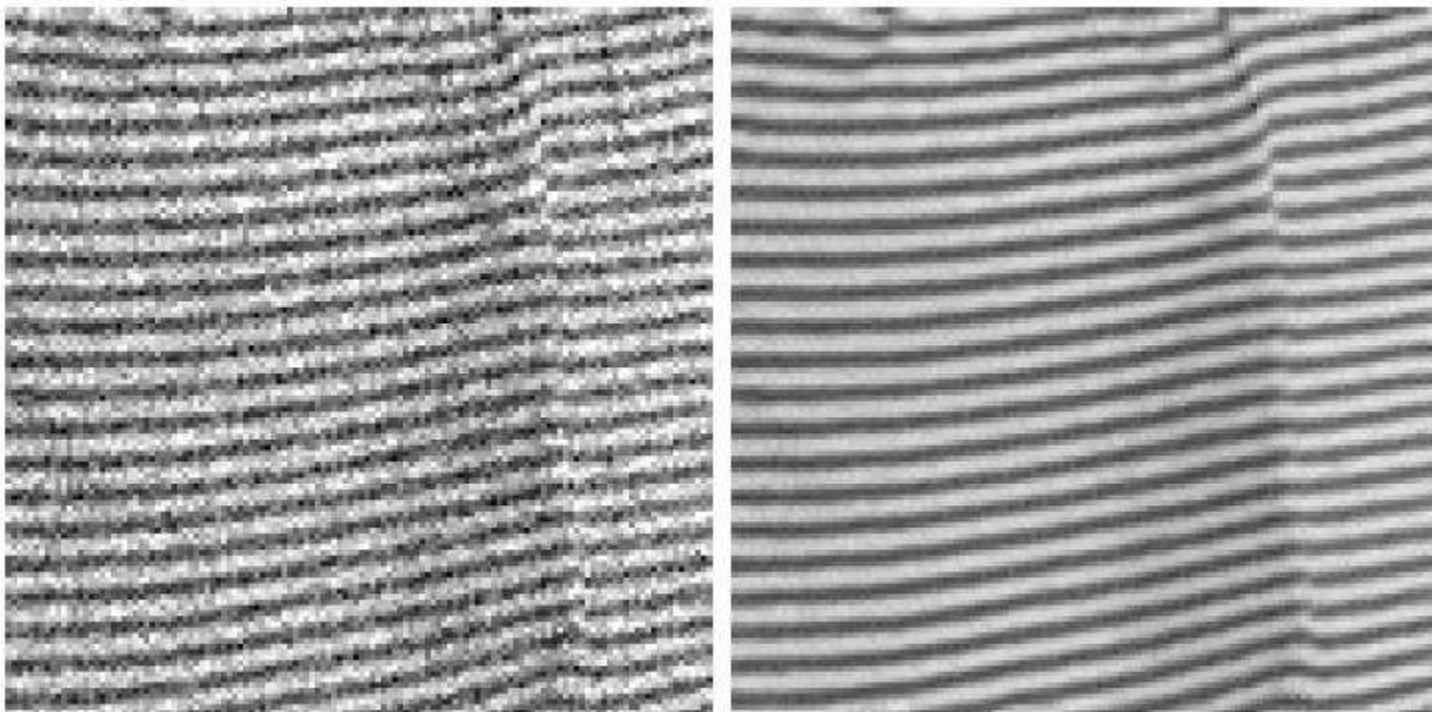
Algoritmo Non-Local Means

- Imagem natural com $\sigma = 20$.



Algoritmo Non-Local Means

Imagen quase periódica com $\sigma = 30$.



Resultados comparativos

Imagen ruidosa



Média local



Filtragem
Anisotrópica



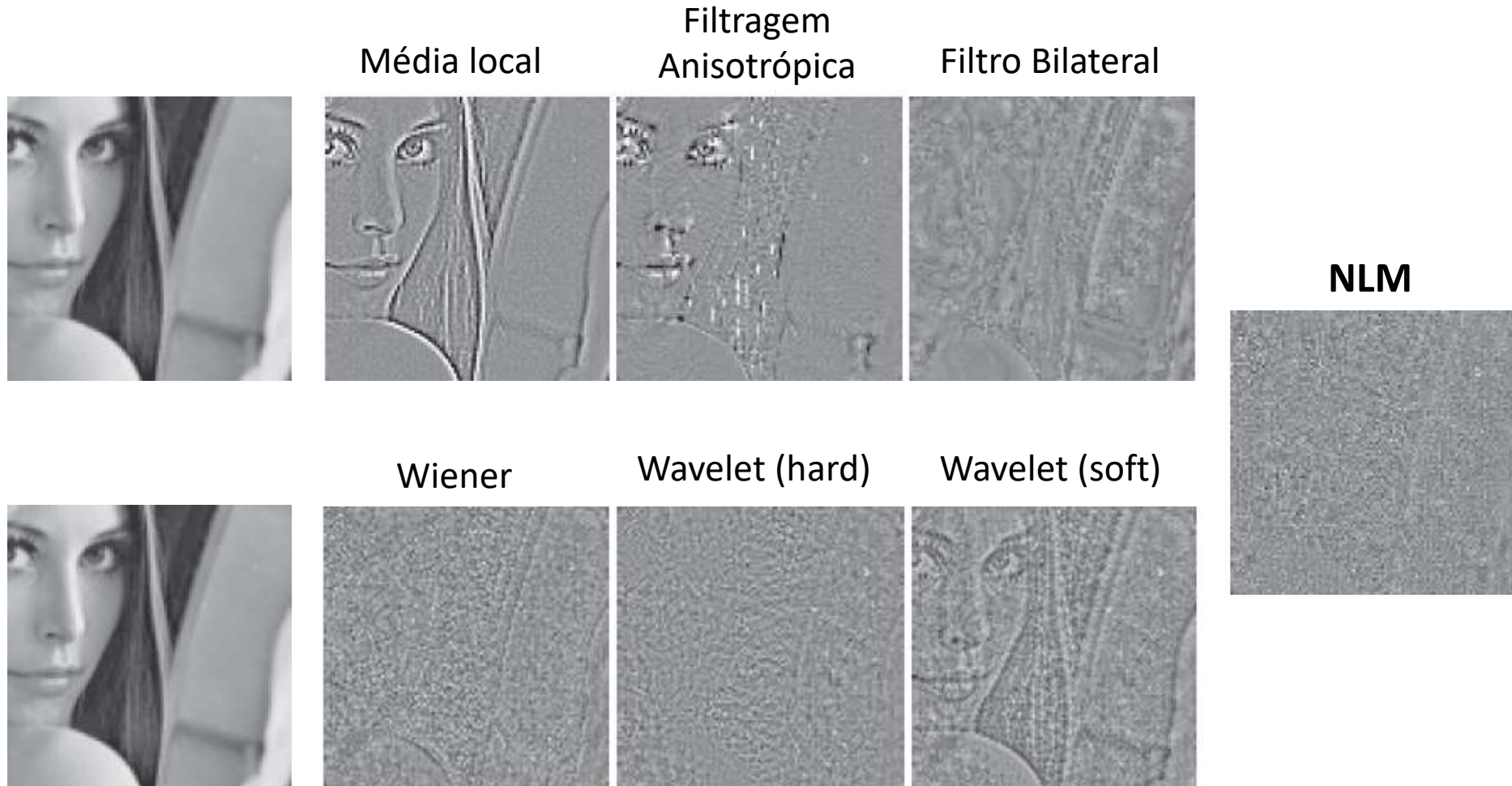
Total Variation



NLM



Resultados comparativos - resíduos



Block-Matching 3D – BM3D

≡ Google Scholar



Alessandro Foi

Professor of Signal Processing at Tampere University (formerly, Tampere University of Technology)

E-mail confirmado em tut.fi - [Página inicial](#)

Imaging Signal Processing Noise Denoising Applied Statistics

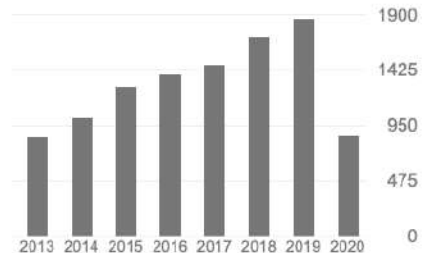
[SEGUIR](#)

Citado por

[VISUALIZAR TODOS](#)

[Todos](#) [Desde 2015](#)

Citações	12683	8548
Índice h	38	27
Índice i10	74	56



TÍTULO

CITADO POR

ANO

[Image denoising by sparse 3-D transform-domain collaborative filtering](#)

K Dabov, A Foi, V Katkovnik, K Egiazarian
IEEE Transactions on Image Processing 16 (8), 2080-2095

5777

2007

[Pointwise shape-adaptive DCT for high-quality denoising and deblocking of grayscale and color images](#)

A Foi, V Katkovnik, K Egiazarian
IEEE Transactions on Image Processing 16 (5), 1395-1411

632

2007

[Image denoising with block-matching and 3D filtering](#)

K Dabov, A Foi, V Katkovnik, K Egiazarian
Image Processing: Algorithms and Systems, Neural Networks, and Machine ...

541

2006

[Practical Poissonian-Gaussian noise modeling and fitting for single-image raw-data](#)

A Foi, M Trimeche, V Katkovnik, K Egiazarian
IEEE Transactions on Image Processing 17 (10), 1737-1754

521

2008

[A Nonlocal Transform-Domain Filter for Volumetric Data Denoising and Reconstruction](#)

M Maggioni, V Katkovnik, K Egiazarian, A Foi
IEEE Transactions on Image Processing 22 (1), 1057-7149

452

2013

[BM3D image denoising with shape-adaptive principal component analysis](#)

K Dabov, A Foi, V Katkovnik, K Egiazarian
SPARS '09 - Signal Processing with Adaptive Sparse Structured ...

435

2009

[From local kernel to nonlocal multiple-model image denoising](#)

V Katkovnik, A Foi, K Egiazarian, J Astola
International Journal of Computer Vision 86 (1), 1-32

426

2010

Coautores

[VISUALIZAR TODOS](#)



Karen Egiazarian (Equiazarian)
Professor, Signal Processing La...



Giacomo Boracchi
Associate Professor, Politecnico ...



Matteo Maggioni
Imperial College London



Markku Mäkitalo
Tampere University



Aram Danielyan
Tampere University of Technology

Algoritmo NLM

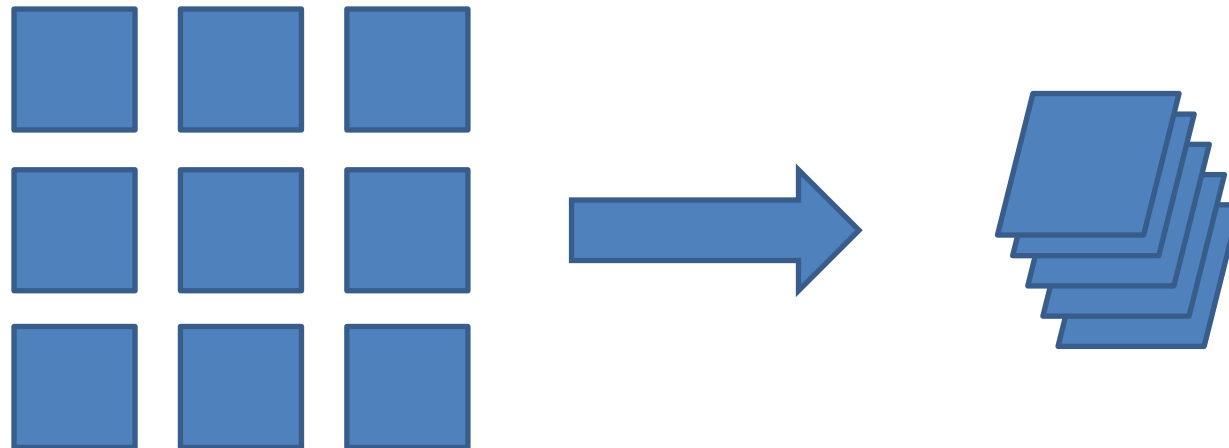
- Limitações:
 - Compara *patches* ruidosos.
 - **Intuitivamente:** Quanto maior a janela de busca, melhor serão os resultados.
 - **Na prática:** Introduz um número maior de amostras não similares com peso não zero na estimativa (SALMON, 2010).
 - Resultados tendem a ser inferiores para conteúdo “menos redundante”.

Block Match 3-D

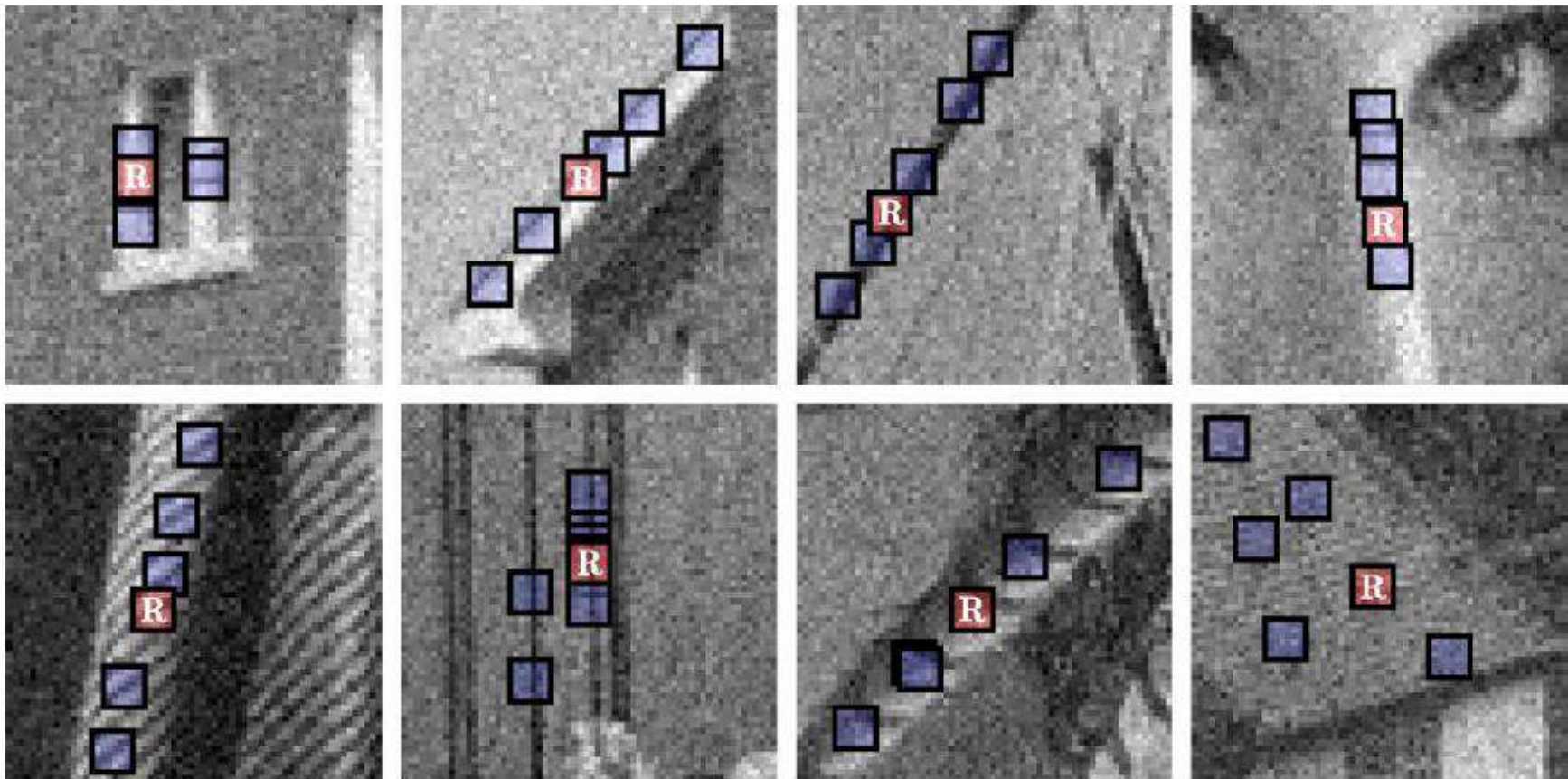
- Proposto por (DABOV et al., 2007).
 - Também explora a redundância inerente de imagens naturais e nos conceitos fundamentais do algoritmo NLM.
 - Se difere por também explorar a esparsidade e a filtragem colaborativa do sinal.
 - É atualmente conhecido como um algoritmo de estado-da-arte.

Block Match 3-D

- **Ideia básica:** Agrupar fragmentos 2-D similares (blocos) em um *array* 3-D (grupo ou pilha).
 - Agrupar fragmentos de um sinal d -dimensional em uma estrutura de dados $d + 1$ -dimensional.
 - Quando os blocos possuem mesmo tamanho e formato, o grupo é conhecido como um cilindro generalizado.



Block-Matching 3D – BM3D



Block-Matching 3D – BM3D



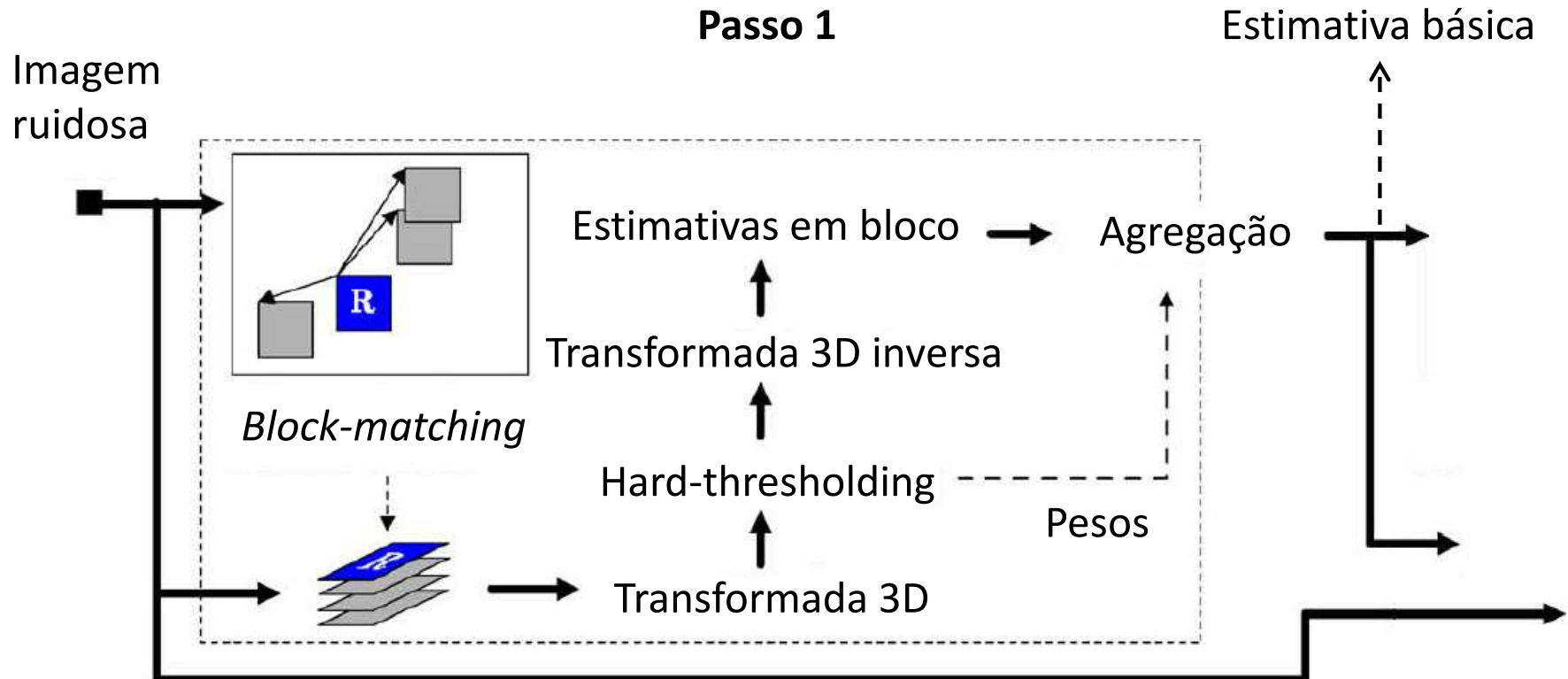
#1 – Filtragem
Wavelet
(Hard-thresholding)



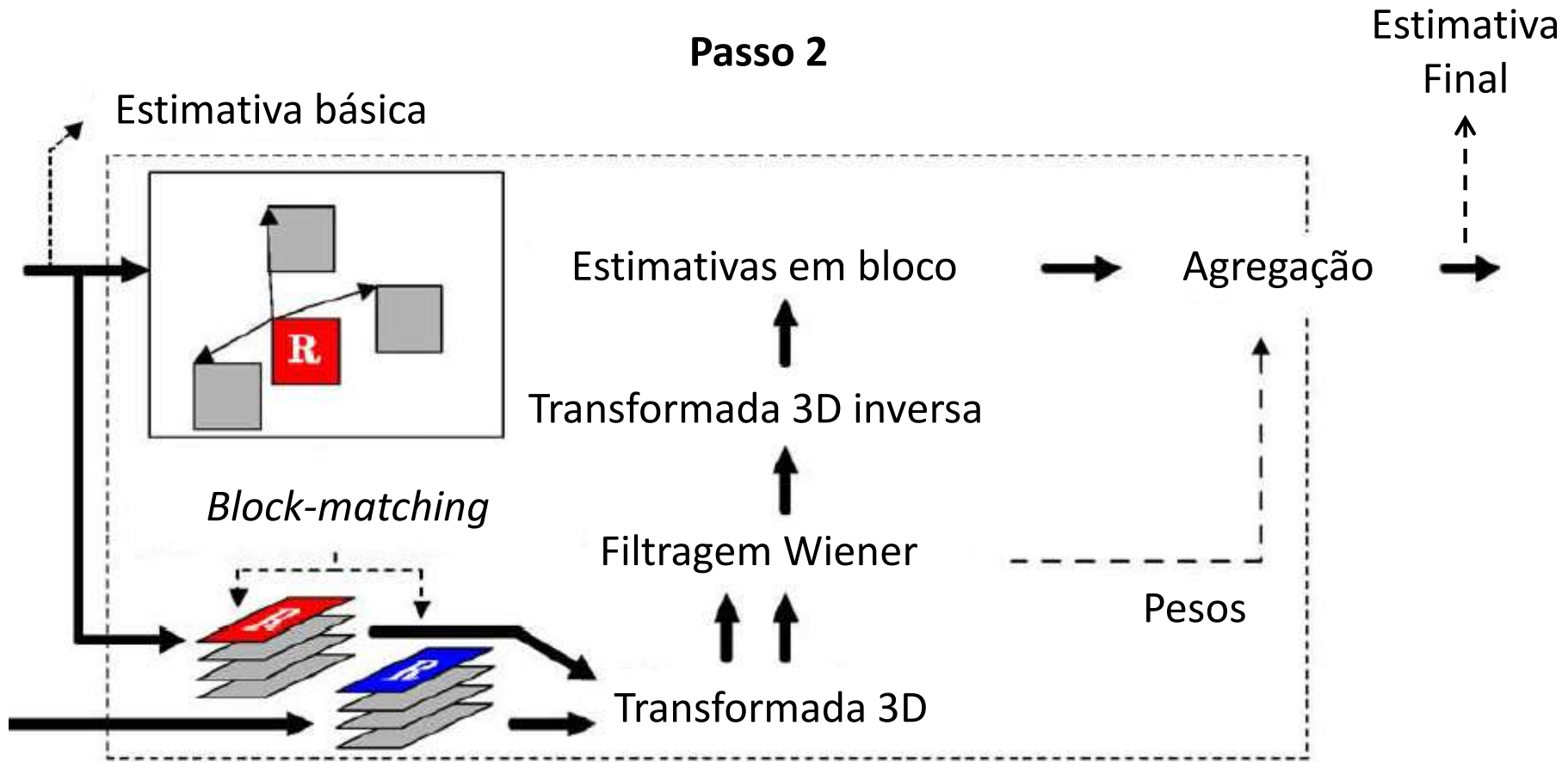
#2 – Filtragem
Wiener



Block-Matching 3D – BM3D



Block-Matching 3D – BM3D



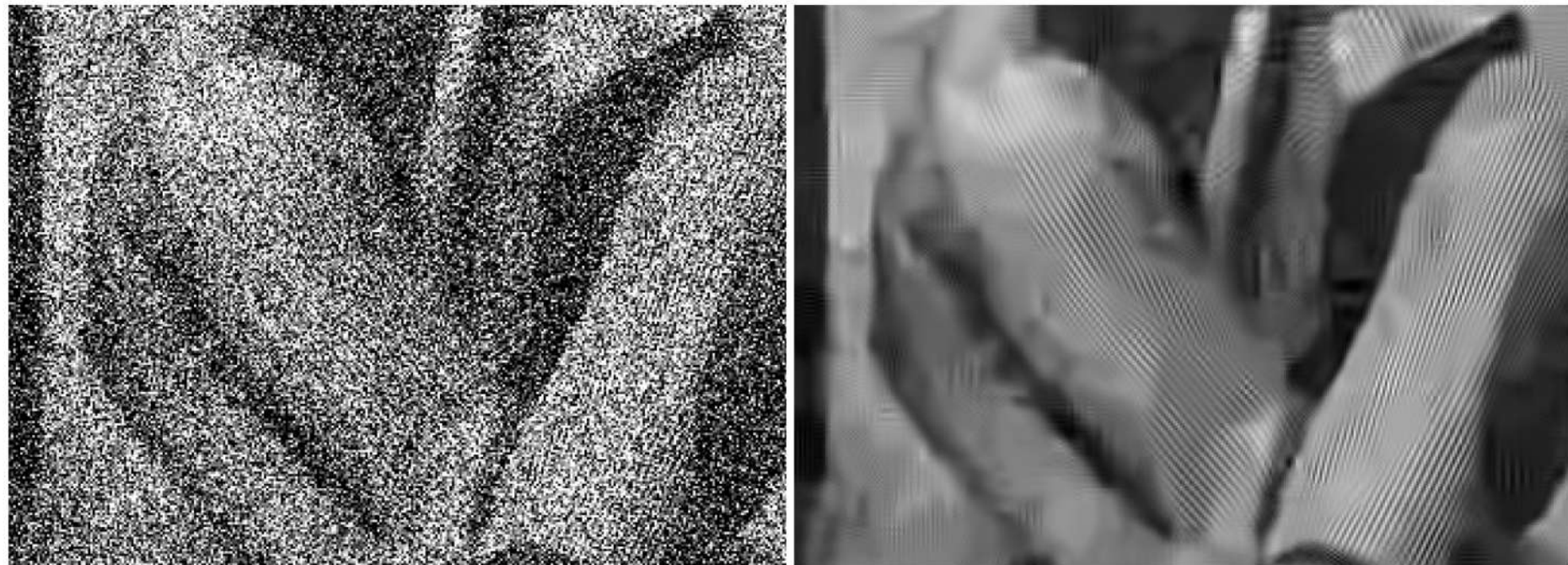
Block-Matching 3D – BM3D



Block-Matching 3D – BM3D

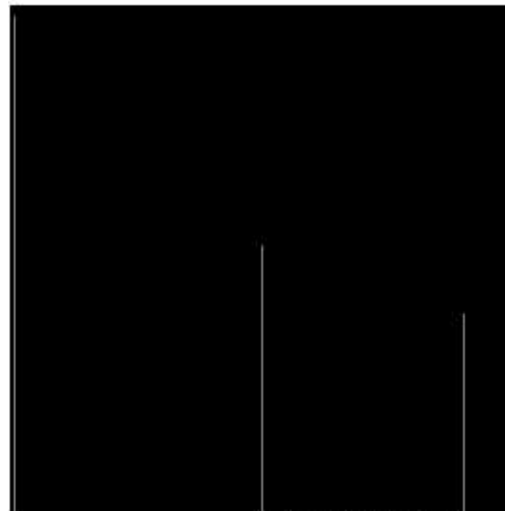
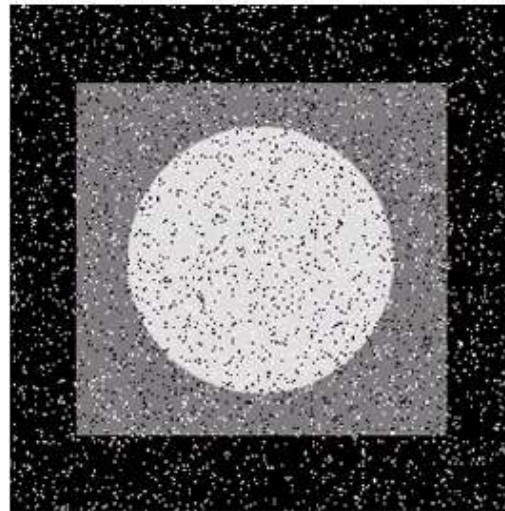


Block-Matching 3D – BM3D



**Ruído impulsivo
("sal e pimenta")**

Ruído impulsivo



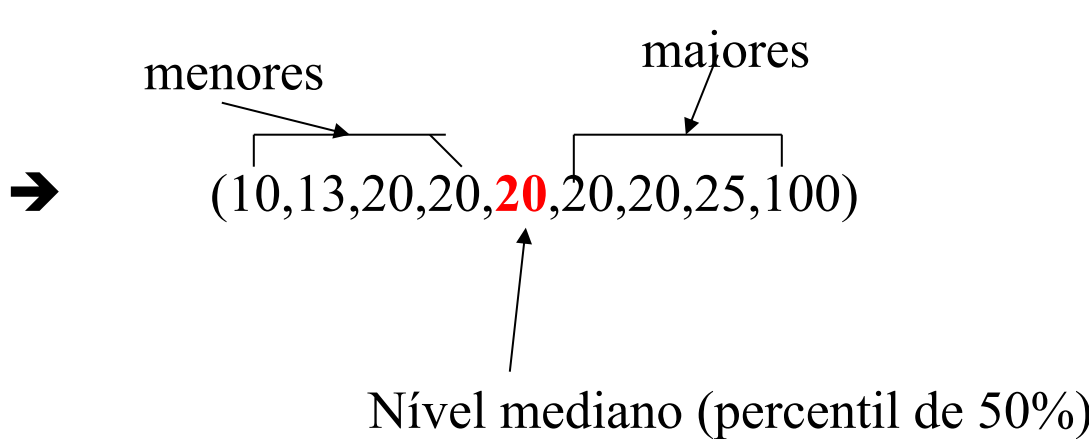
Salt & Pepper

Filtro da Mediana

- ❑ Substitui o nível de cinza de cada pixel pelo nível de cinza mediano em uma vizinhança do pixel.
- ❑ O nível mediano de um conjunto de valores é tal que exista metade dos valores menores e metade dos valores maiores.

Exemplo:

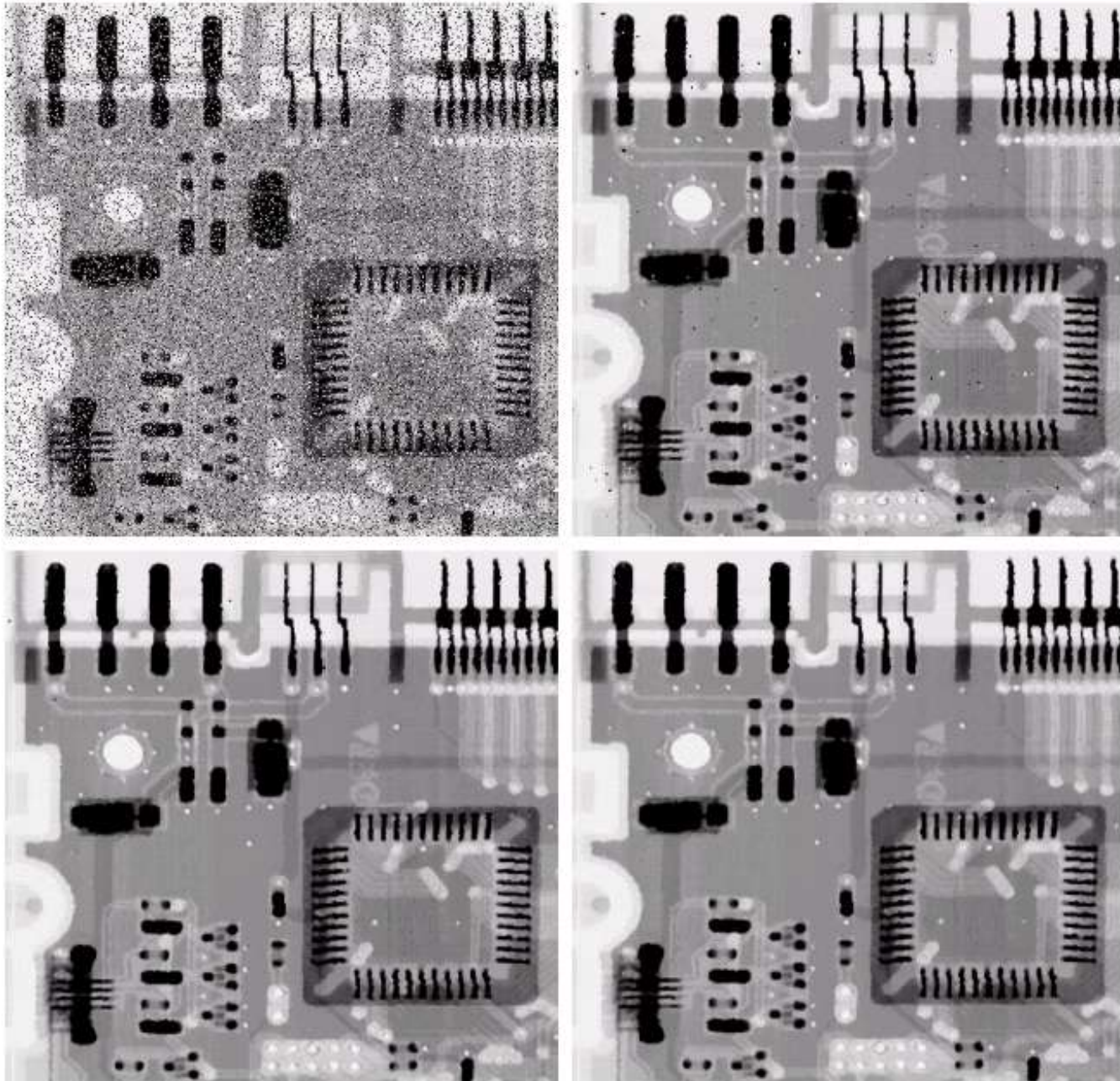
10	20	20
20	13	20
20	25	100



a b
c d

FIGURE 5.10

- (a) Image corrupted by salt-and-pepper noise with probabilities $P_a = P_b = 0.1$.
(b) Result of one pass with a median filter of size 3×3 .
(c) Result of processing (b) with this filter.
(d) Result of processing (c) with the same filter.
-



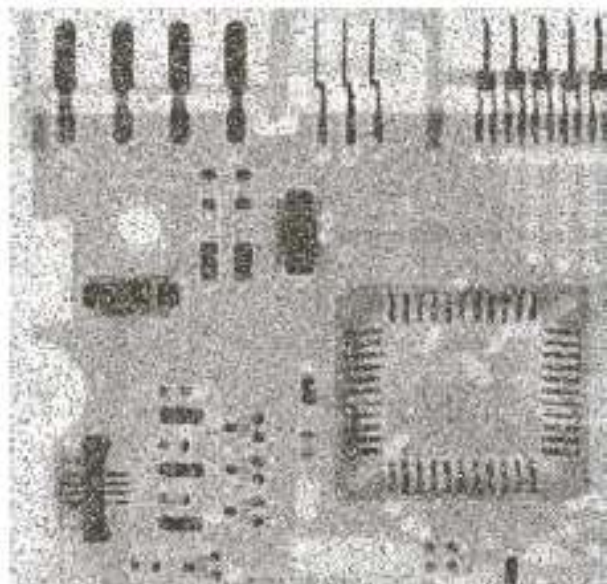
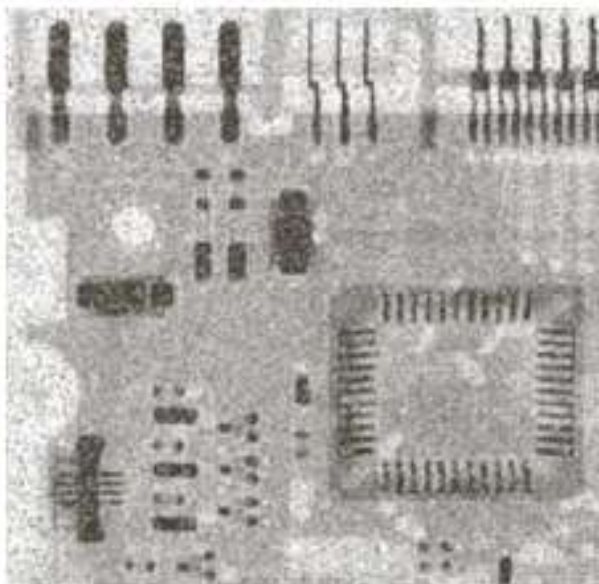
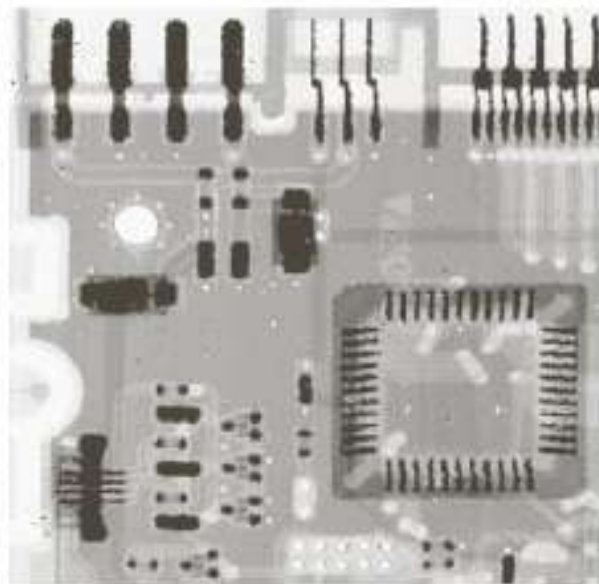


Imagen com ruído
“sal e pimenta”



Média da Vizinhança 3×3



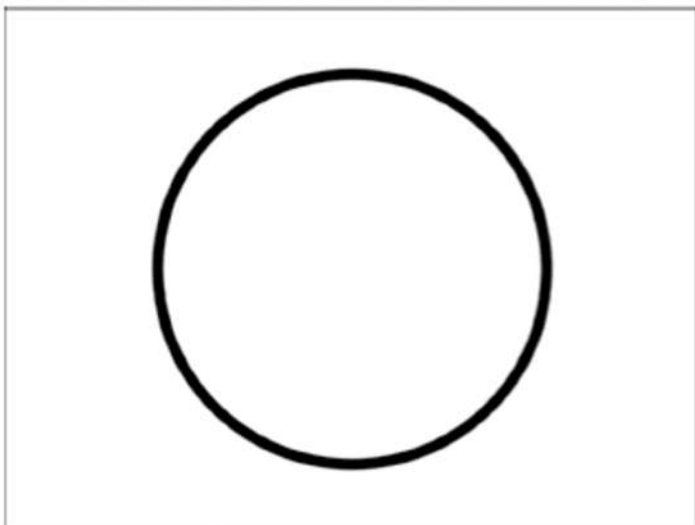
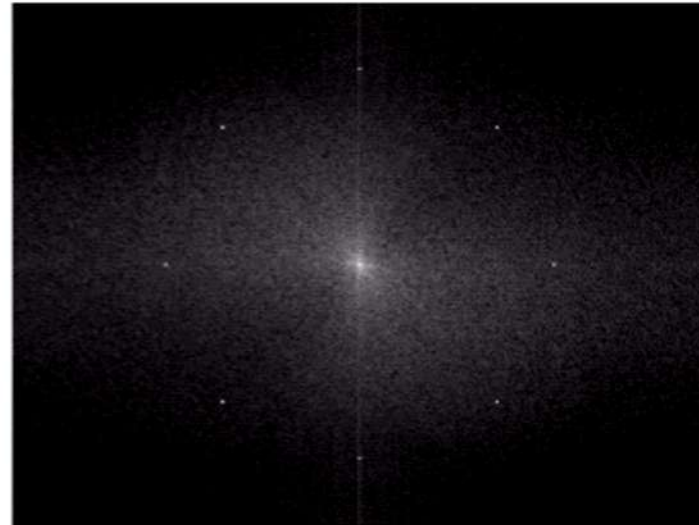
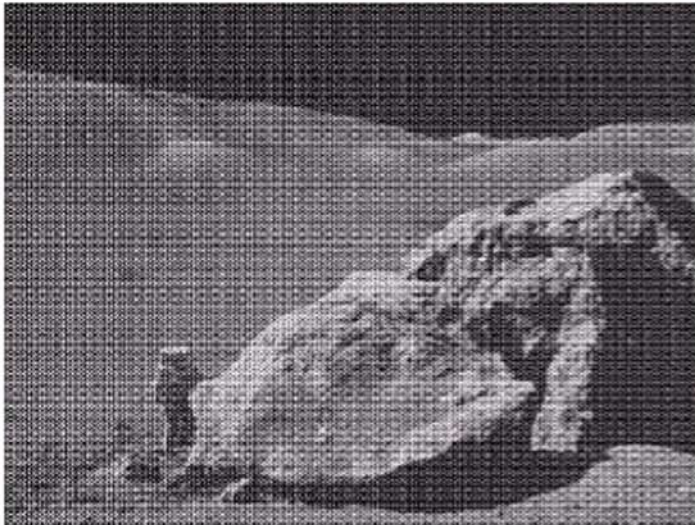
Filtragem Mediana 3×3

Ruído periódico

Ruído periódico

- Causado por interferências eletromagnéticas ou mecânicas
- Ruído sistemático: não aleatório
- Remover ruído periódico - filtros no domínio da frequência:
 - Rejeita Banda
 - Notch

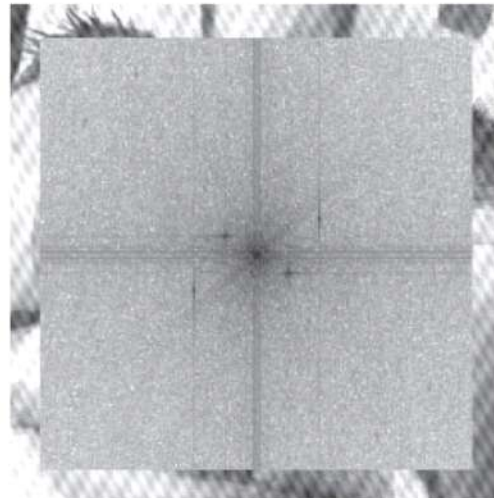
Filtro Rejeita-Banda Ideal



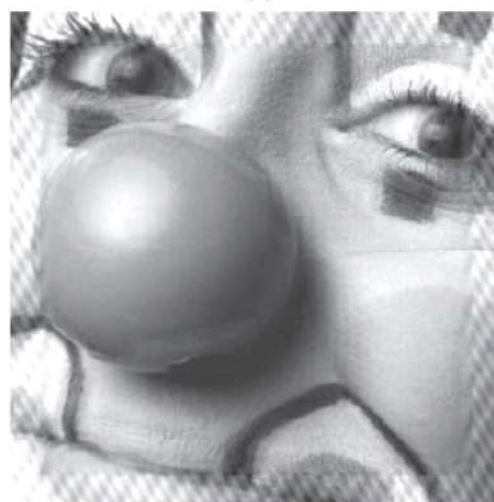
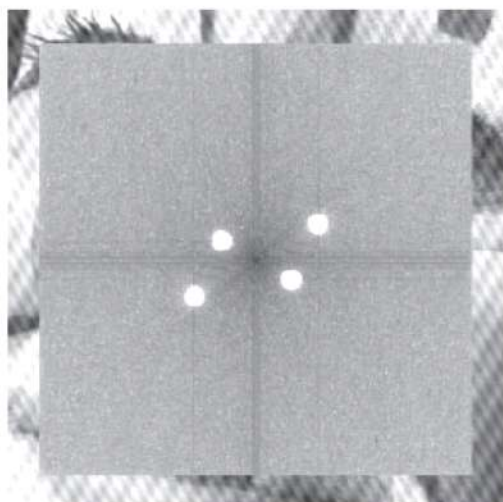
Filtros Notch Reject



(a)

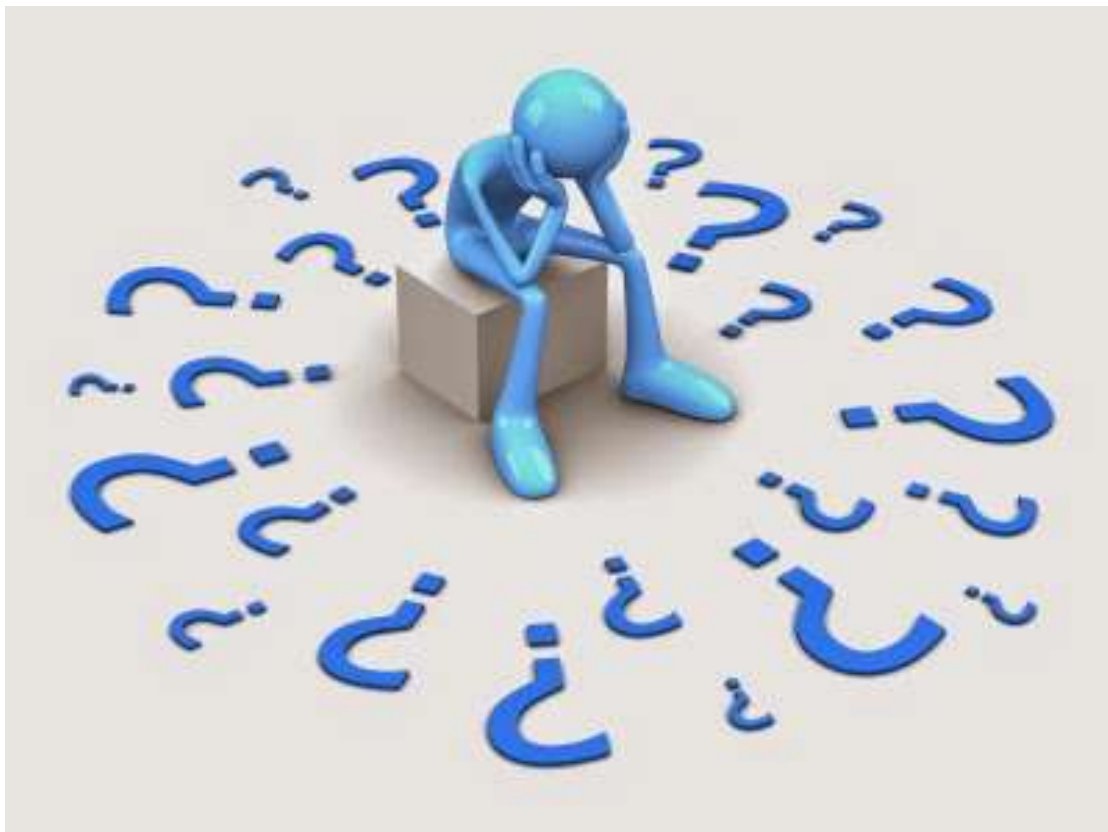


(b)

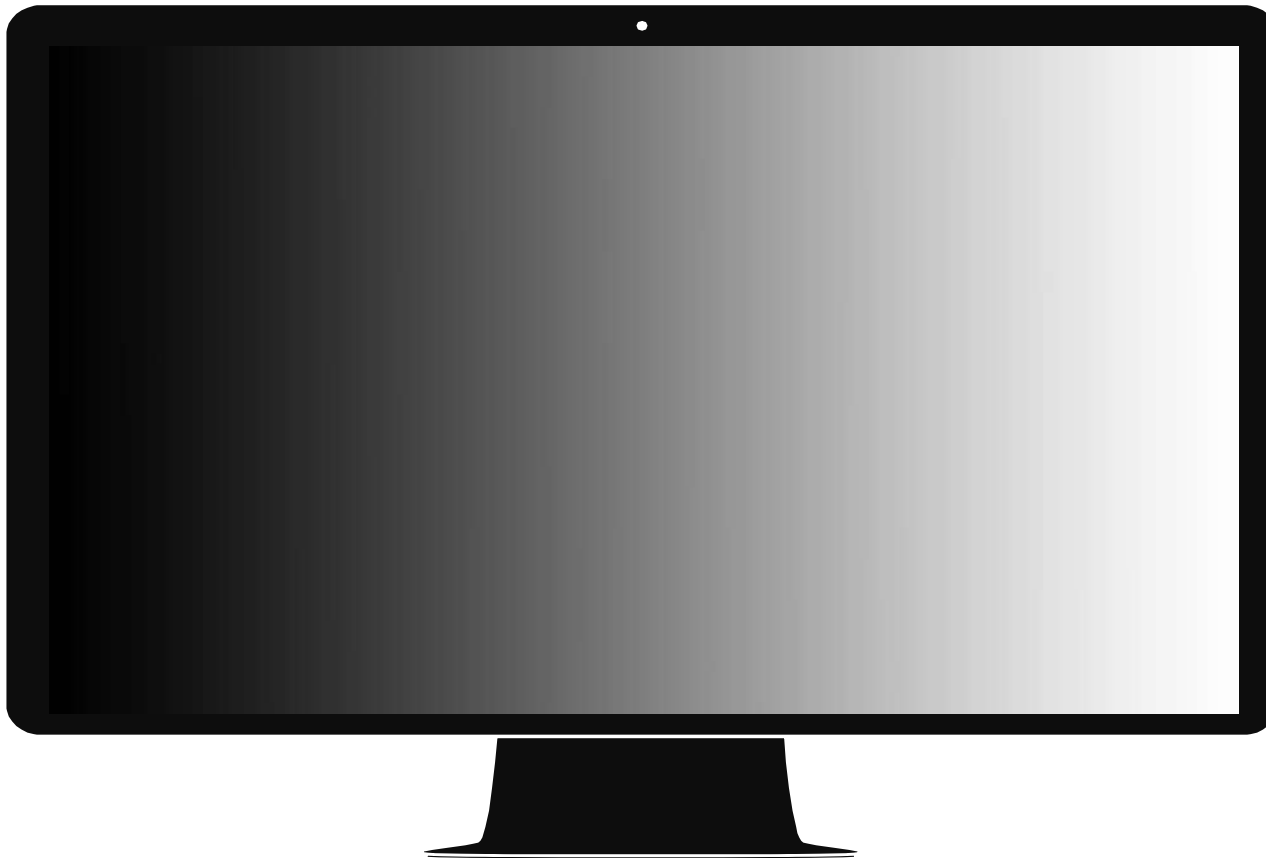


Ruído quântico

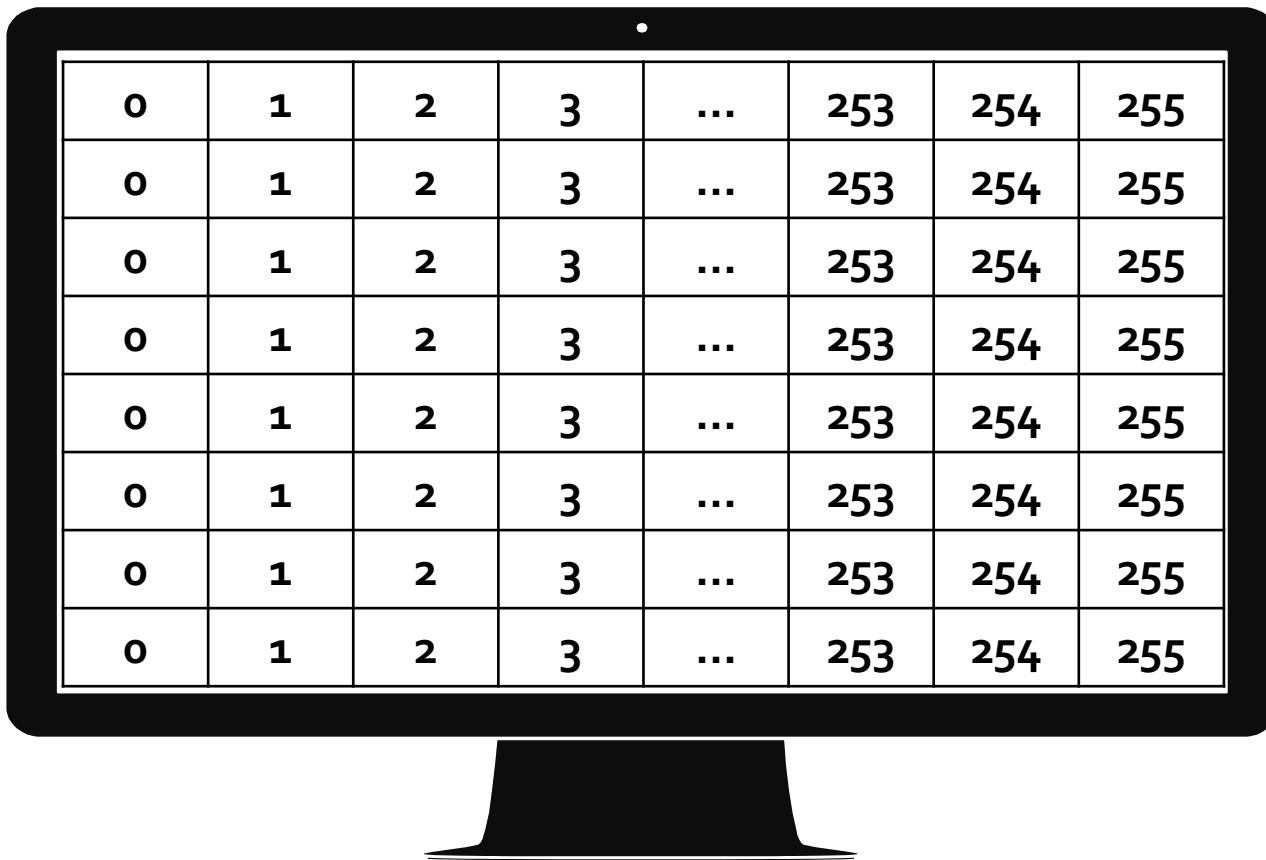
O que é o ruído quântico?



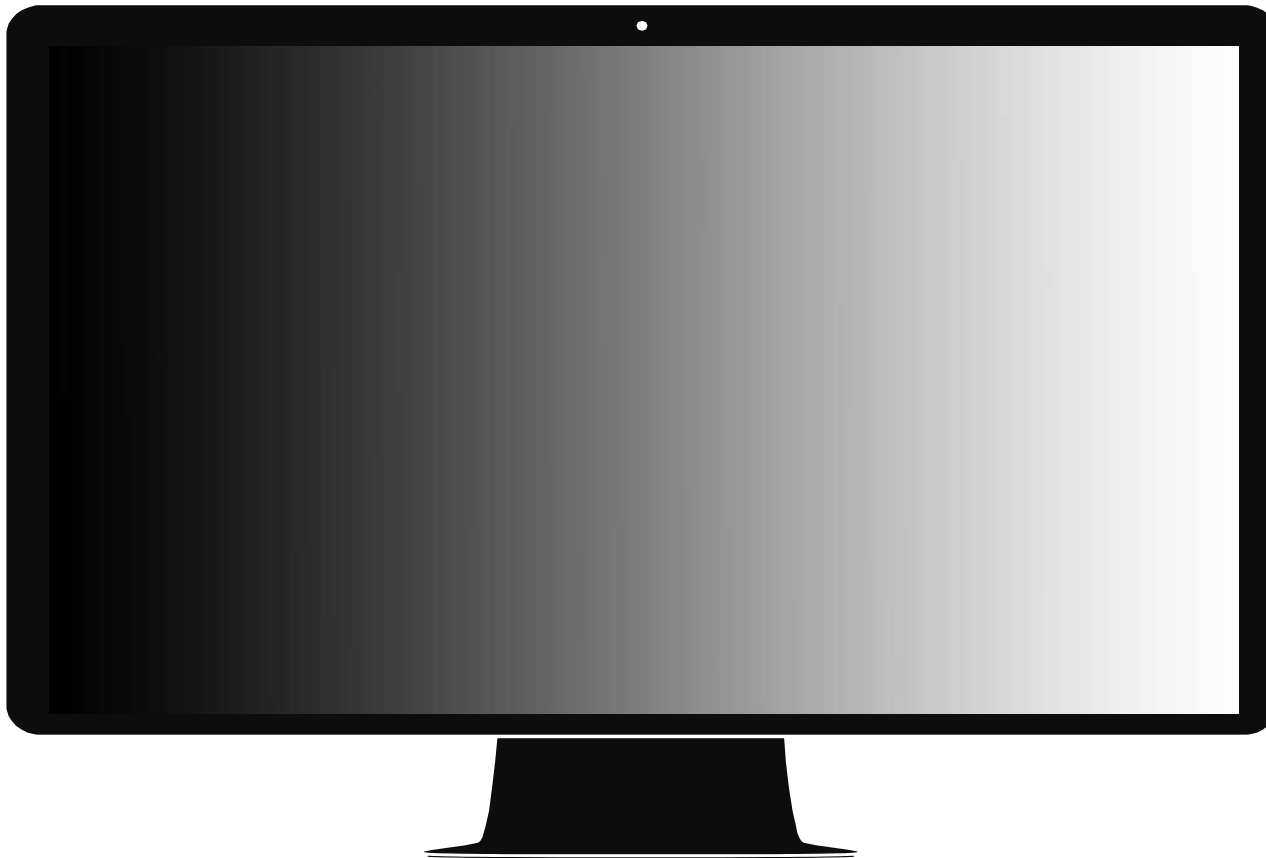
**Considere uma imagem digital feita
em computador (sintética)**



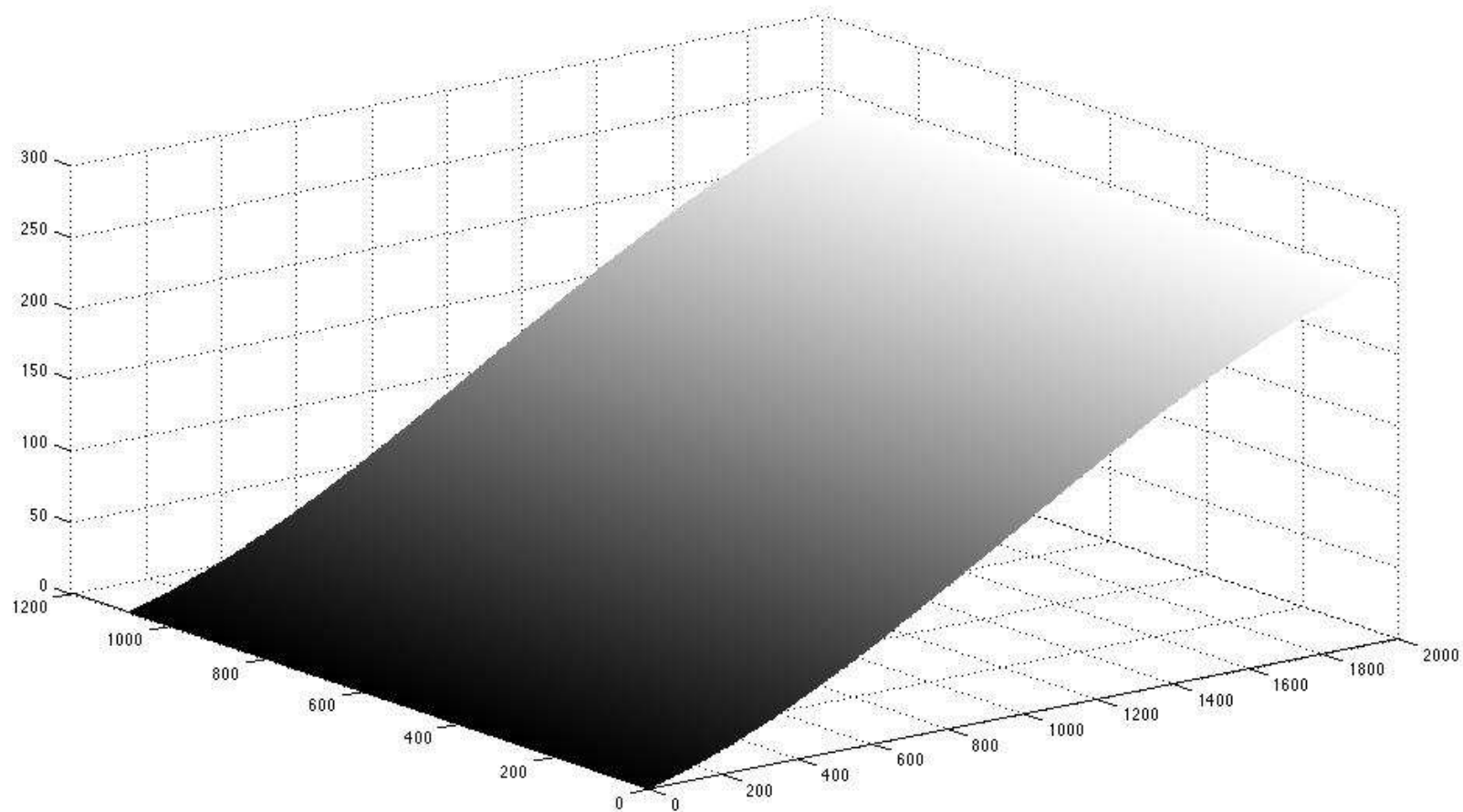
Considere uma imagem digital feita em computador (sintética)



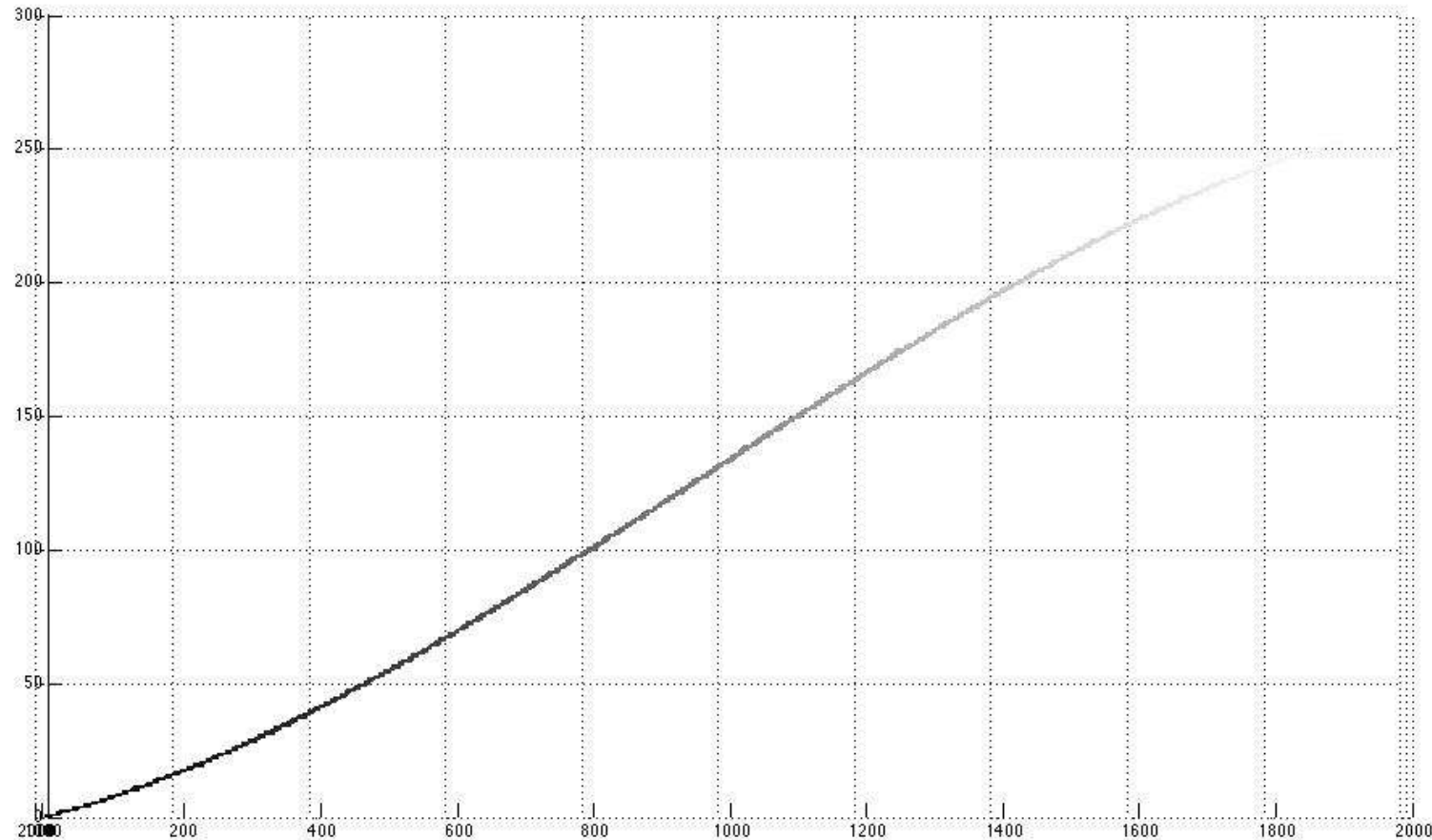
**Considere uma imagem digital feita
em computador (sintética)**



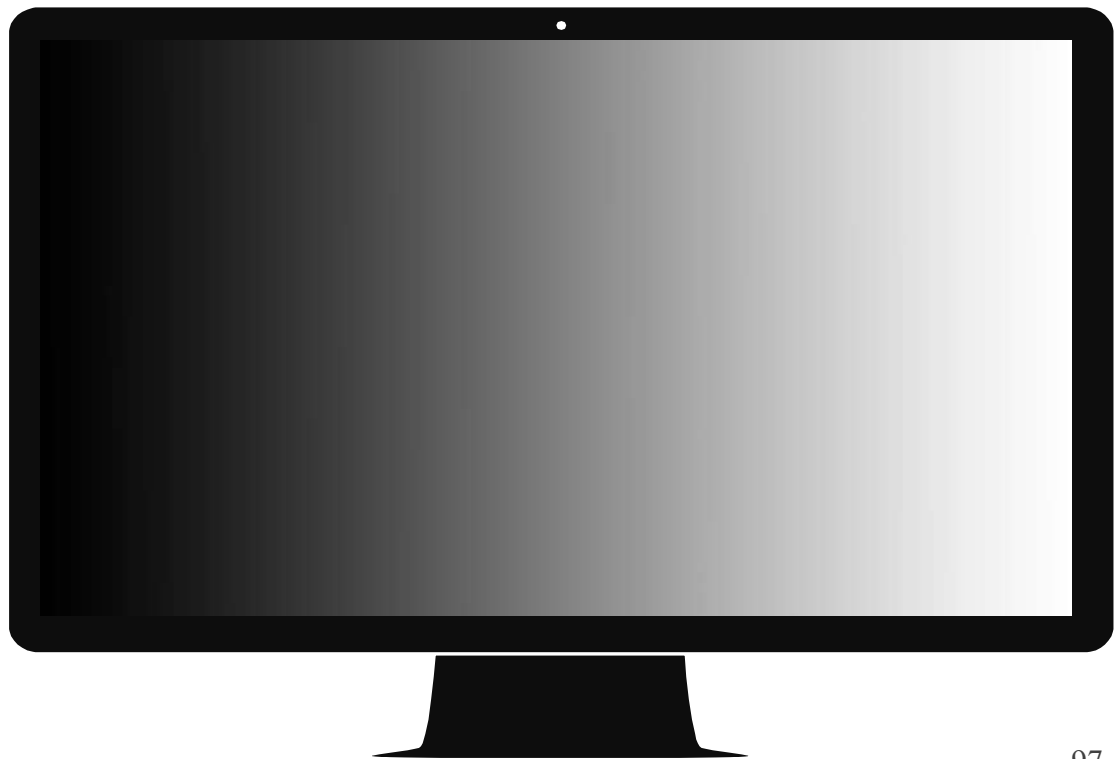
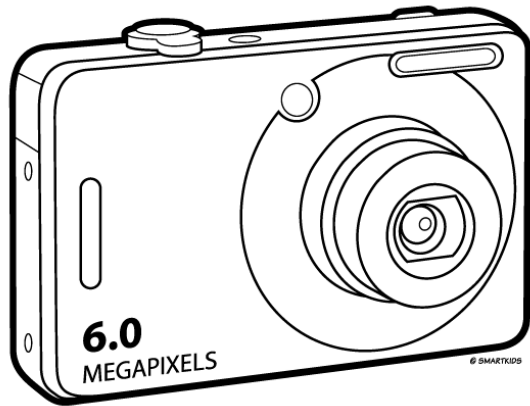
Superfície da imagem digital



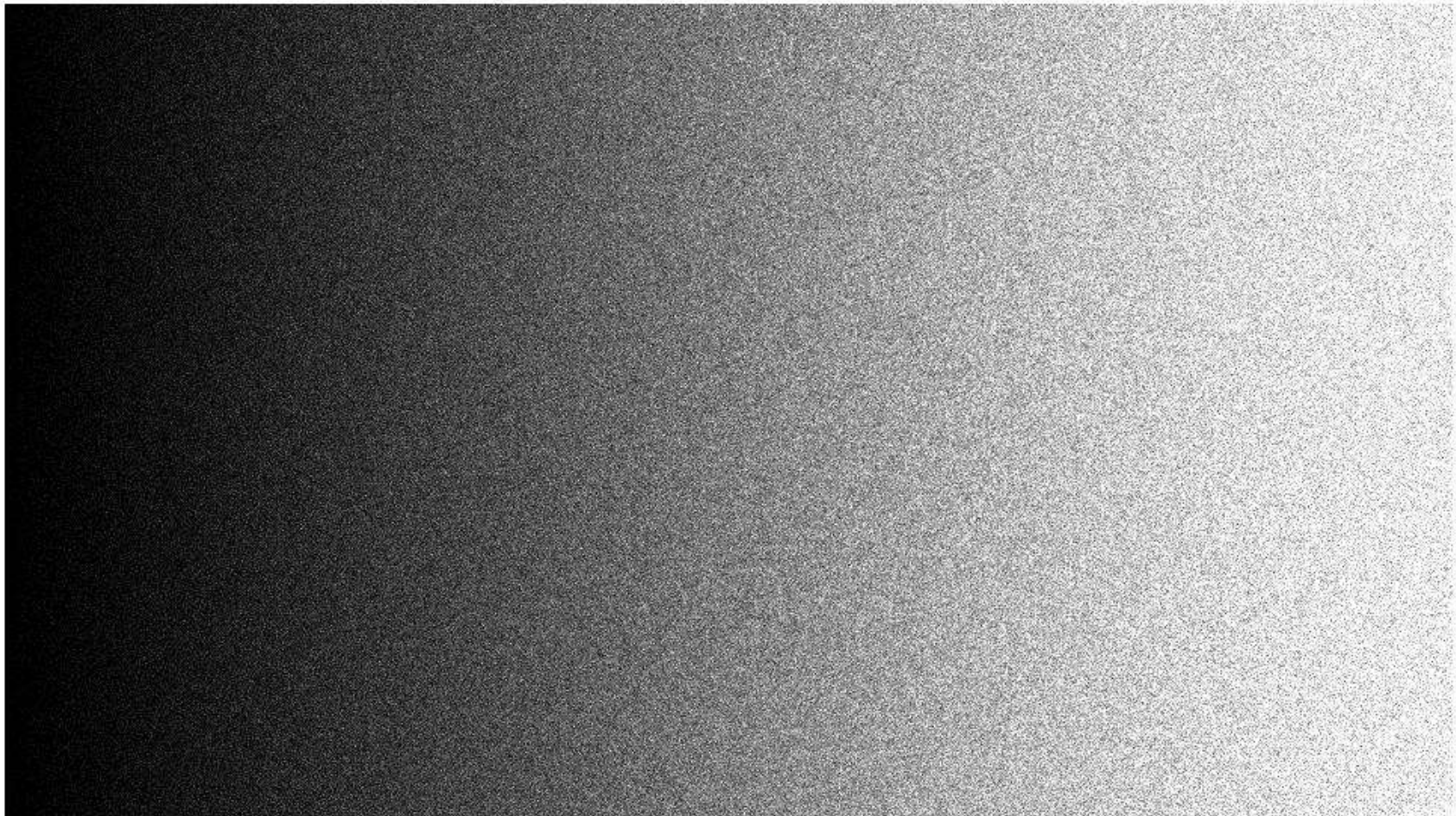
Rampa



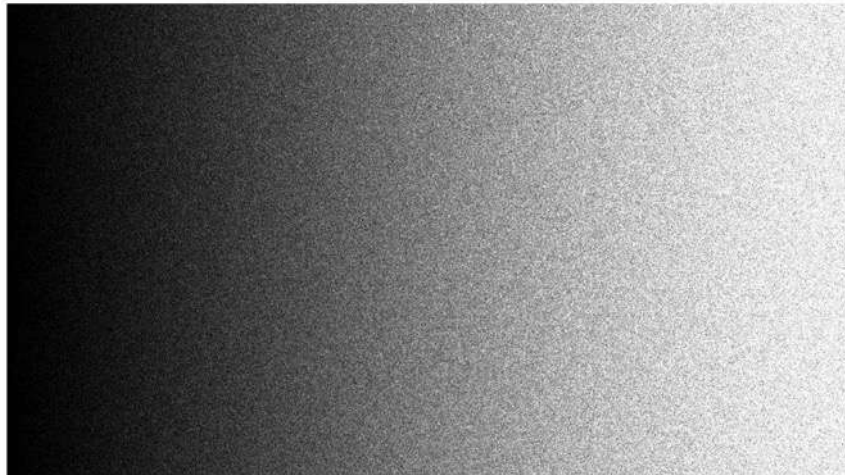
Como é o ruído dessa fotografia?



Fotografia



Subtração

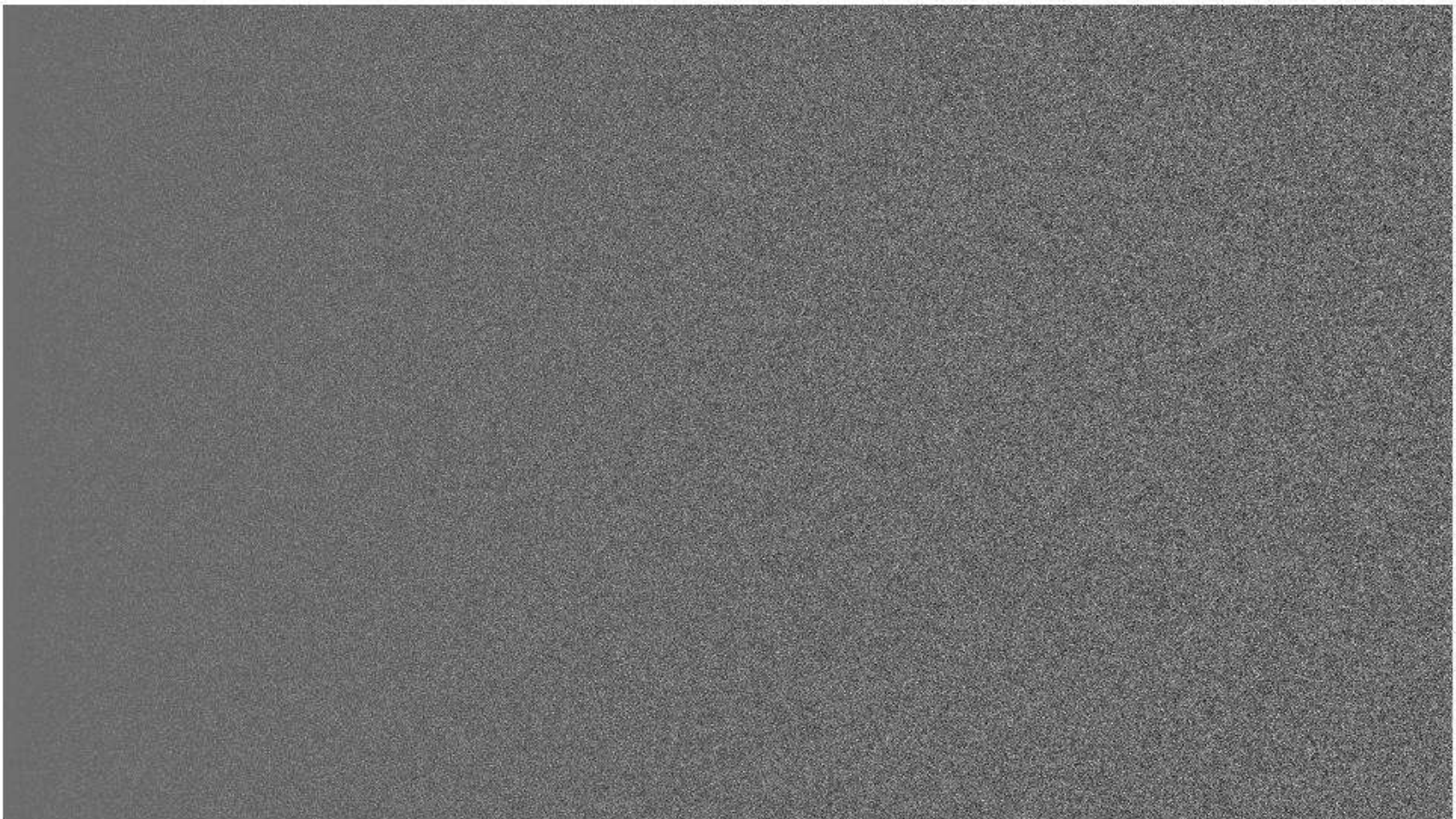


Fotografia

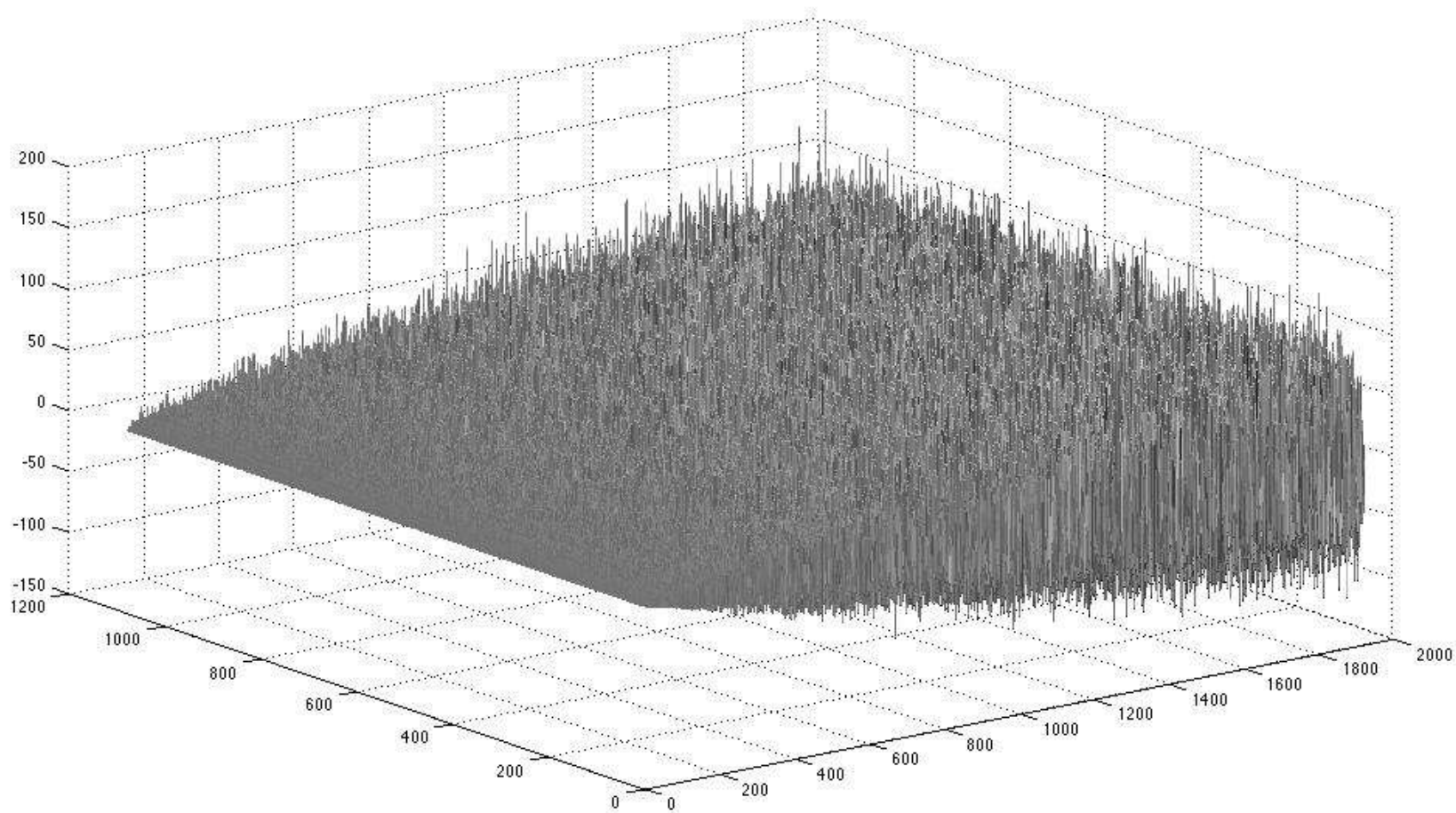


Imagen Sintética

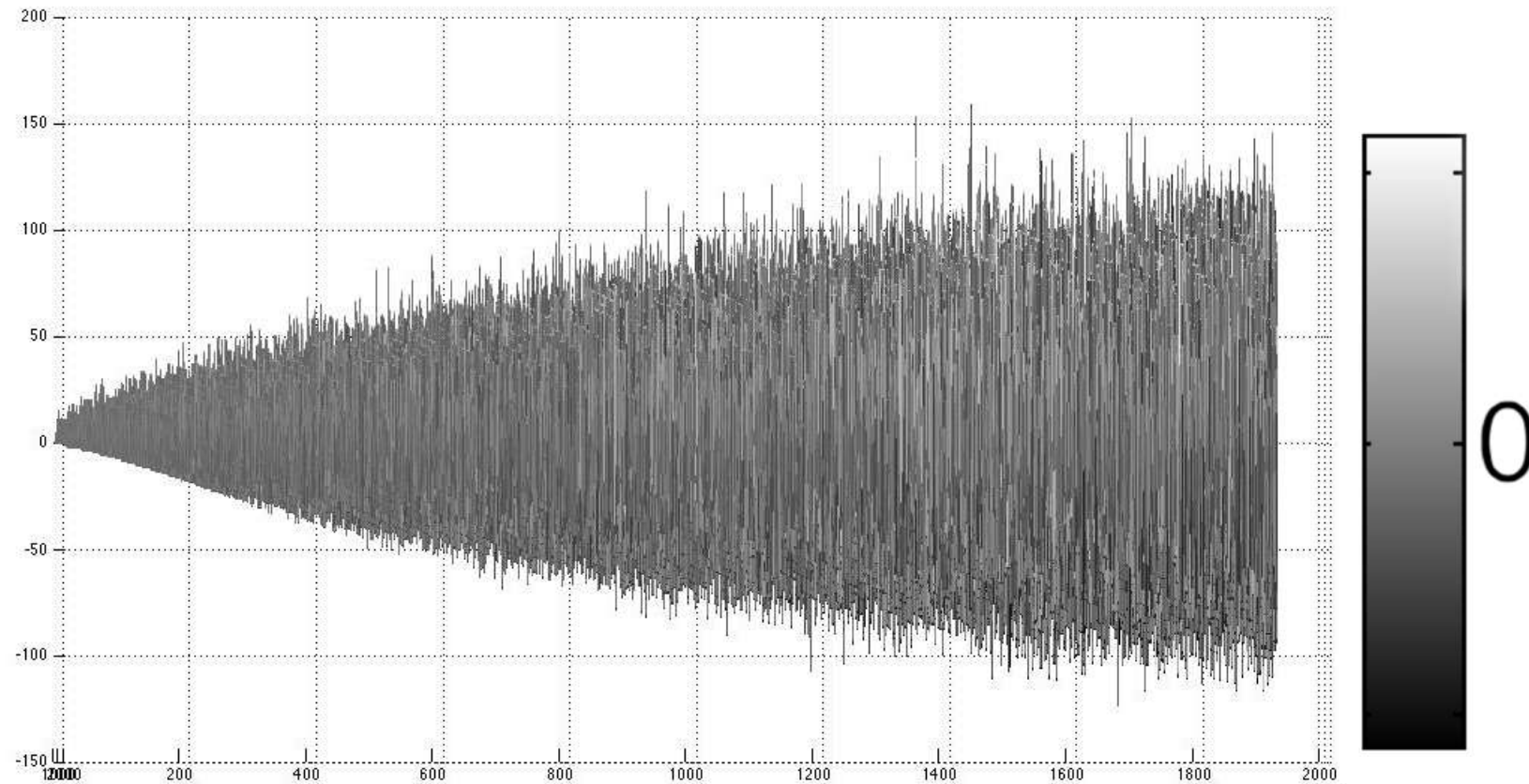
Ruído



Ruído

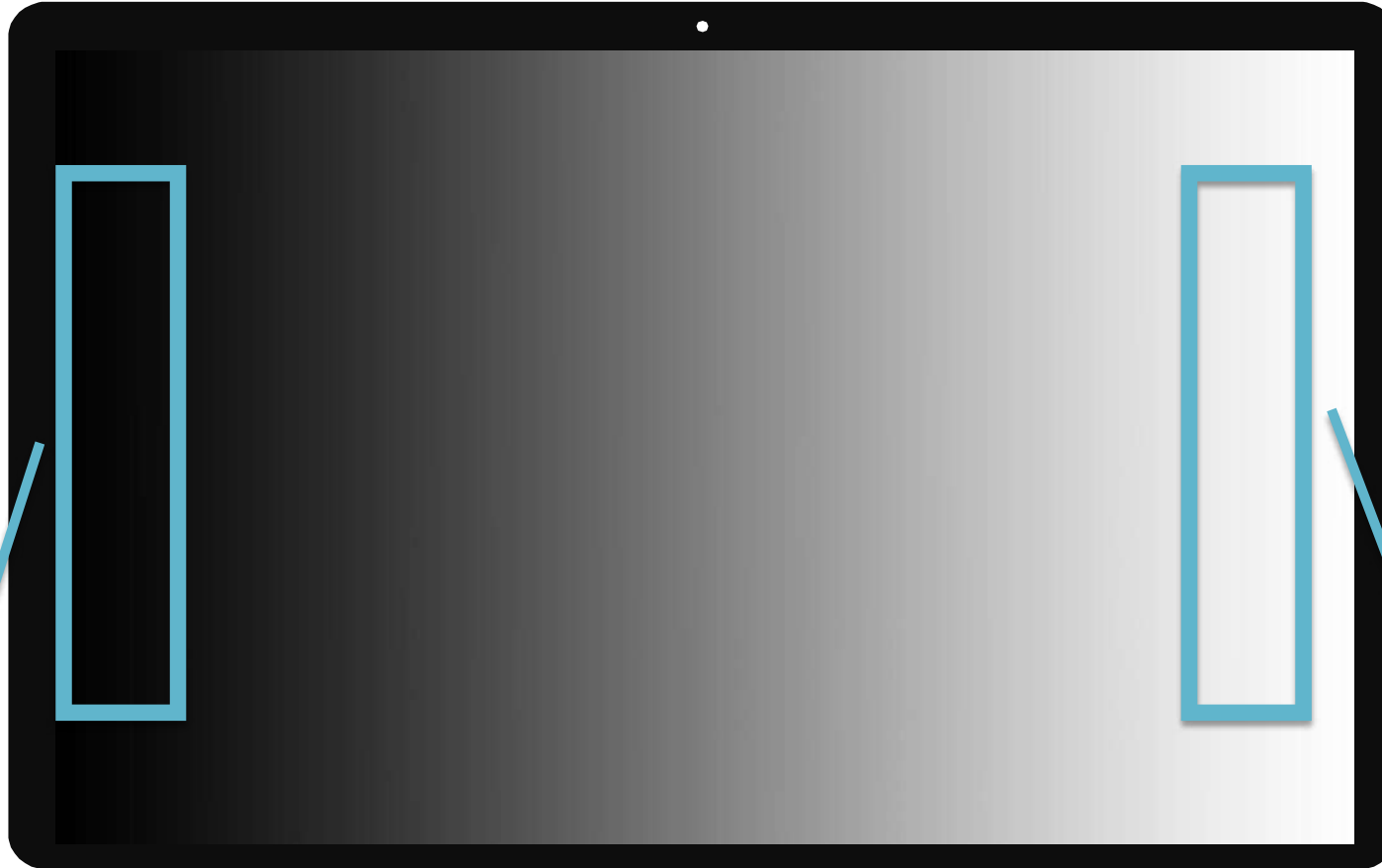


Ruído quântico



Dependente do sinal!

Dependência do Sinal



- Mais escura
- Menos luz
- Menos fótons emitidos

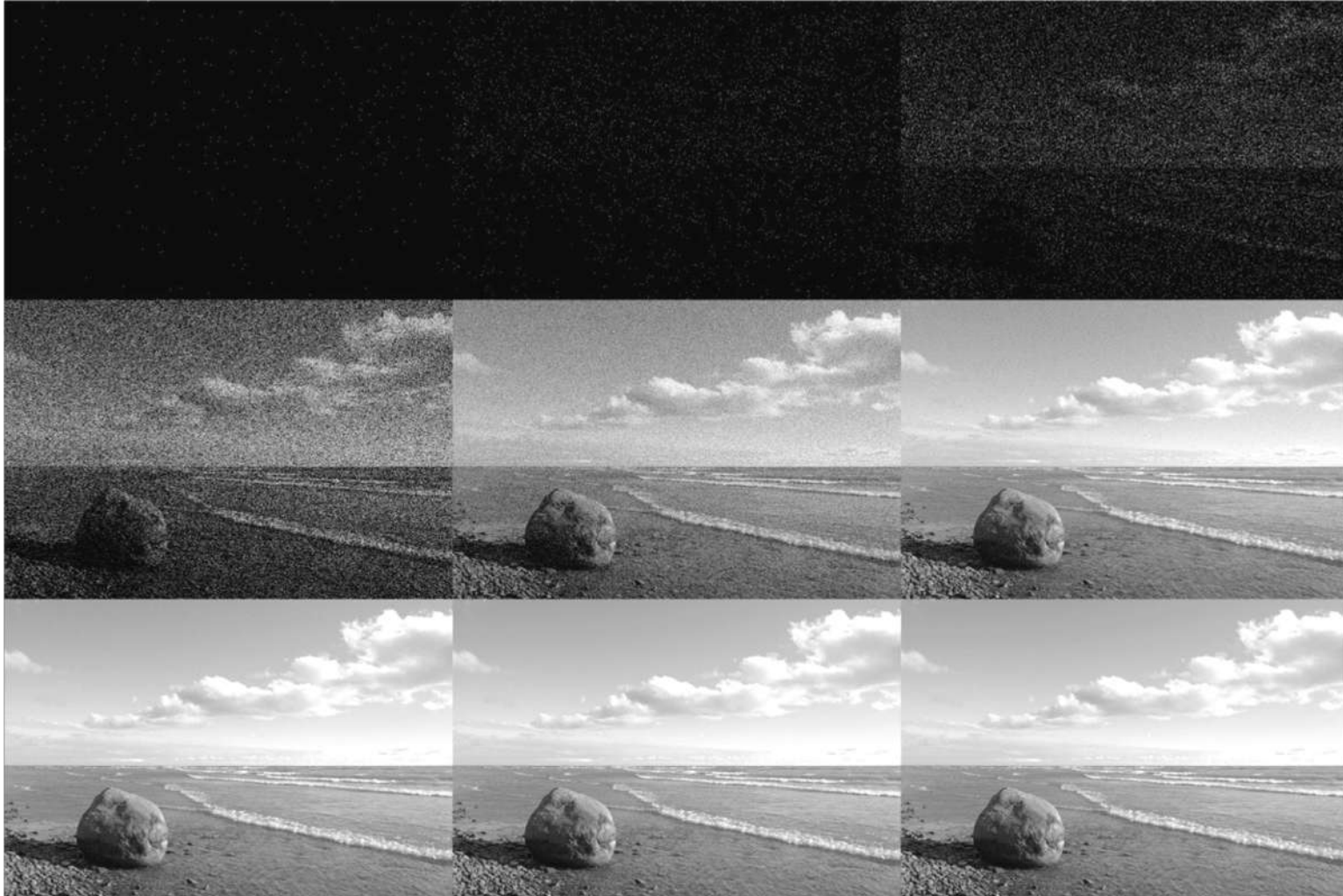


- Mais clara
- Mais luz
- Mais fótons emitidos

Características do ruído quântico

- Natureza quântica da luz;
- Segue a distribuição de Poisson;
- Percebido quando há baixa contagem de fótons de luz na aquisição da imagem;
- Chamado de “quantum mottle” ou “shot noise”;
- Muito comum em imagens médicas;
- Aleatório;
- Dependente do sinal (variância do ruído = média do sinal);
- Pode ser branco;
- Mais difícil de ser tratado.

Ruído Quântico



Ruído Quântico



Ruído Quântico



Ruído Quântico



Distribuição de Poisson

- Distribuição de Poisson é uma distribuição de probabilidade aleatória discreta que expressa a probabilidade de um número de eventos ocorrer durante um intervalo contínuo (tempo, espaço, etc.)

$$f(x) = P(X = x) = \frac{e^{-\lambda} \times \lambda^x}{x!}, \quad x = 0, 1, 2, \dots \text{ e } \lambda > 0.$$

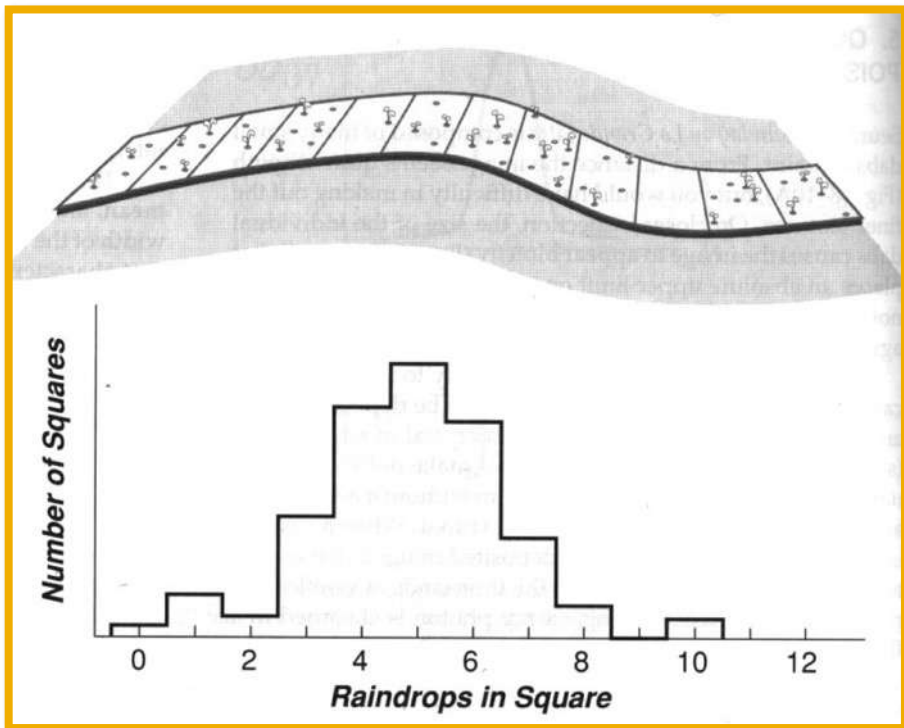
Esperança: $\mu(x) = \lambda$

Variância: $\sigma^2(x) = \lambda$

λ = frequência média de eventos no intervalo

- Processo de aquisição de imagens: valor do pixel é proporcional ao número de fótons que chegam no detector;
- O ruído quântico depende do valor do pixel na imagem.

Distribuição de Poisson



$$\text{Média: } \mu = N$$

$$\text{Variância: } \sigma^2 = N$$

$$\text{Desvio Padrão: } \sigma = \sqrt{N}$$

Distribuição de Poisson

Variação relativa (ruído)

$$\frac{\sqrt{N}}{N} = \frac{1}{\sqrt{N}}$$

O ruído relativo diminui com o aumento do número de fótons.

Média do sinal (N)	Desvio Padrão (\sqrt{N})	Ruído relativo
10	3,16	31,6%
100	10	10,0%
1000	31,62	3,16%
10000	100	1,00%

Distribuição de Poisson

Relação sinal-ruído (SNR)

$$SNR = \frac{N}{\sqrt{N}} = \sqrt{N}$$

A relação sinal-ruído aumenta com o aumento do número de fótons.

Média do sinal (N)	Desvio Padrão (\sqrt{N})	Ruído relativo
10	3,16	31,6%
100	10	10,0%
1000	31,62	3,16%
10000	100	1,00%

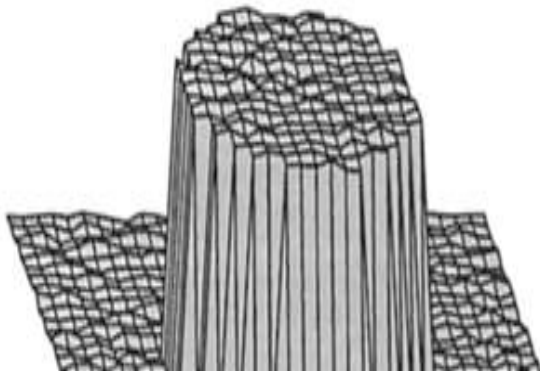
Imagens Médicas

Raios X

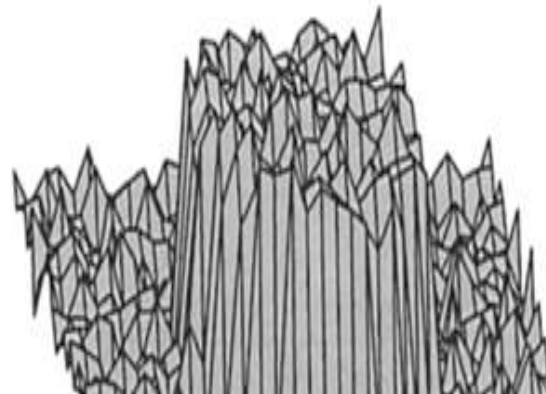


© picture-alliance/prisma archive

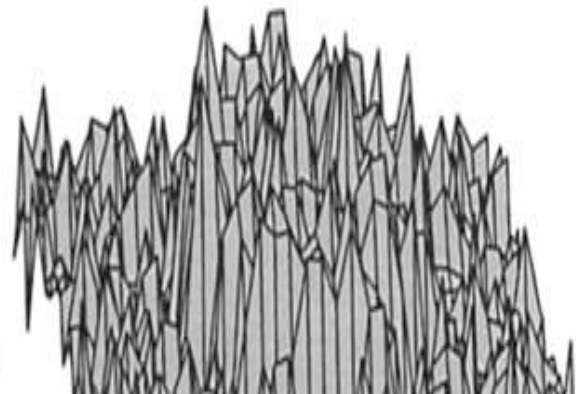
Dose de Radiação x Ruído



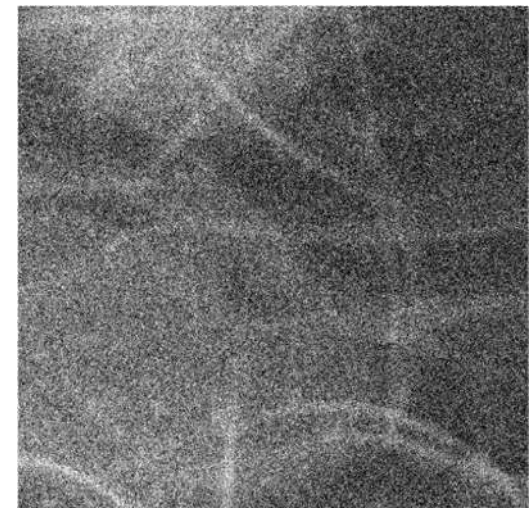
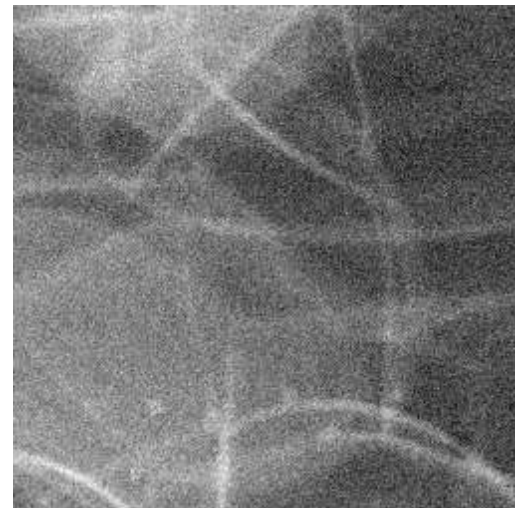
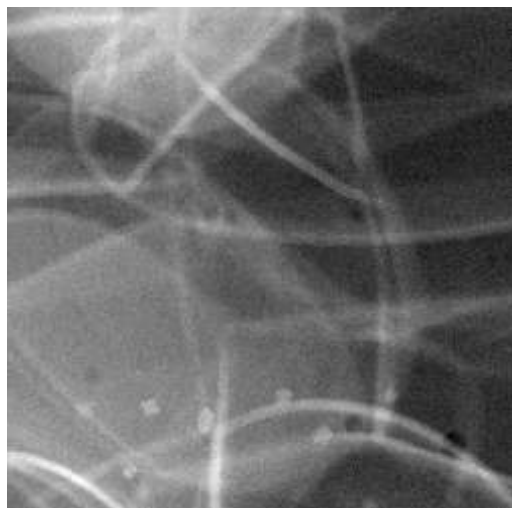
Dose Alta



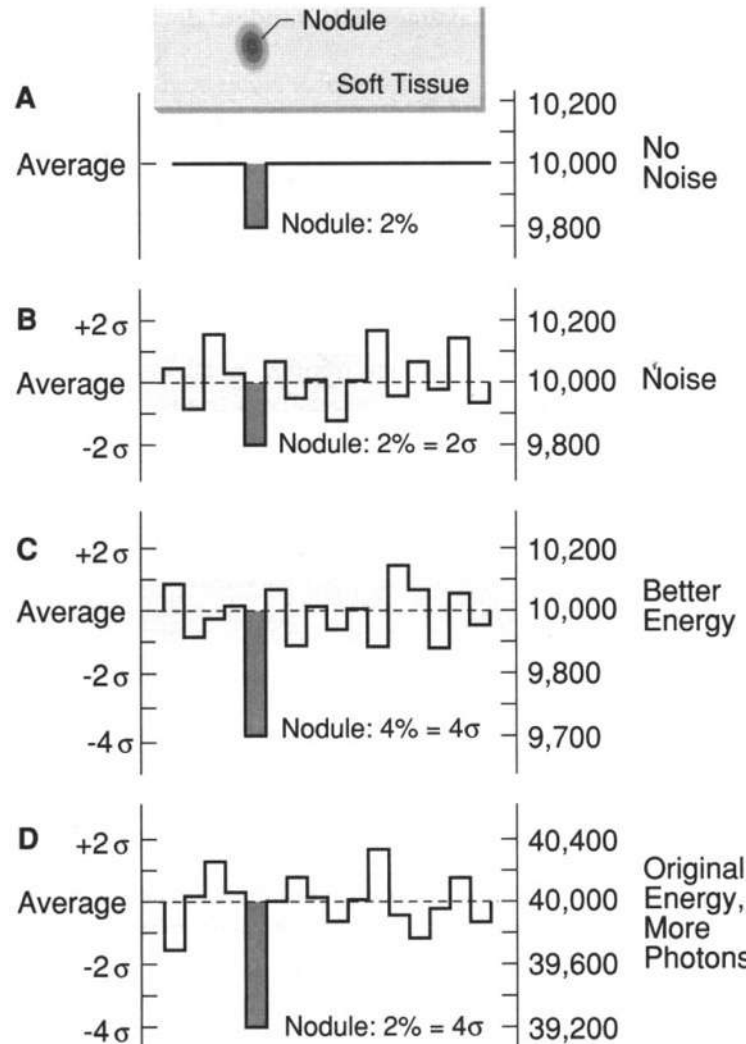
Dose Média



Dose Baixa



Detectabilidade de lesões



$$SNR = \frac{N}{\sqrt{N}} = \sqrt{N}$$

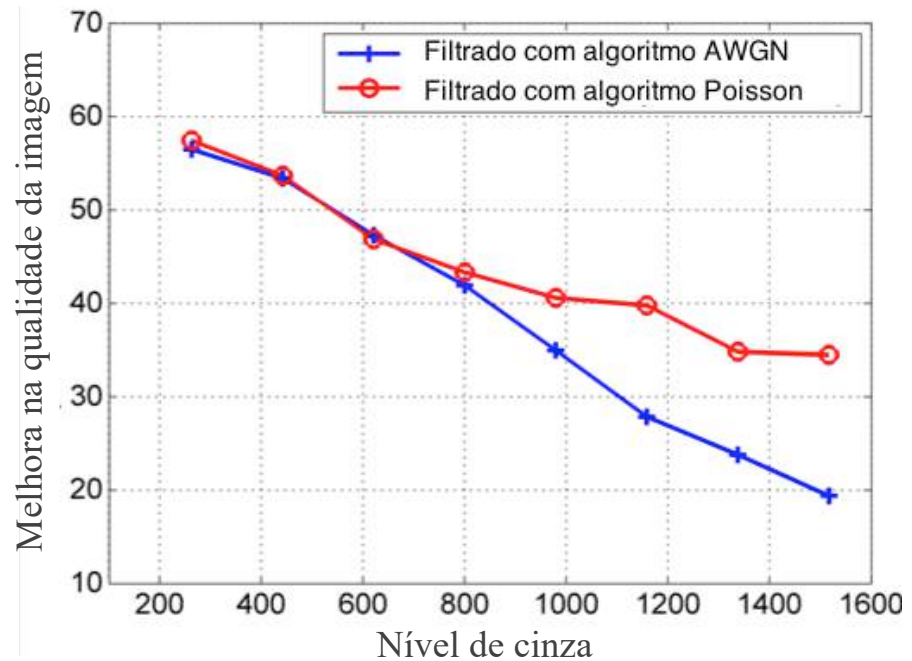
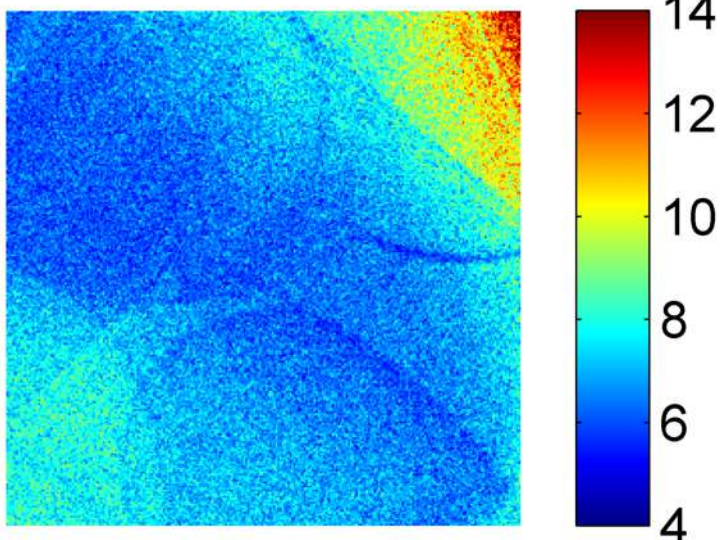
A dose de radiação influencia na detectabilidade de lesões

Filtragem do ruído quântico

Filtragem do ruído quântico

- Os métodos desenvolvidos para filtragem do ruído AWGN não devem ser aplicados diretamente para a filtragem do ruído quântico;
- Como a variância do ruído não é fixa para o ruído quântico, os filtros para ruído AWGN:
 - Borram excessivamente as regiões da imagem onde o ruído era mais baixo;
 - Não filtram corretamente as regiões onde o ruído era mais alto.

Filtragem do ruído quântico



Filtragem do ruído quântico

IEEE TRANSACTIONS ON PATTERN ANALYSIS AND MACHINE INTELLIGENCE, VOL. PAMI-7, NO. 2, MARCH 1985

165

Adaptive Noise Smoothing Filter for Images with

Proceedings of 2010 IEEE 17th International Conference on Image Processing

September 26-29, 2010, Hong Kong

D

POISSON NL M

Charles-Alban De

Institut Telecom
CNI
Paris



1010

Signal Processing 90 (2010) 415–427

Contents lists available at ScienceDirect

Signal Processing

journal homepage: www.elsevier.com/locate/sigpro



IEEE SIGNAL PROCESSING LETTERS, VOL. 20, NO. 11, NOVEMBER 2013

Fast inter

Florian Luis

^a Biomedical Imaging
^b Department of Elec

A

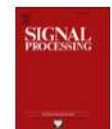


Signal Processing 144 (2018) 68–76

Contents lists available at ScienceDirect

Signal Processing

journal homepage: www.elsevier.com/locate/sigpro



Poisson Wiener filtering with non-local weighted parameter estimation using stochastic distances



André A. Bindilatti^{a,*}, Marcelo A.C. Vieira^b, Nelson D.A. Mascarenhas^{a,c}

^a Computing Department, Federal University of São Carlos, São Paulo, Brazil

^b Department of Electrical and Computing Engineering, University of São Paulo, São Carlos, São Paulo, Brazil

^c Faculdade Campo Largo Paulista, Campo Largo Paulista, São Paulo, Brazil

Estabilização de variância

- Transformada de Anscombe;
- Converte uma distribuição Poisson em uma distribuição aproximadamente Gaussiana, com média zero e variância unitária;
- Torna a variância do ruído constante independente do valor do pixel.



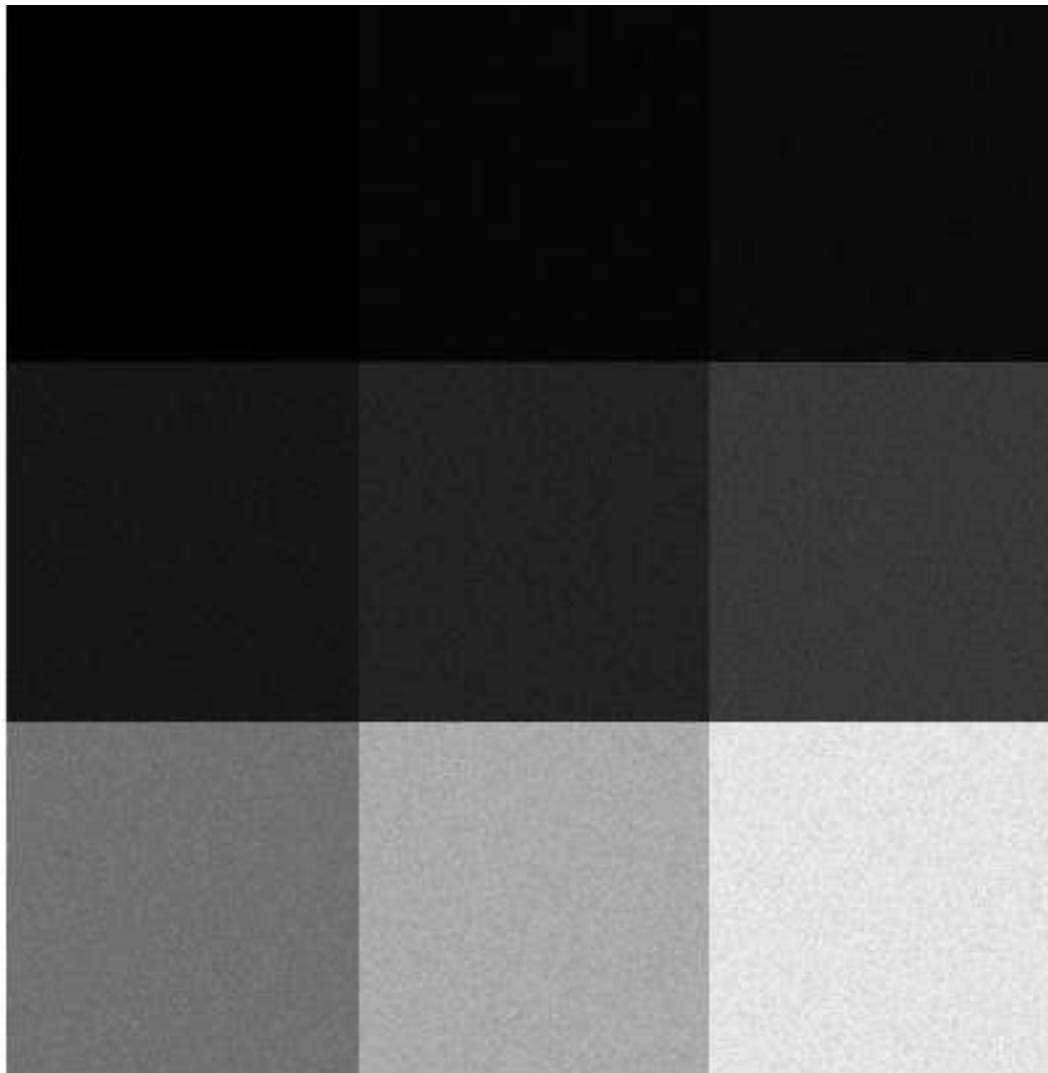
$$f(z) = 2\sqrt{z + \frac{3}{8}}$$

Dependência do sinal

Imagen sem ruído



Imagen com ruído Quântico



Ruído Quântico

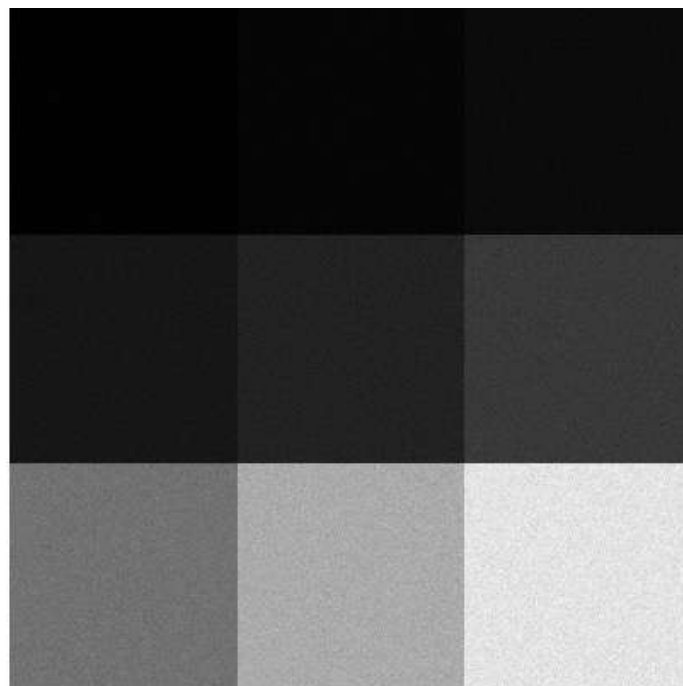


Imagen ruidosa

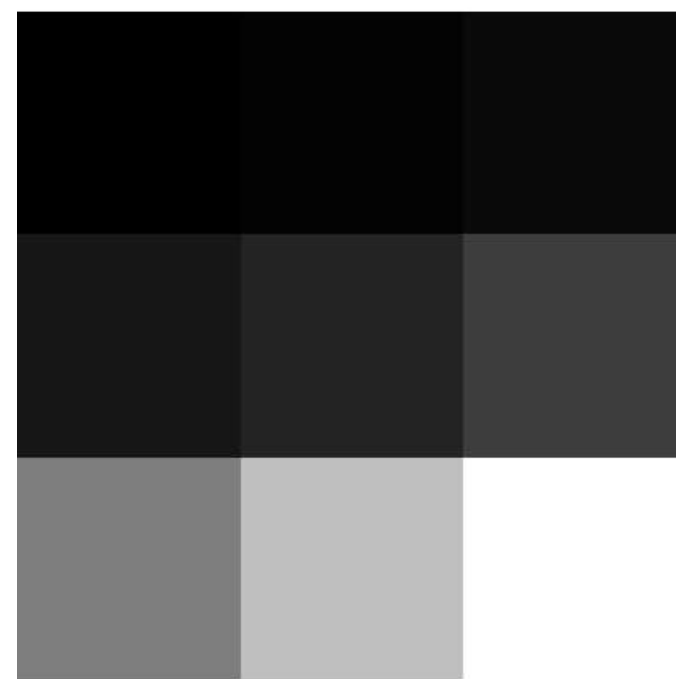
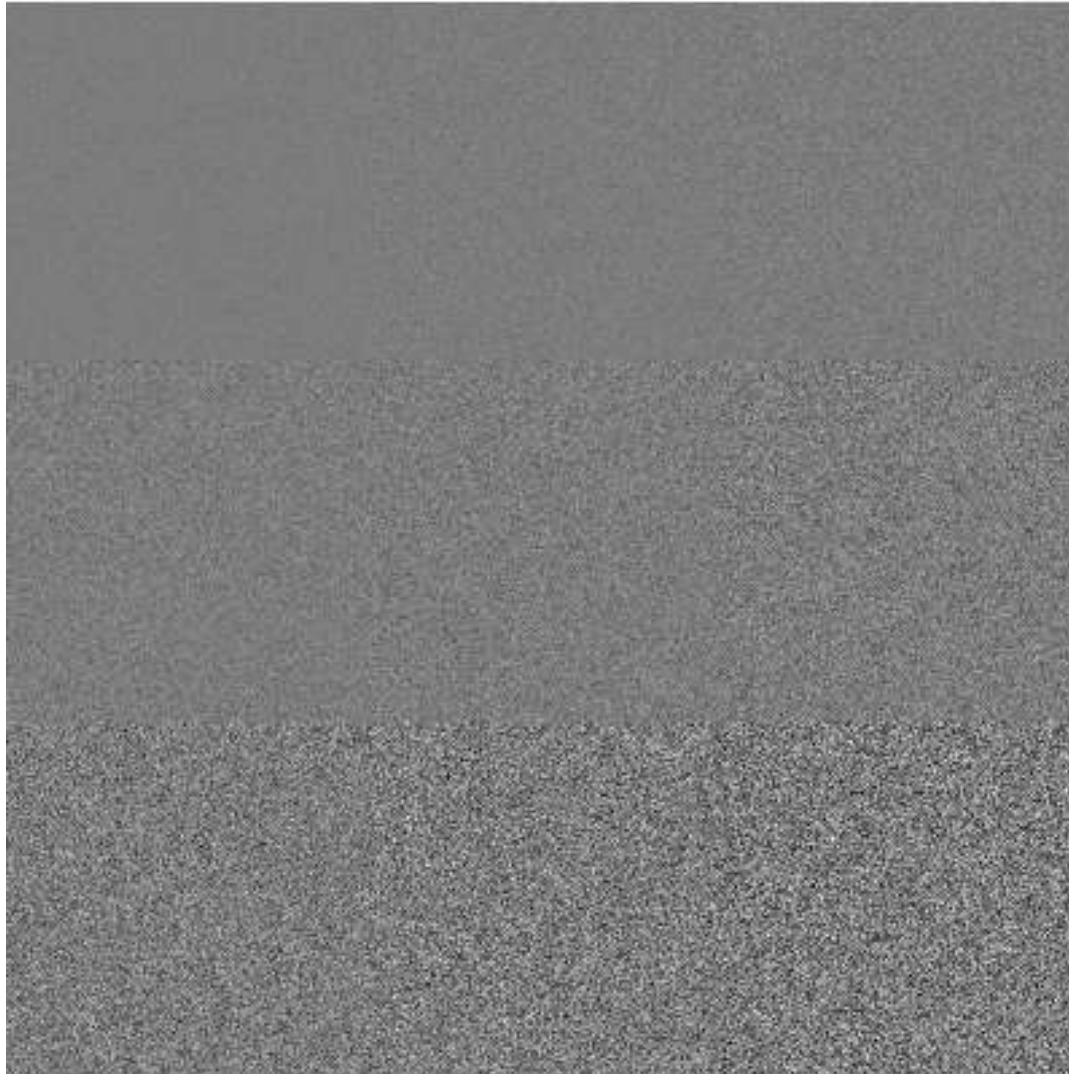


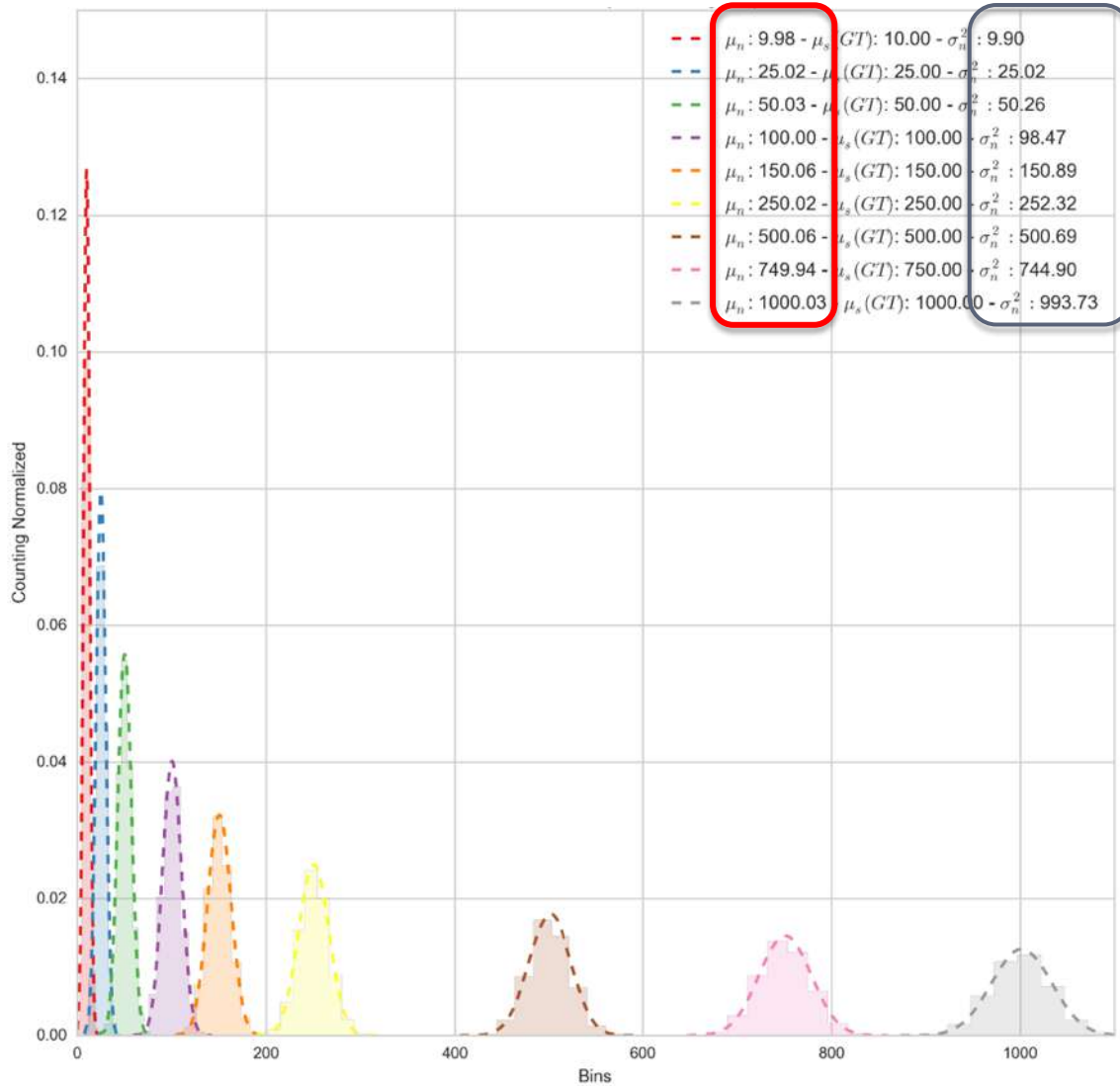
Imagen sem ruído



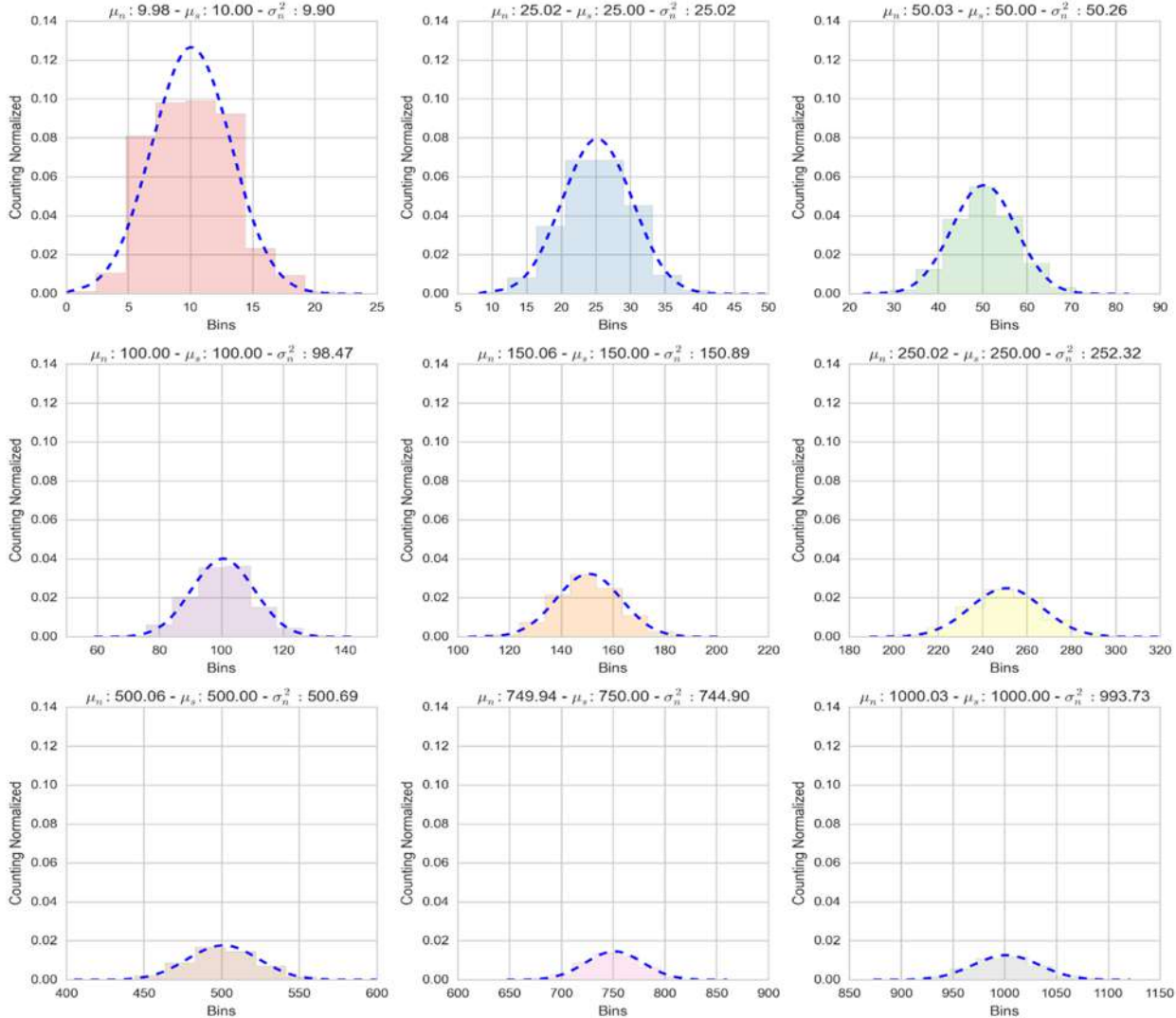
Ruído Quântico



Histogramma

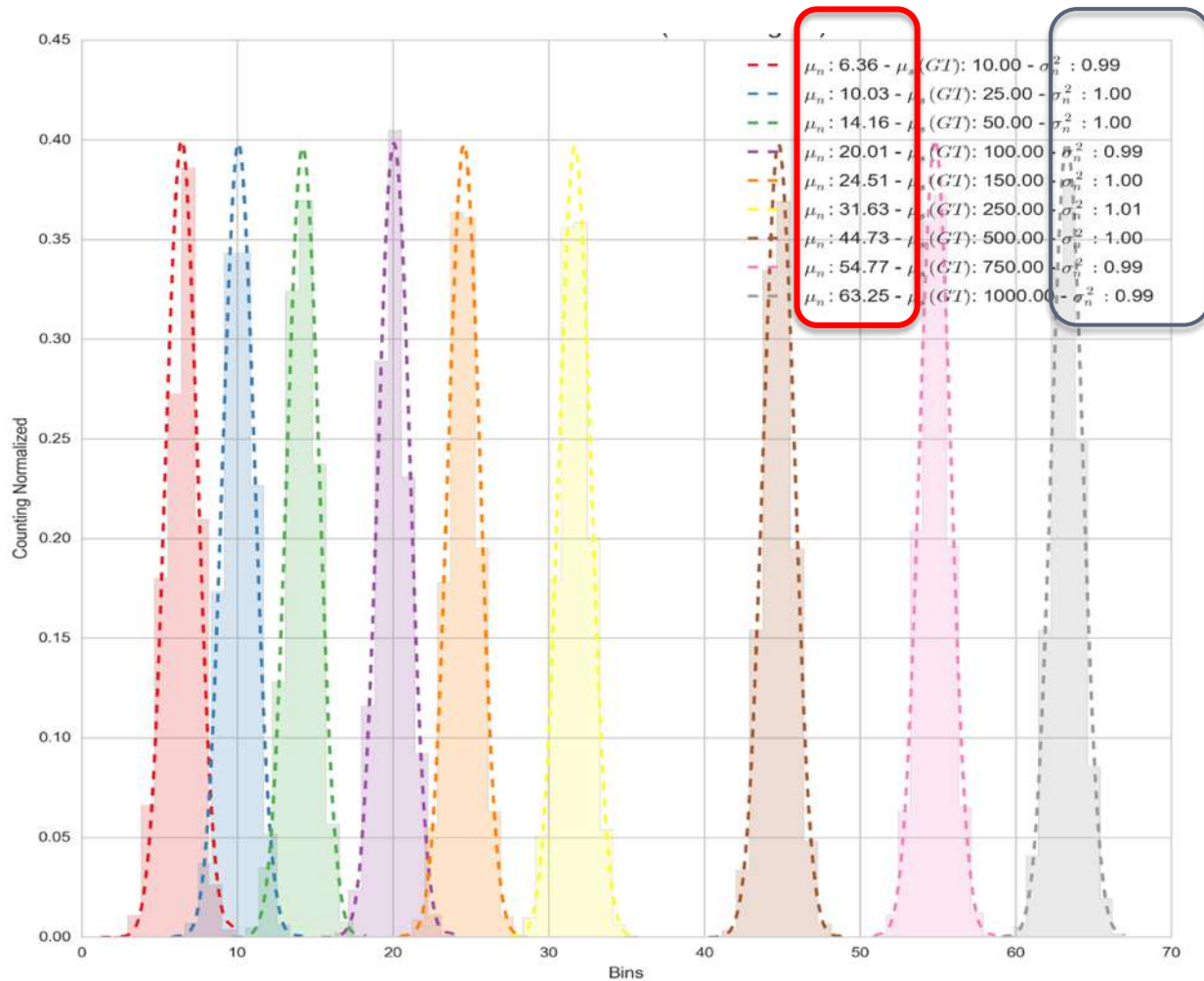


Histogramma

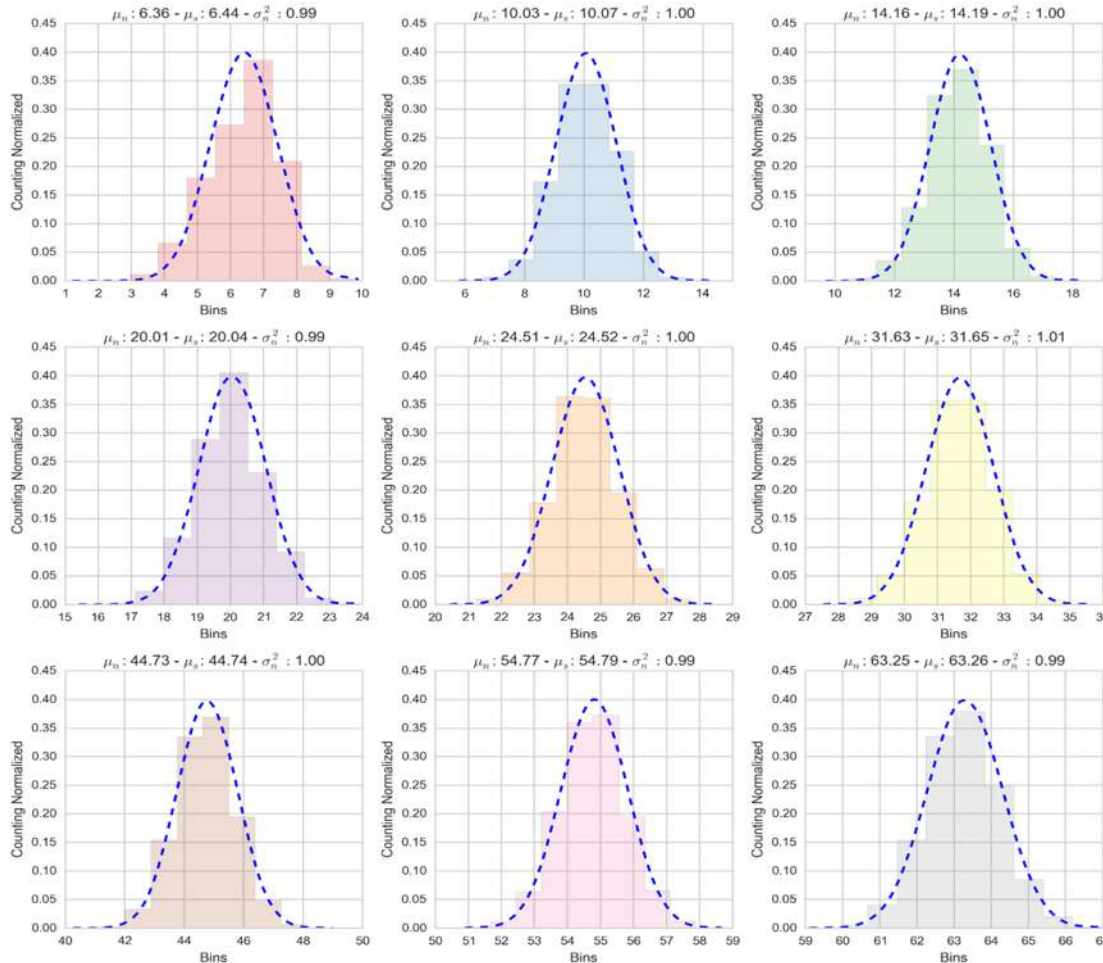


Após a Estabilização da Variância

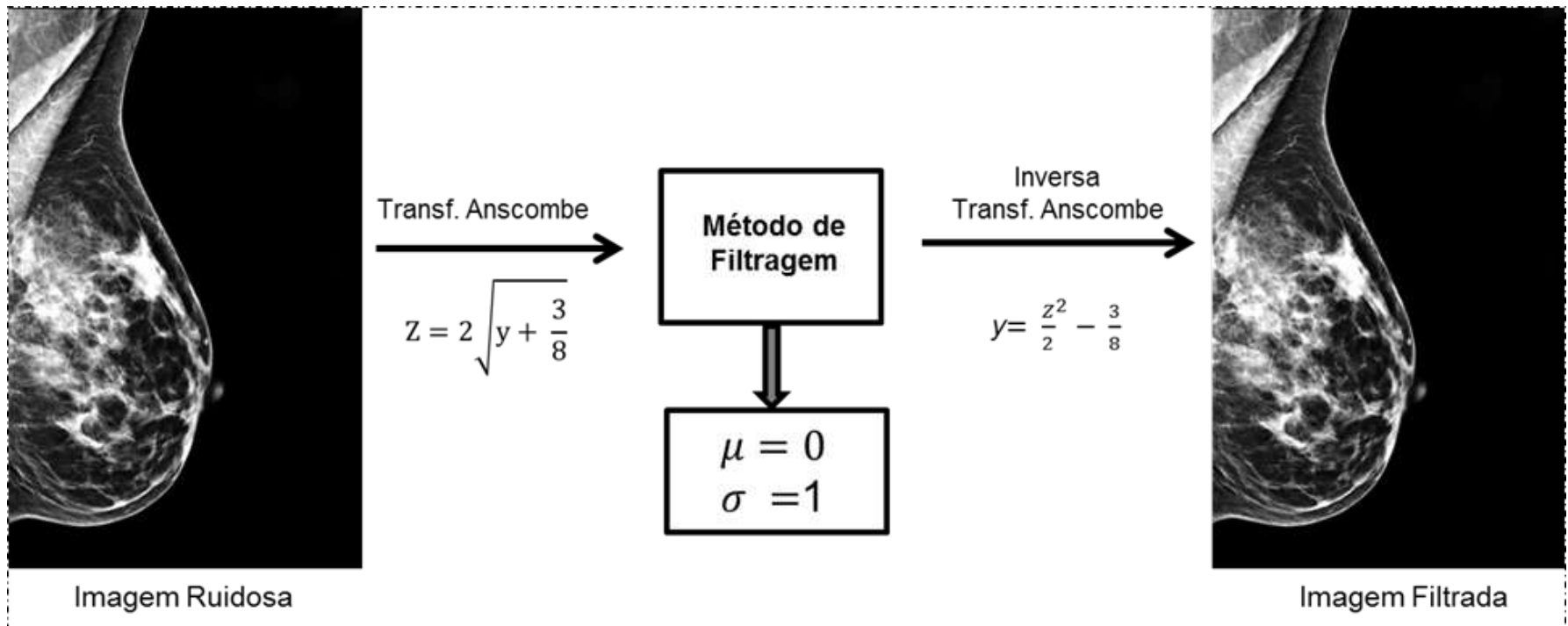
Histogramma



Histogramma



Transformada de Anscombe



É possível utilizar técnicas de filtragem de ruído AWGN para a filtragem do ruído quântico

Resumo da aula

- Restauração de imagens é um processo objetivo;
- O modelo de degradação utilizado é fundamental para o sucesso da restauração;
- Os parâmetros de degradação devem ser estimados:
 - Função de degradação e o ruído;
 - A restauração de imagens degradadas apenas pelo ruído não é uma tarefa trivial;
 - Em geral, os métodos de filtragem de ruído “borram” a imagem degradada, pois removem informações do sinal.

Resumo da aula

- Os métodos não-locais são mais eficientes pois preservam melhor os detalhes nas imagens;
- Imagens corrompidas pelo ruído quântico devem ser restauradas por métodos específicos:
 - O uso do modelo AWGN não é adequado;
 - O uso da transformada de Anscombe é uma alternativa eficaz e de baixo custo computacional para filtragem do ruído quântico.

FIM